

大間原子力発電所審査資料	
資料番号	0M1-CA124-R01
提出年月日	2020年9月14日

大間原子力発電所
敷地周辺及び敷地近傍の地質・地質構造
(コメント回答 その 10)
(敷地極近傍の断層の評価について)
(補足説明資料)

2020年9月

電源開発株式会社

本資料のうち□で示す箇所は、商業機密あるいは防護上の観点から公開不可としているもので、白抜きとしてあります。

大間原子力発電所

敷地周辺及び敷地近傍の地質・地質構造 (コメント回答 その10)

(敷地極近傍の断層の評価について) (補足説明資料)

2020年9月14日
電源開発株式会社

本資料のうち□で示す箇所は、商業機密あるいは防護上の観点から公開不可としているもので、白抜きとしてあります。

- 「第615回審査会合」及び「第646回審査会合」での誤記に関する対応を踏まえ、本資料にて過去の審査会合資料を引用する際の注記を下記のとおりとする。

- ・右上の注記

- 再掲：過去の審査会合資料を、そのまま引用する場合

- 一部修正：過去の審査会合資料の内容を、一部修正する場合

- 誤りを修正：過去の審査会合資料の誤りを、正しい記載とする場合

- ・左下の注記

- 修正した誤りの内容を記載（誤りの修正がある場合）

指摘事項等



下表の指摘事項に対する回答として、敷地周辺及び敷地近傍の地質・地質構造について説明する。

○ 本資料で回答する指摘事項：主に敷地極近傍の断層の評価に関する審査会合における指摘事項

No.	項目	指摘時期	コメント内容	掲載箇所	
				本編資料	補足説明資料
S1-78	sF断層系	第856回審査会合 2020年4月16日	フィリップサイトは生成温度が低温であること、K-Ar法年代測定を適用した地質学的事例が無いと思われること等から、生成年代の評価に疑問が残る。 このため、sF-1断層が震源として考慮する活断層であるか否かの評価については、地下深部への連続性の有無の検討が最重要で、次に多重逆解法を用いた応力場の検討で、鉱物脈法による検討については参考扱いと考えており、総合的な観点からの評価が必要であると考えている。このような審査の位置付けも含めて、整理のうえ説明すること。	2-2, 2-9, 2-61, 2-79	—
S1-79	sF断層系	第856回審査会合 2020年4月16日	sF-1断層の地下深部への連続性の有無の検討について、以下を考慮のうえ説明性を向上し、改めて説明すること。 ・地下深部への連続性の有無の判断根拠として用いた鍵層AT-22について、確認深度、層厚、性状等の同定根拠を整理し説明するとともに、検討に用いたボーリング柱状図、ボーリングコア写真等のエビデンスを追加すること。 ・断層の長さと変位量の関係を示す文献を追加し反映すること。 ・本検討結果については、本編資料とすること。	2-30～ 2-50	2-41～ 2-69
S1-80	sF断層系	第856回審査会合 2020年4月16日	多重逆解法を用いた断層形成に関わる応力場の検討について、以下を考慮のうえ改めて説明すること。 ・審査資料に反映されていないボーリングデータ等を追加のうえ再解析すること。 ・解析に用いたボーリング孔名、確認深度等の情報を整理しリスト化し提示すること。 ・本検討結果については、本編資料とすること。	2-51～ 2-60	2-71～ 2-85

目 次



【地質・地質構造】

- 1.1 大畠層の特徴及び年代について 2-1

【sF-1断層】

〔分布・性状〕

- 1.2 sF-1断層の性状 2-8
 1.3 重力探査 2-37

〔地下深部への連続性の検討〕

- 1.4 大間層中の鍵層の認定の考え方 2-41
 1.5 大間層中の鍵層の性状 2-48
 1.6 大間層中の玄武岩の分布・性状 2-68
 1.7 反射法地震探査統合解析の解析精度 2-70

〔多重逆解法を用いた応力場による検討〕

- 1.8 sF-1断層に関わる条線画像 2-71
 1.9 応力場に基づく形成史検討 2-86

〔参考〕

【鉱物脈法による活動性評価】

- 2.1 鉱物脈法による活動性評価 参考2-1
 ① 鉱物脈法の適用性の検討 参考2-3
 ② フィリップサイト脈による活動性評価 参考2-29
 ③まとめ 参考2-85

【鉱物脈法に関する参考データ】

- 2.2 EPMA分析による曹長石化の検討 参考2-87
 2.3 大間周辺の隆起傾向 参考2-91
 2.4 フィリップサイトの年代測定 参考2-92
 2.5 X線分析の方法及び文献に基づく主要鉱物の特徴 参考2-100
 2.6 フィリップサイト脈と断層の最新面との関係による評価(薄片C) 参考2-103

3. 参考文献 3-1

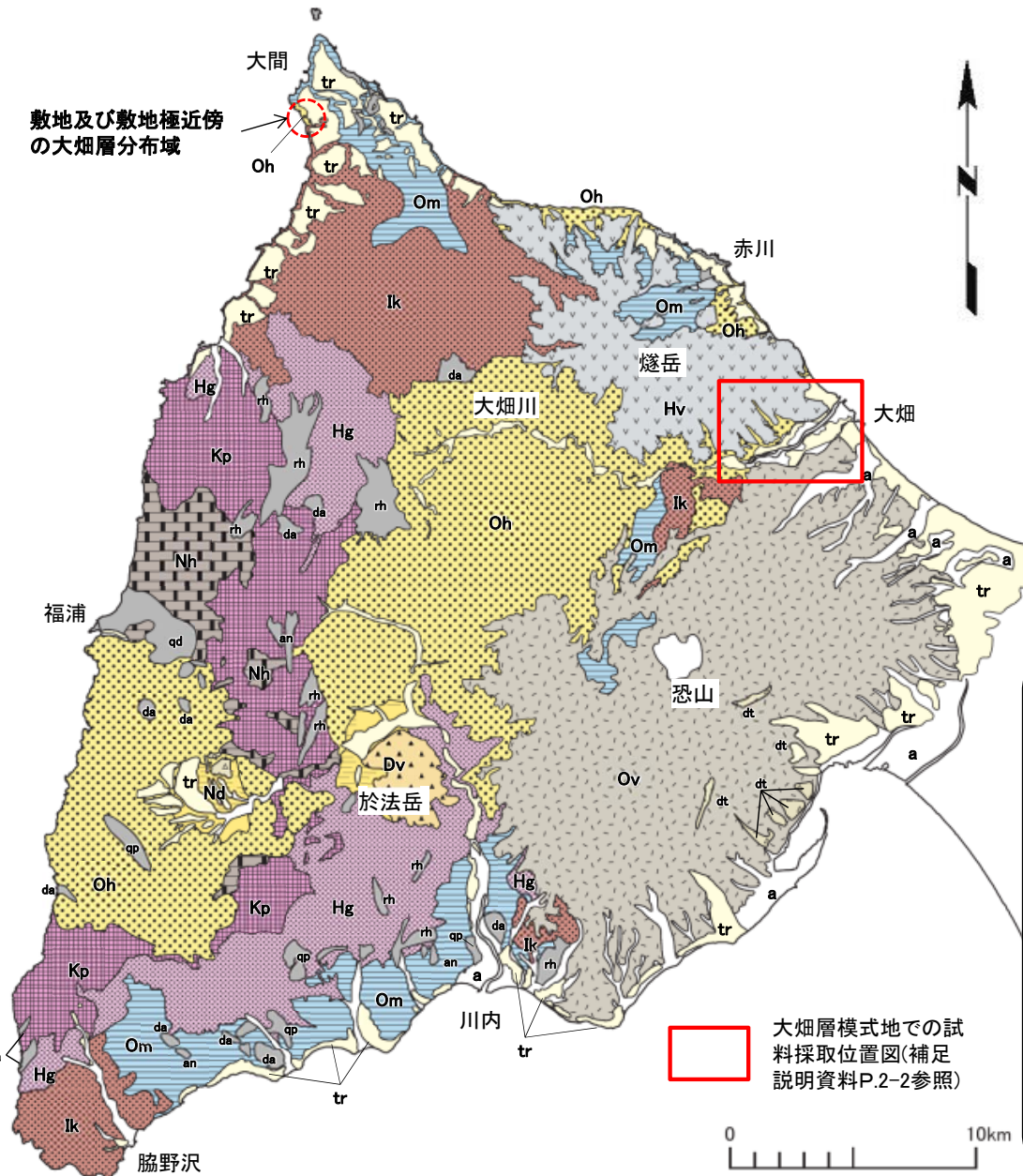
(余白)

1.1 大畠層の特徴及び年代について(1/6)

第856回審査会合
資料1-2 P.2-1 再掲



下北半島西部の大畠層の分布



地質凡例		
地質時代	地層名	記号
完新世	崖錐堆積物	△ dt△
	沖積層	a
第四紀	段丘堆積物	tr
更新世	燧岳火山噴出物	▽ Hv ▽
	恐山火山噴出物	○ Ov ○
	於法岳火山噴出物	▲ Dv ▲
更新世・鮮新世	野平層	≡ Np ≡
新第三紀	大畠層	● Oh ●
中新世	易国間層	■ IJ ■
	大間層	□ Om □
	桧川層	■ Hc ■
	金八沢層	■ Kd ■
先新第三紀	長浜層	≡ Nh ≡

- 下北半島西部の大畠層は中央部及び南西部の広い範囲と赤川から北西-南東の海岸沿いの狭い範囲に分布し、主としてデイサイト質火山碎屑岩から成る(上村・斎藤(1957)¹⁾)。
- これらのデイサイト質火山碎屑岩は大畠川沿い小目名地区に見られるように高温型石英を多く含むことを特徴とする。
- これらの大畠層の年代測定結果は、主に鮮新世の年代を示し、文献の年代値と調和的である(補足説明資料P.2-5参照)。
- 以上の分布域とは別に敷地北側にも高温型石英を特徴とするデイサイト質の凝灰質礫岩、火山碎屑岩及び溶岩の小規模な分布が認められる。これらは上記大畠層と岩相が類似すること、年代測定で約2.7Ma～約3.8Maが得られていることから、大畠層に対比されるが、上記の大畠層とは独立した分布を示す。

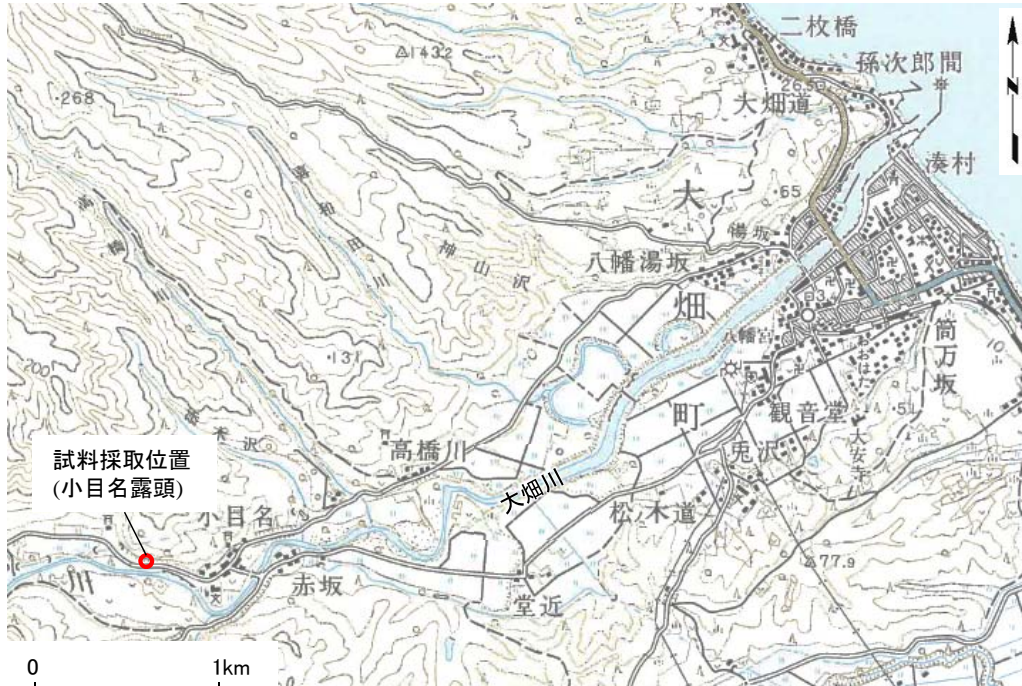
下北半島西部の地質図

1.1 大畠層の特徴及び年代について(2/6)

第856回審査会合
資料1-2 P.2-2 再掲



小目名露頭(模式地)の大畠層の試料採取



試料採取位置図

- 上村・斎藤(1957)¹⁾によれば大畠層の一部層「小目名石英安山岩」は大畠川沿いの小目名地区周辺に分布し、溶岩及び溶結凝灰岩様の岩石から成る。
- 試料採取位置の露頭はディサイト質溶結凝灰岩から成り、肉眼で ϕ 数mmの石英粒子が多く認められる。



写真1 試料採取位置全景(赤丸:写真2)



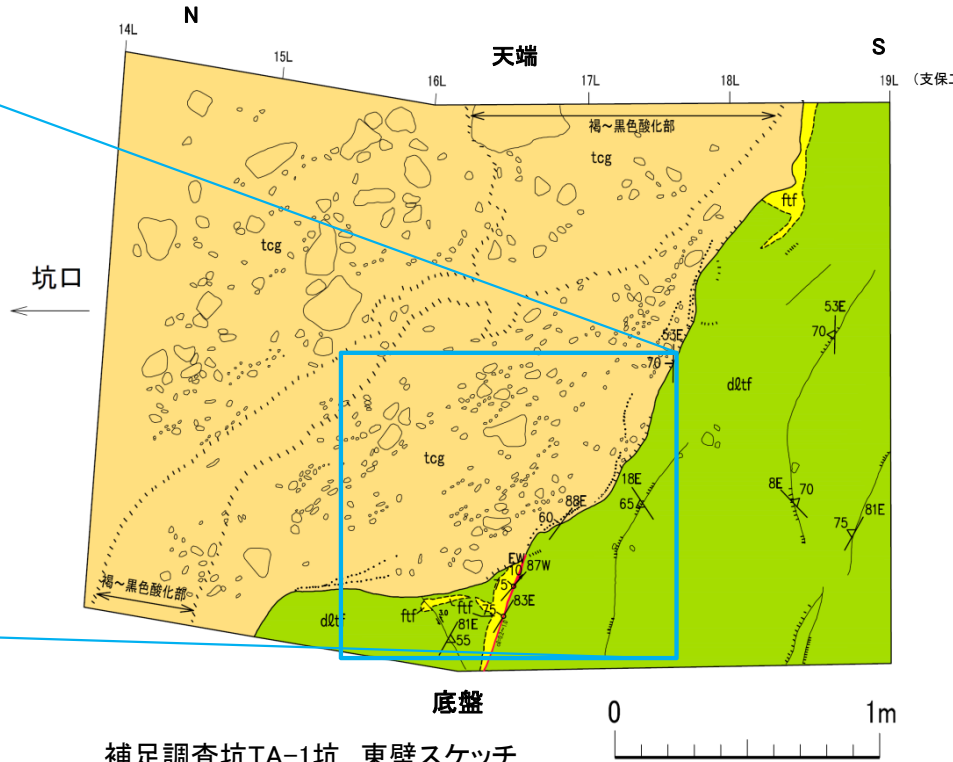
写真2 試料採取位置接写

1.1 大畳層の特徴及び年代について(3/6)

敷地の大畳層の試料採取



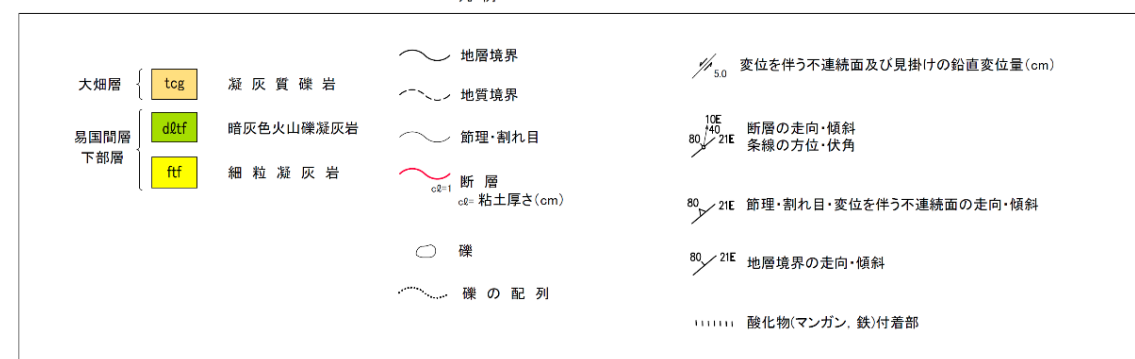
写真1 試料採取位置



地質観察範囲位置図



写真2 試料採取位置(赤丸内で採取)



- 敷地の大畠層は主に敷地北側に分布し、補足調査坑TA-1坑では高温型石英を特徴的に含み淘汰不良の円礫～亜角礫を主体とする凝灰質礫岩から成る。この凝灰質礫岩は岩相からデイサイト質火山碎屑物の二次的堆積と推定される。
- 本補足調査坑内で上記大畠層の試料採取を行った。

1.1 大畠層の特徴及び年代について(4/6)

敷地の大畠層と模式地の大畠層の観察結果

[敷地内補足調査坑 TA-1坑]



写真1-1 補足調査坑TA-1坑試料



凡例
Qz:石英

写真1-2 同左実体鏡写真
石英粒子が多く認められる。

0 2mm



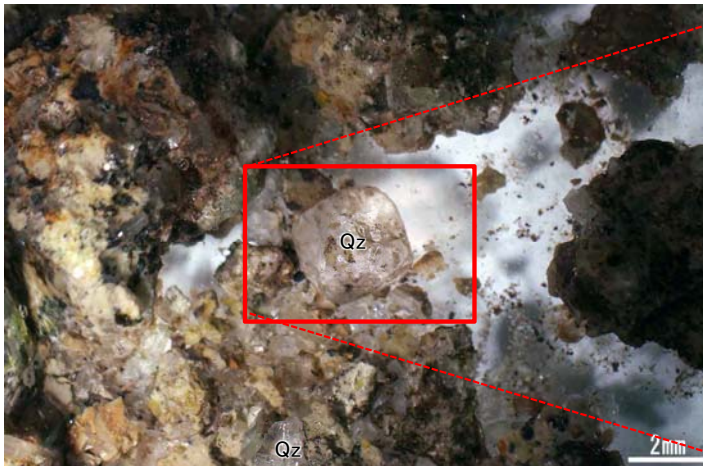
写真1-3 同左実体鏡拡大写真
粒径2mm程度の大きな石英粒子(いわゆる算盤玉状の結晶形を呈する)が認められる。

0 1mm

[大畠川小目名露頭]



写真2-1 小目名露頭試料



凡例
Qz:石英

写真2-2 同左実体鏡写真

比較的大きな粒径の石英粒子が認められる。



写真2-3 同左実体鏡拡大写真

敷地内試料と同様、粒径3mm程度の大きな石英粒子(いわゆる算盤玉状の結晶形を呈する)が認められる。

0 1mm

敷地及び小目名露頭の大畠層試料の実体鏡観察によれば、両者には特徴的な結晶形を呈する石英粒子が明瞭に認められ、類似の岩相であることが分かる。

1.1 大畠層の特徴及び年代について(5/6)

第856回審査会合
資料1-2 P.2-5 再掲



敷地周辺及び敷地の大畠層の年代測定結果

敷地における年代測定データ

No.	岩種名【孔名、深度等】	ジルコンFT年代	ジルコンU-Pb年代
1	凝灰質礫岩【Tf-6掘削面】	2.7±0.4Ma	3.00±0.14Ma
2	凝灰質礫岩【IT-22孔16.55m】	2.93±0.61Ma	3.00±0.10Ma
3	デイサイト溶岩【IT-24孔48.1-48.2m】	3.60±0.23Ma	3.56±0.06Ma
4	デイサイト溶岩【R-109孔51.0-51.5m】	3.8±0.6Ma	—
5	軽石凝灰岩【S-102孔47.4-48.6m】	3.8±0.3Ma	—

敷地極近傍における年代測定データ

No.	岩種名【地点名】	ジルコンFT年代	ジルコンU-Pb年代
6	軽石凝灰岩【H-4地点】	3.1±0.4Ma	—

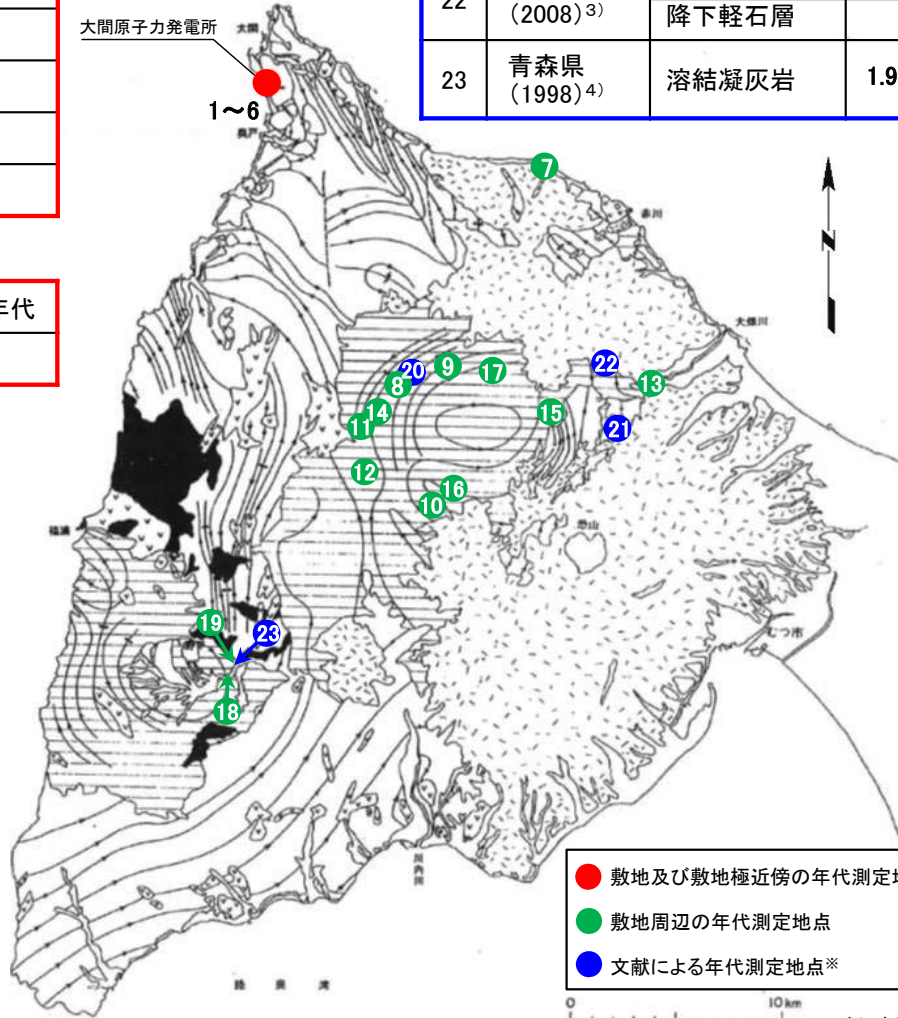
敷地周辺における年代測定データ

No.	岩種名	K-Ar年代	ジルコンFT年代
7	軽石層	—	1.8±0.2Ma
8	安山岩溶岩	1.89±0.22Ma	—
9	安山岩溶岩	2.18±0.11Ma	—
10	溶結凝灰岩	—	2.4±0.4Ma
11	軽石質凝灰岩	—	3.0±0.9Ma
12	安山岩フィーダー岩脈	3.15±0.21Ma	—
13	溶結凝灰岩	—	3.2±0.4Ma
14	軽石質火山礫凝灰岩	—	3.4±0.7Ma
15	デイサイト礫	—	3.6±0.3Ma
16	細粒白色凝灰岩	—	3.8±0.5Ma
17	軽石質火山礫凝灰岩	—	4.8±0.9Ma
18	溶結凝灰岩	—	2.9±0.5Ma
19	溶結凝灰岩	—	3.6±0.3Ma

敷地周辺の文献による年代測定データ

No.	出典	岩種名	K-Ar年代	ジルコンFT年代
20	戸田ほか (2011) ²⁾	軽石凝灰岩	2.59±0.43Ma	—
21			2.80±0.17Ma	—
22	梅田・檀原 (2008) ³⁾	火碎流堆積物	—	3.0±0.3Ma
		降下軽石層	—	2.6±0.2Ma
23	青森県 (1998) ⁴⁾	溶結凝灰岩	1.93±0.31Ma	—

凡例



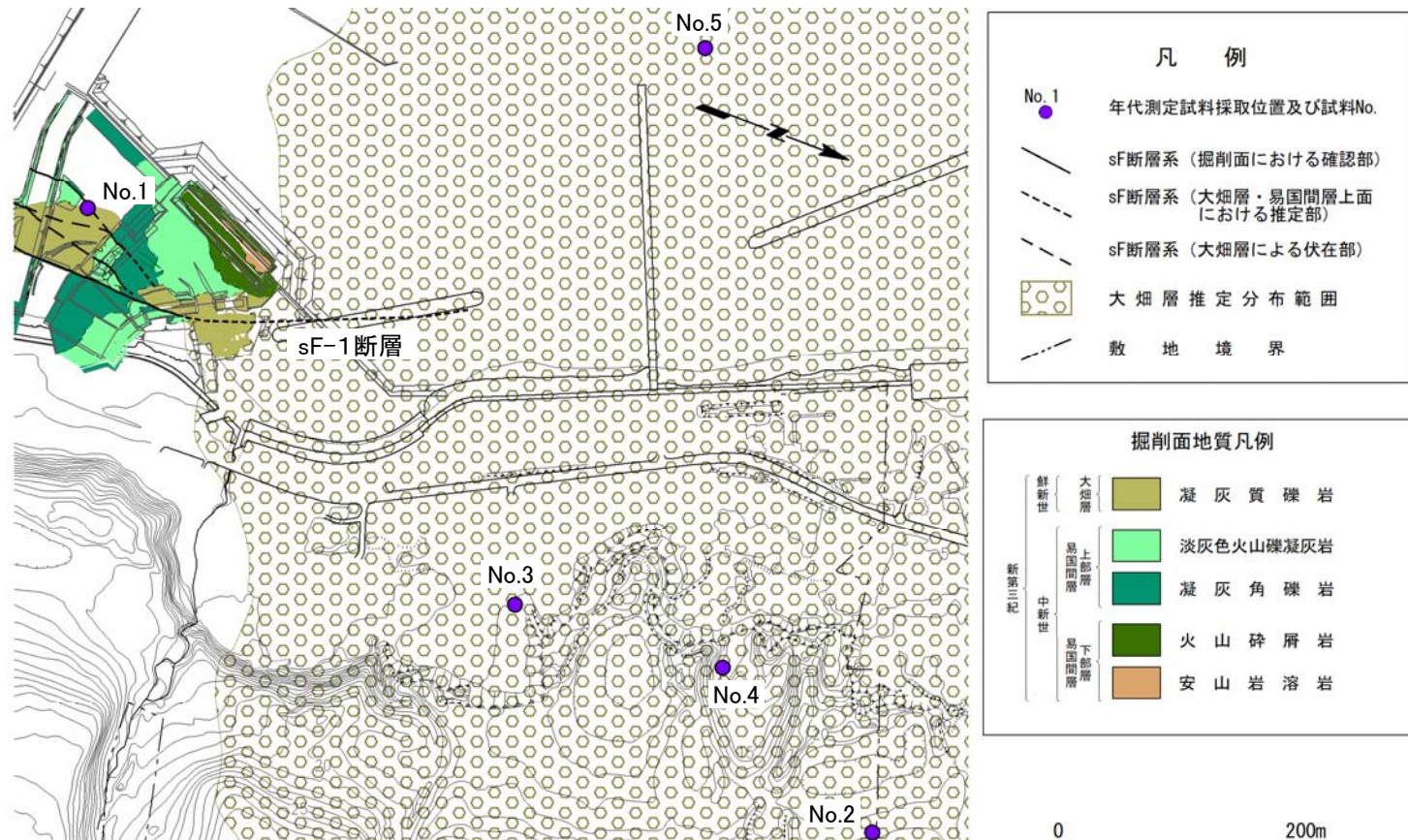
※: No.20,21,23の測定地点は、文献の文章記載に基づく推定位置。

注) 本図で示す敷地周辺陸域の地質構造は、第316回審査会合(H28.1.8)時点のものである。

敷地及び敷地極近傍での大畠層の年代(約2.7Ma～約3.8Ma)は、敷地周辺の大畠層の年代におおむね一致する。

1.1 大畑層の特徴及び年代について(6/6)

敷地の大畑層の年代測定結果



敷地の大畑層の年代測定試料採取位置

敷地の大畑層の年代測定結果

No.	岩種名【孔名、深度等】	ジルコンFT年代	ジルコンU-Pb年代
1	凝灰質礫岩【Tf-6掘削面】	2.7±0.4Ma	3.00±0.14Ma
2	凝灰質礫岩【IT-22孔16.55m】	2.93±0.61Ma	3.00±0.10Ma
3	デイサイト溶岩【IT-24孔48.1-48.2m】	3.60±0.23Ma	3.56±0.06Ma
4	デイサイト溶岩【R-109孔51.0-51.5m】	3.8±0.6Ma	-
5	軽石凝灰岩【S-102孔47.4-48.6m】	3.8±0.3Ma	-

- 敷地の大畑層の年代測定を敷地の5地点の試料で実施した。
- 年代測定結果は、火山噴出物であるデイサイト溶岩及び軽石凝灰岩では約3.6Ma～約3.8Ma、凝灰質礫岩では約2.7Ma～約3.0Maとなり、敷地の大畑層が鮮新世の地層であることが確認された。



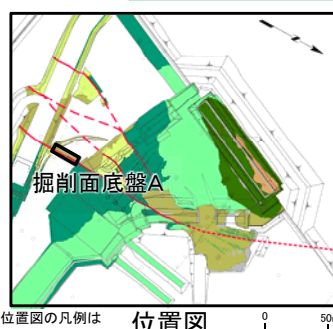
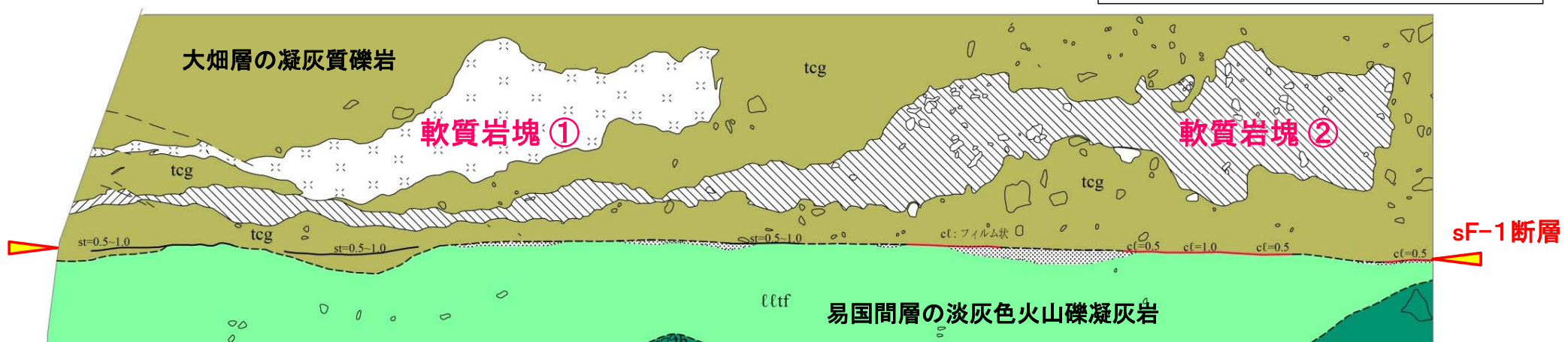
(余白)

1.2 sF-1断層の性状(1/26)

第856回審査会合
資料1-2 P.2-16 一部修正



sF-1断層の掘削面での性状(1/14):掘削面底盤A(1/4)



凡 例	
新第三紀	大畠層 [teg] 凝灰質礫岩
中 新世	地質境界
上部層 [ltf] 淡灰色火山礫凝灰岩	固結部
易国間層 [tb] 凝灰角礫岩	大畠層中の密着した不連続面
	粘土質物質を伴う不連続面 (sF-1断層)
	シルト質物質を伴う不連続面 (sF-1断層)
	径50mm以上の礫
	粘土質物質の幅(cm)
	シルト質物質の幅(cm)

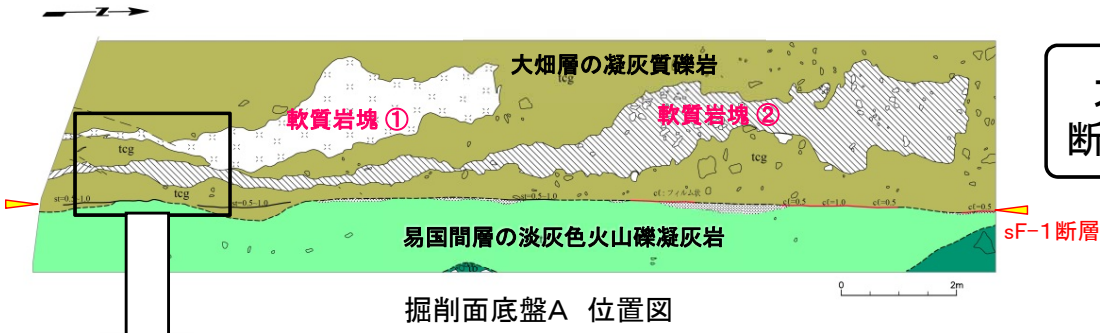
- 掘削面底盤Aでは、sF-1断層は大畠層と易国間層の境界を成し、ほぼ直線的に分布する。
- 大畠層中には変形した軟質岩塊が分布する。

1.2 sF-1断層の性状(2/26)

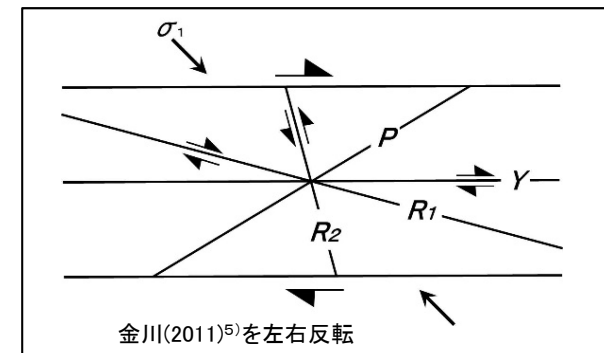
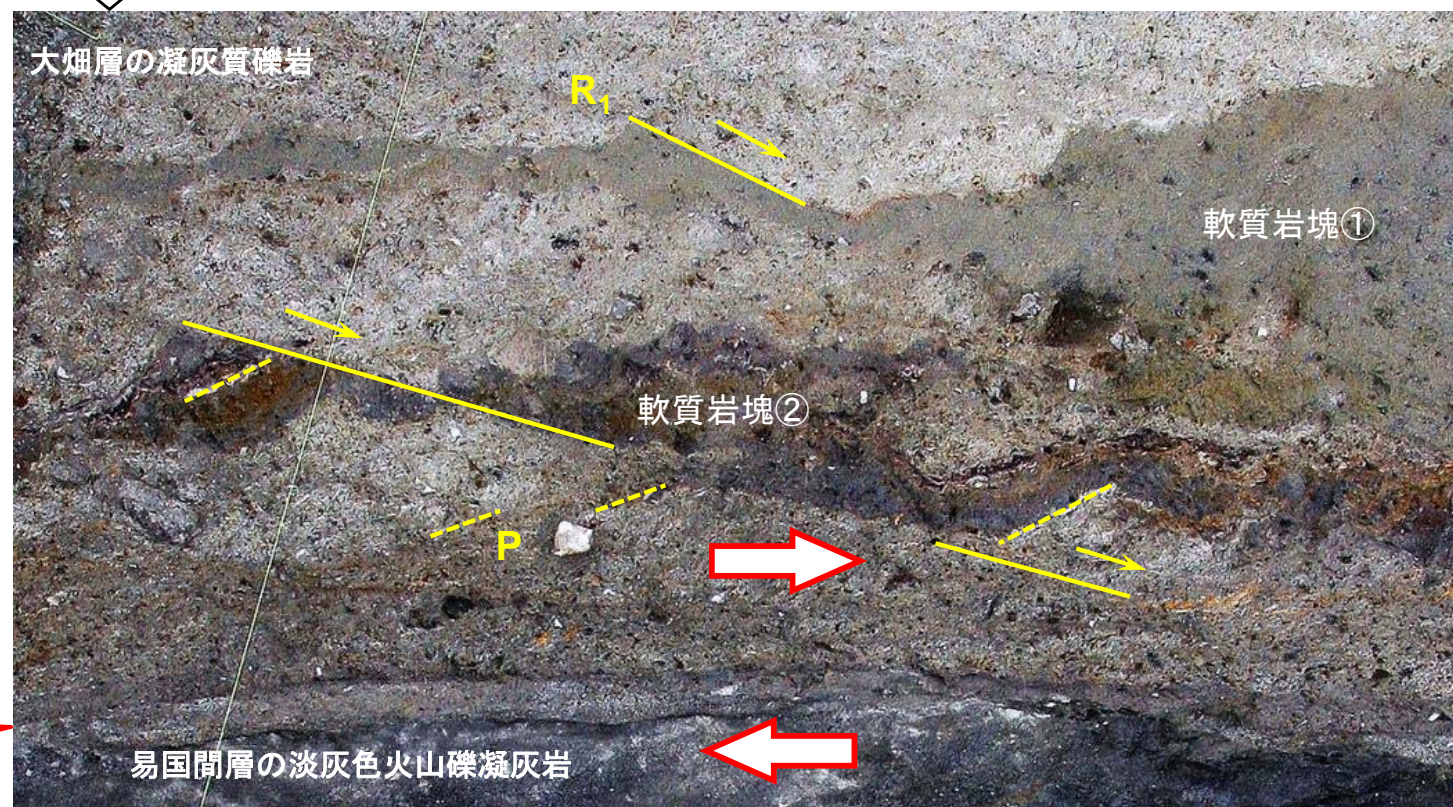
第856回審査会合
資料1-2 P.2-17 一部修正



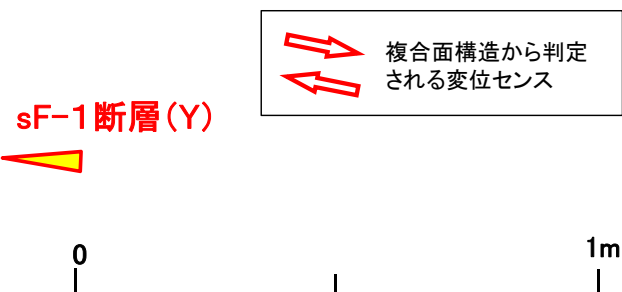
sF-1断層の掘削面での性状(2/14)：掘削面底盤A(2/4)(解釈線有り)



大畠層中の変形した軟質岩塊の伸長方向(P面)とこれを切断するR₁面による複合面構造は右横ずれセンスを示す。



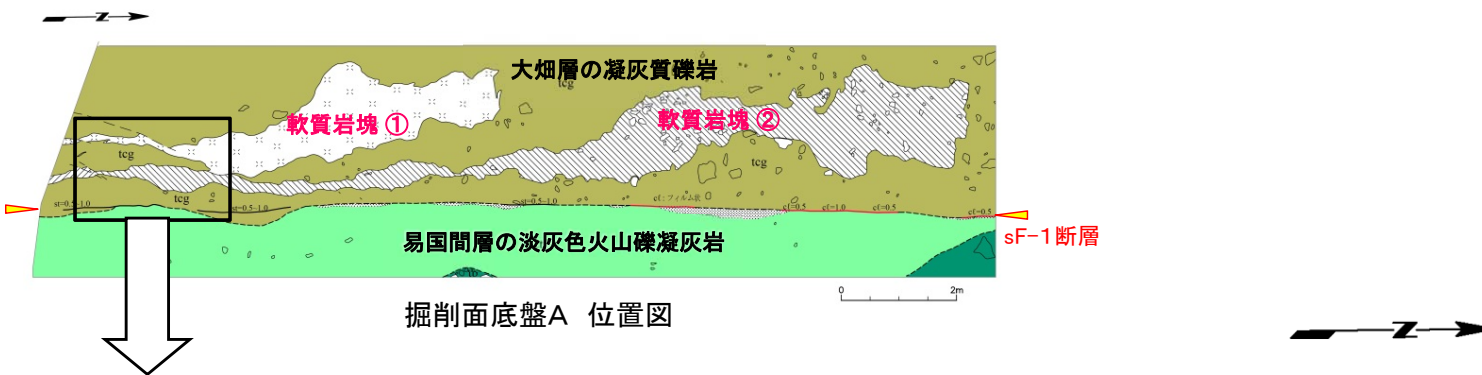
Y : 断層の主せん断面
P : 変形岩塊と凝灰質礫岩基質中の軽石の伸長方向
R₁ : Yに対してPとは反対方向に斜交し、Pを切断する面。矢印は変位方向。



1.2 sF-1断層の性状(3/26)

第856回審査会合
資料1-2 P.2-18 一部修正

sF-1断層の掘削面での性状(3/14)：掘削面底盤A(3/4)(解釈線なし)



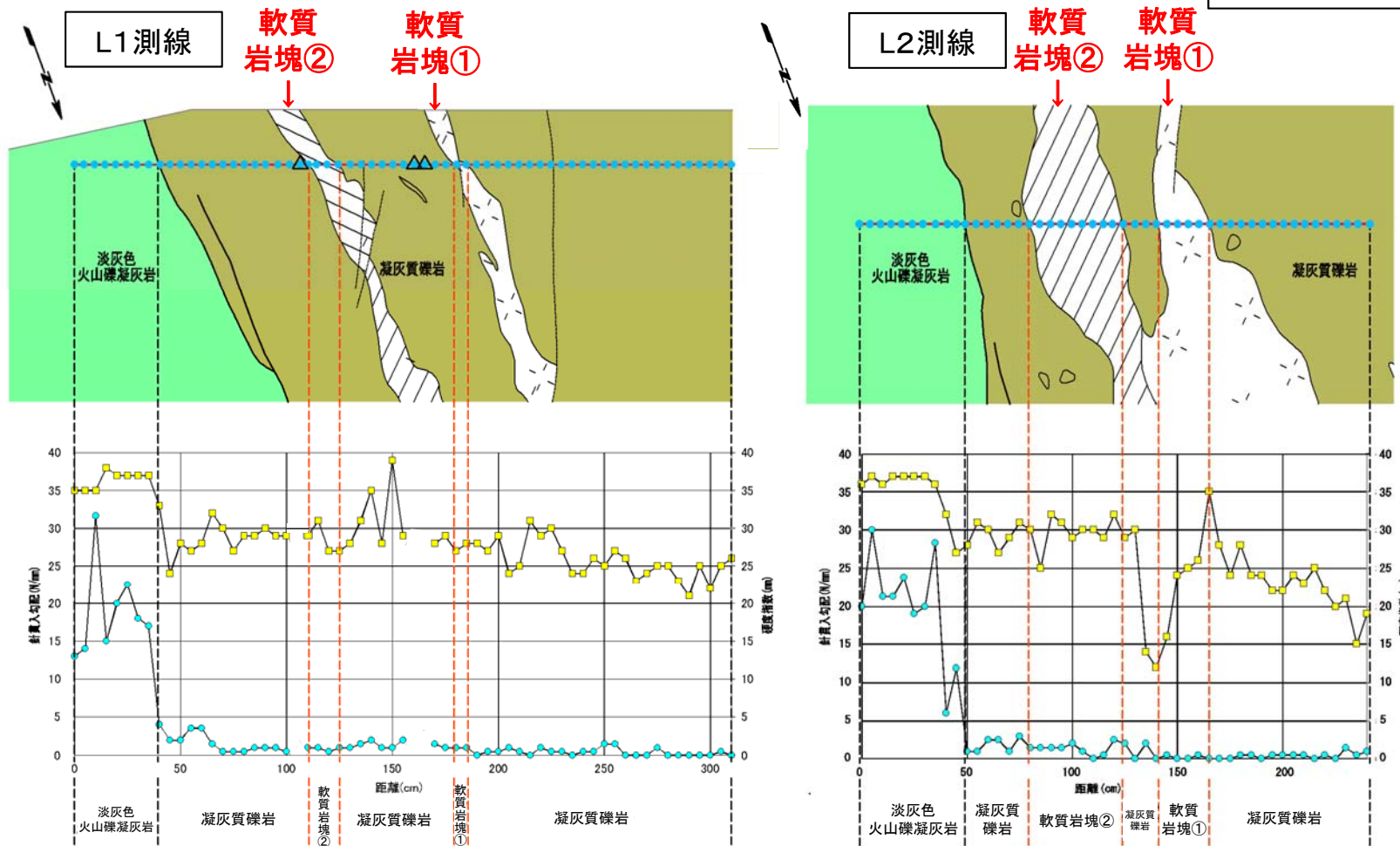
1.2 sF-1断層の性状(4/26)

第856回審査会合
資料1-2 P.2-19 再掲



sF-1断層の掘削面での性状(4/14)：掘削面底盤A(4/4)

軟質岩塊の硬さ(土壤硬度計, 針貫入試験)



土壤硬度計

凡例

- 指標硬度(読み取り値)*
- 針貫入勾配
- △ 硬質礫の分布により未計測

*: 測定は1cm毎に1点で実施。

- 土壤硬度計測定及び針貫入試験結果から、軟質岩塊①・②は大畑層の凝灰質礫岩の基質部と同程度の硬さの凝灰岩である。
- 軟質岩塊は大畑層の基質部と類似した物性を示し、基質部とともに塑性的な変形が可能であったと考えられる。



(余白)

1.2 sF-1断層の性状(5/26)

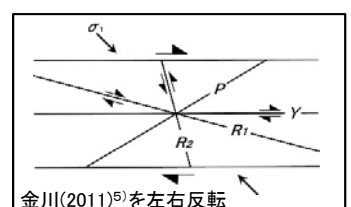
第856回審査会合
資料1-2 P.2-21 一部修正



sF-1断層の掘削面での性状(5/14)：掘削面底盤B(1/3)(解釈線有り)



- sF-1断層は大畑層と易国間層の明瞭な境界を成しており、ほぼ直線的に分布する。
- 大畑層はsF-1断層沿いに細長く分布し、易国間層を高角の不整合面で覆っている。
- sF-1断層及び近傍の易国間層・大畑層には右横ずれセンスを示す複合面構造が認められる。

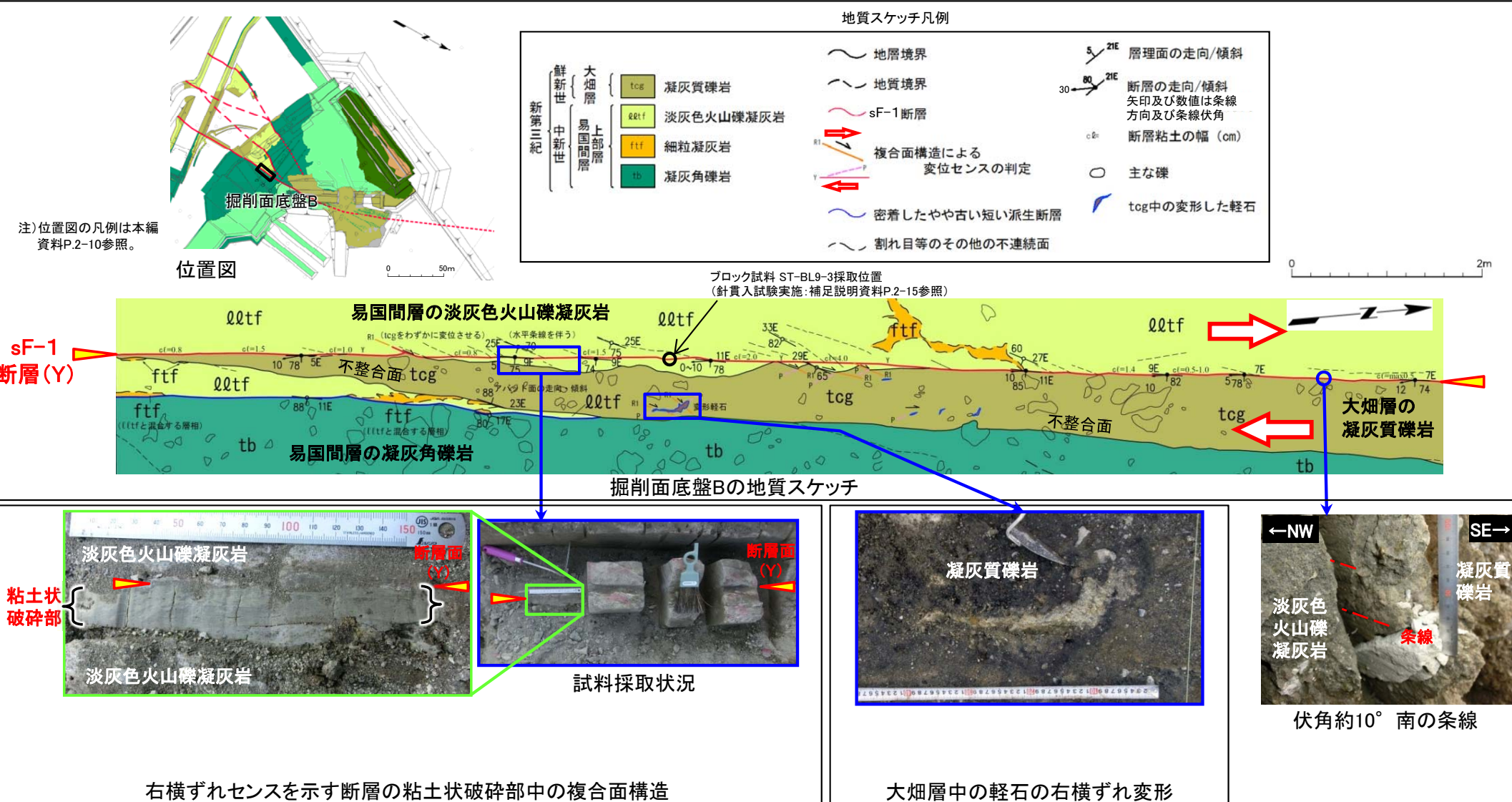


1.2 sF-1断層の性状(6/26)

第856回審査会合
資料1-2 P.2-22 一部修正



sF-1断層の掘削面での性状(6/14)：掘削面底盤B(2/3)(解釈線なし)

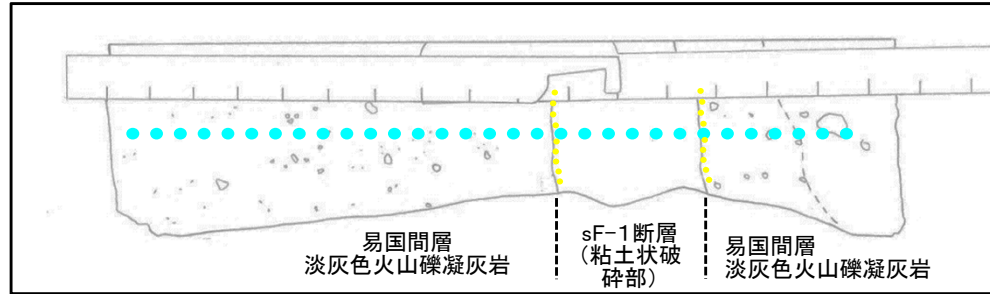


1.2 sF-1断層の性状(7/26)

第856回審査会合
資料1-2 P.2-23 再掲

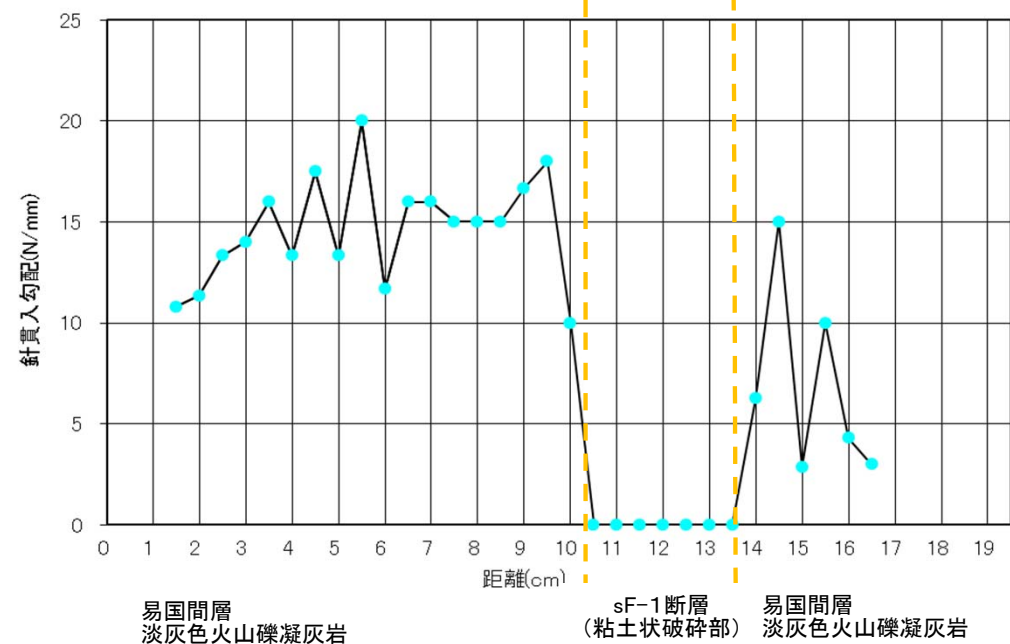


sF-1断層の掘削面での性状(7/14)：掘削面底盤B(3/3) 針貫入試験結果



針貫入試験位置のスケッチ
(ブロック試料: ST-BL9-3)

注) 試料採取位置については補足説明資料P.2-13, 2-14参照。



sF-1断層は断層面が明瞭であり、粘土状破碎部が認められる。粘土状破碎部は、周辺岩盤(淡灰色火山礫凝灰岩)よりも低い針貫入勾配を示す。



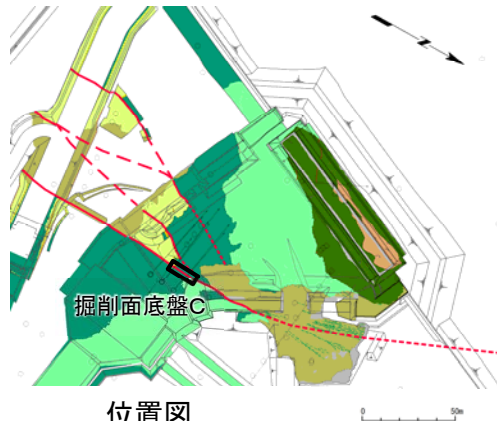
(余白)

1.2 sF-1断層の性状(8/26)

第856回審査会合
資料1-2 P.2-25 一部修正

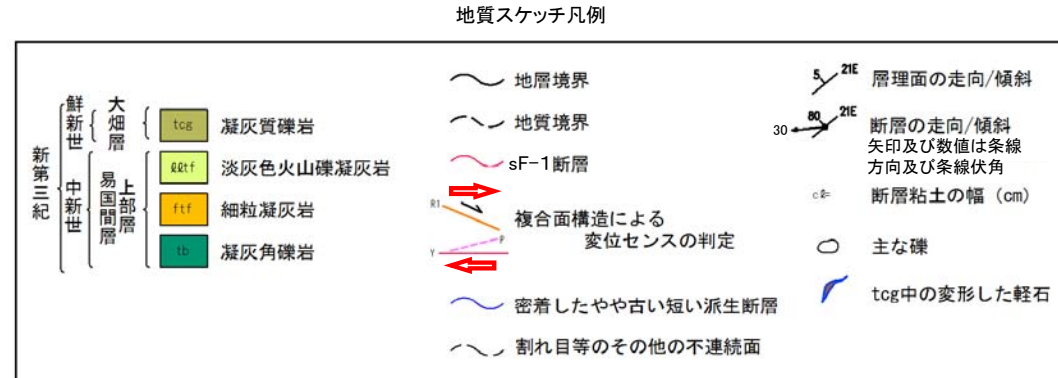


sF-1断層の掘削面での性状(8/14)：掘削面底盤C(1/4)(解釈線有り)



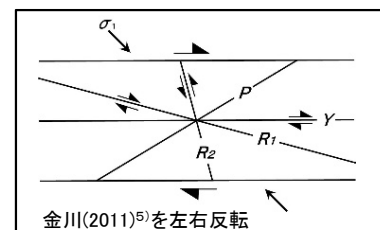
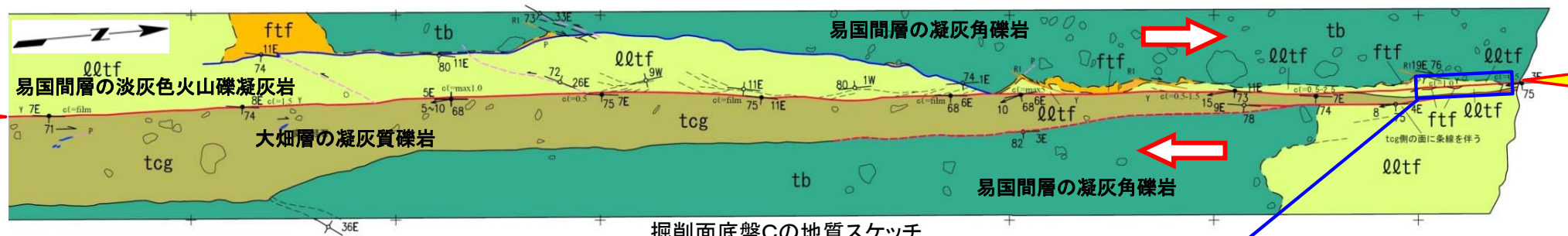
注)位置図の凡例は本編
資料P.2-10参照。

位置図



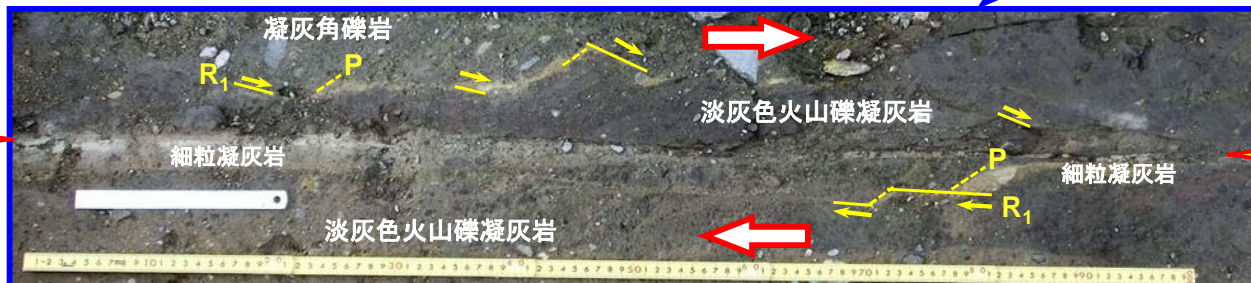
0 2m

sF-1
断層(Y)



Y : 断層の主せん断面
P : 変形した細粒凝灰岩の伸長方向
R₁ : YIに対してPとは反対方向に斜交し、Pを切断する面。矢印は変位方向。

複合面構造から判別される変位センス



易国間層中の直線的な断層面とその近傍の右横ずれセンスを示す複合面構造

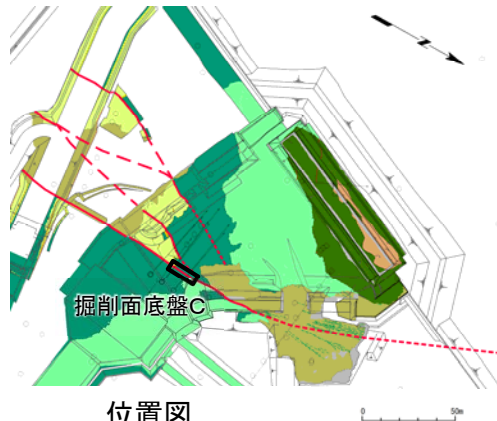
- sF-1断層は大畠層と易国間層の明瞭な境界を成しており、ほぼ直線的に分布する。
- 大畠層はsF-1断層沿いに細長く分布し、易国間層を高角の不整合面で覆っている。
- sF-1断層近傍の易国間層には右横ずれを示す複合面構造が認められる。

1.2 sF-1断層の性状(9/26)

第856回審査会合
資料1-2 P.2-26 一部修正

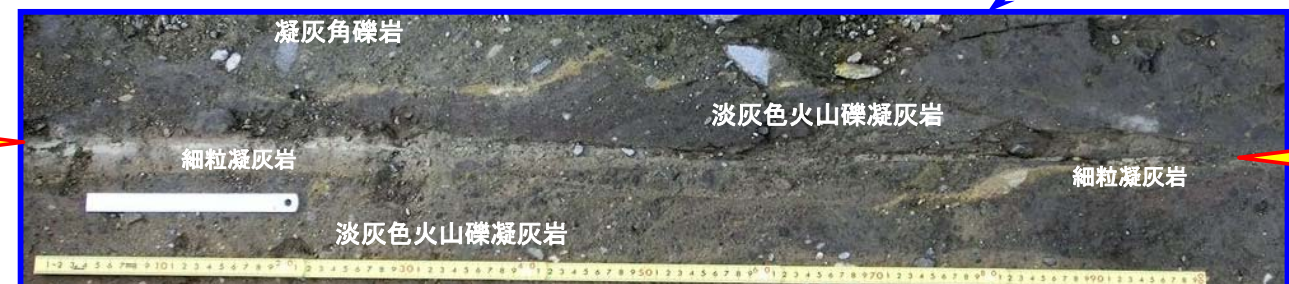
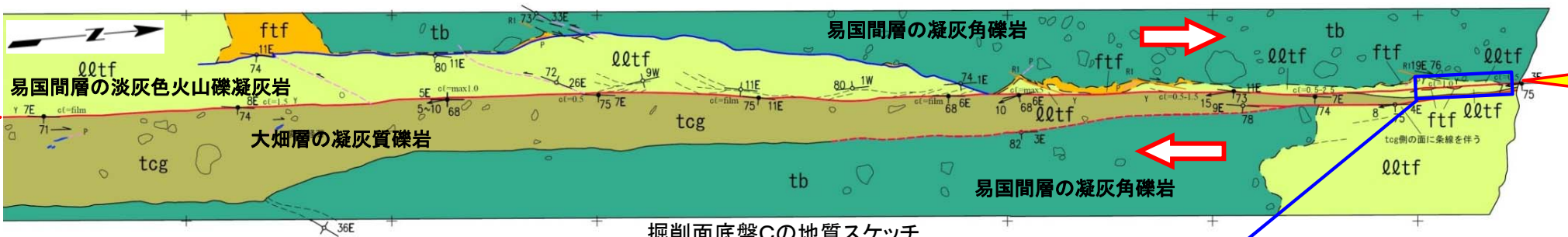
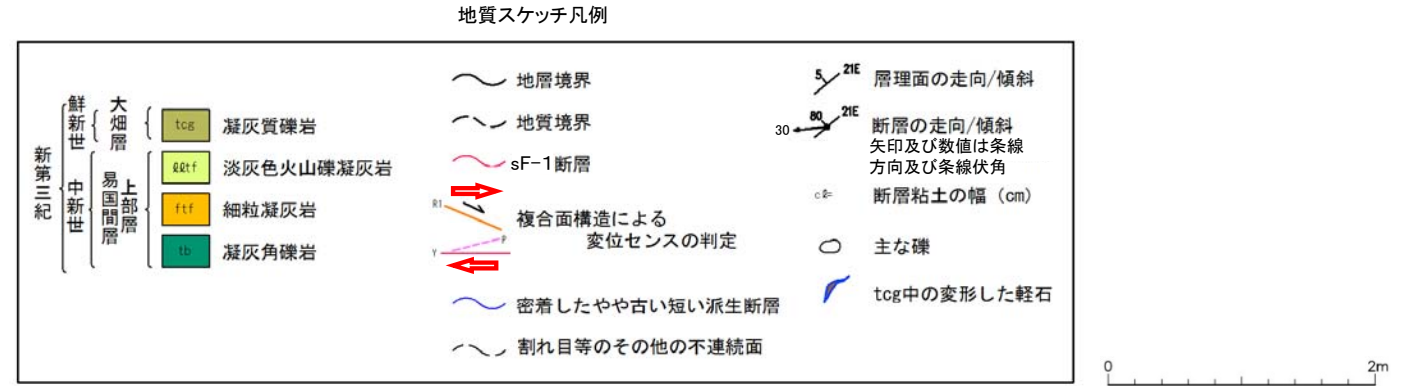


sF-1断層の掘削面での性状(9/14)：掘削面底盤C(2/4)(解釈線なし)



注)位置図の凡例は本編
資料P.2-10参照。

位置図

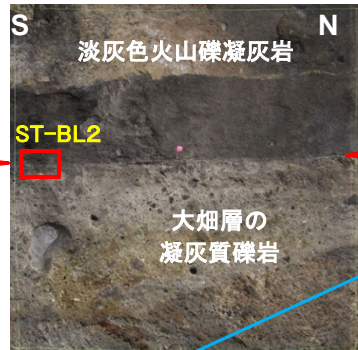


易国間層中の直線的な断層面とその近傍の右横ずれセンスを示す複合面構造

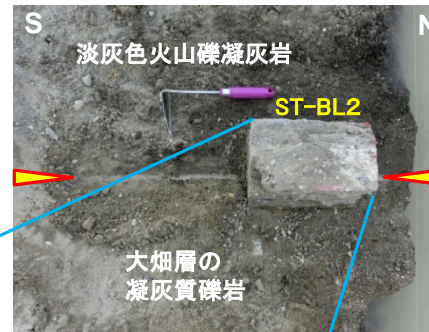
1.2 sF-1断層の性状(10/26)

sF-1断層の掘削面での性状(10/14)：掘削面底盤C(3/4)(解釈線有り)

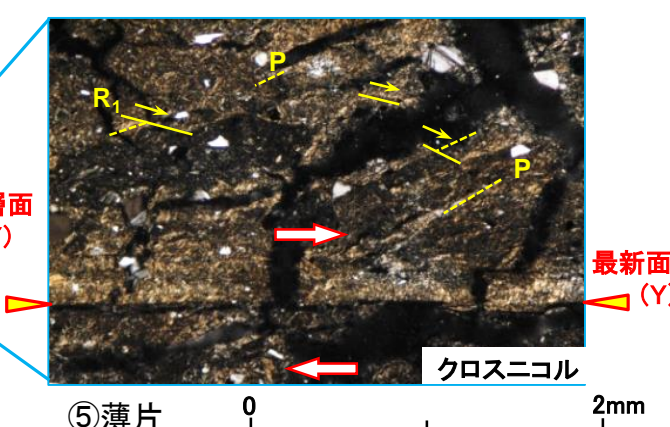
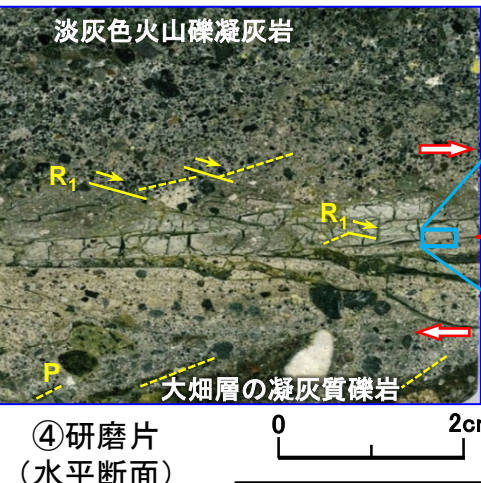
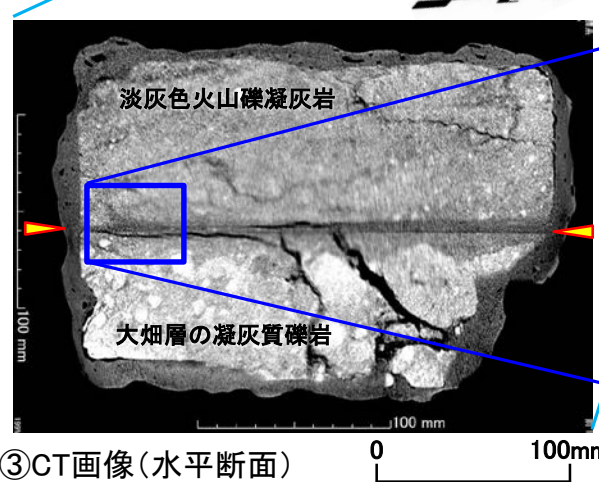
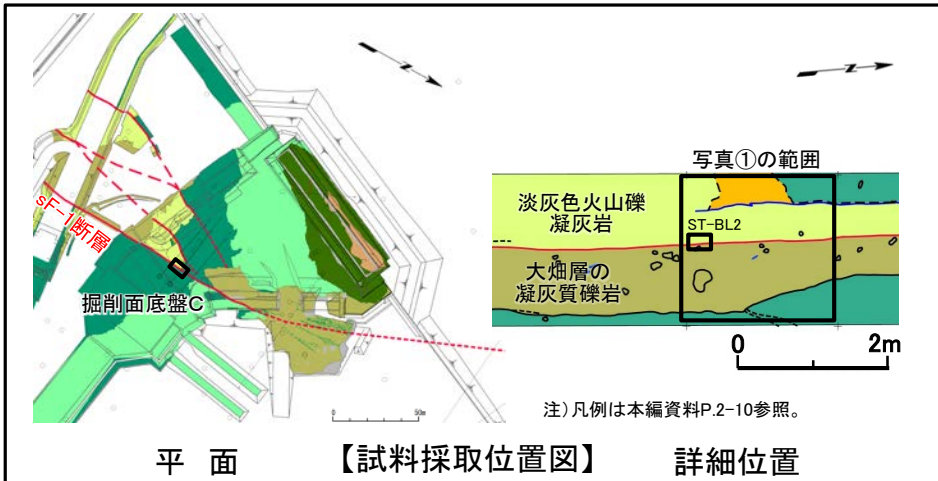
【ST-BL2】(ブロック試料)



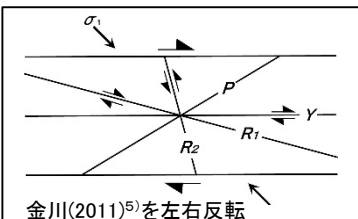
①掘削面写真



②試料採取状況



- 掘削面から薄片に至る観察で、直線的で連続性の良い面を最新面として認定した。
- 研磨片及び薄片の複合面構造は右横ずれセンスを示す。



Y : 断層の主せん断面
P : 変形した岩片・軽石の伸長方向
(薄片では主要な粘土鉱物の配向方向)
R₁ : Yに対してPとは反対方向に斜交し、Pを切断・屈曲させる面。矢印は変位方向。

複合面構造から判定される変位センス

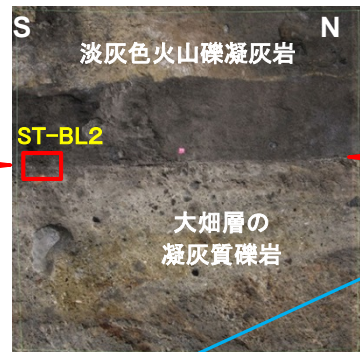
1.2 sF-1断層の性状(11/26)

第856回審査会合
資料1-2 P.2-28 一部修正

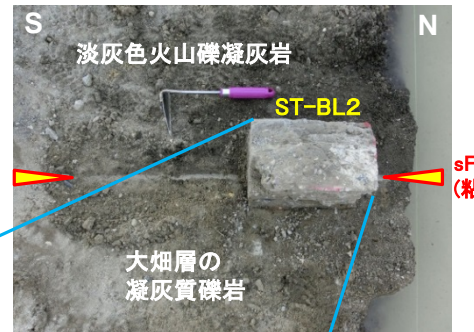


sF-1断層の掘削面での性状(11/14)：掘削面底盤C(4/4)(解釈線なし)

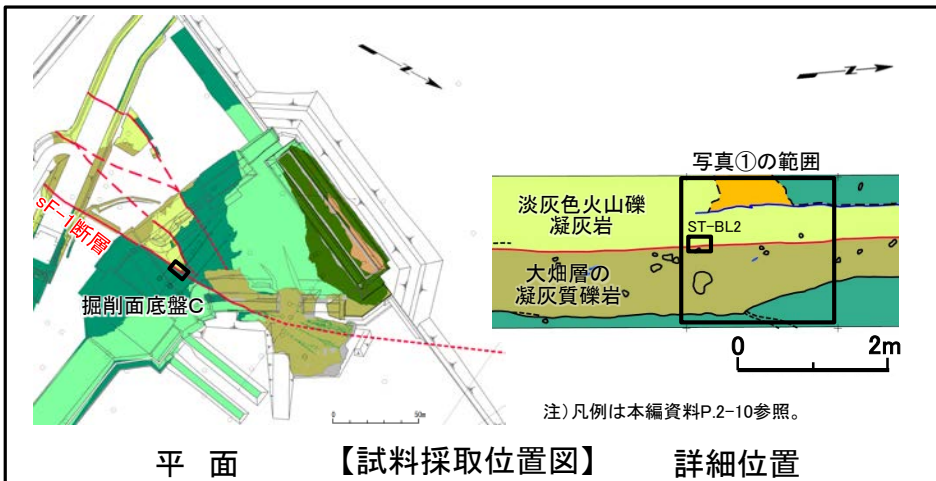
【ST-BL2】(ブロック試料)



①掘削面写真



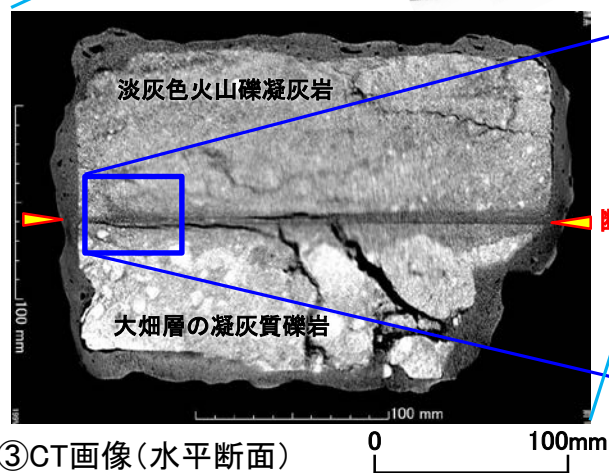
②試料採取状況



平面

【試料採取位置図】

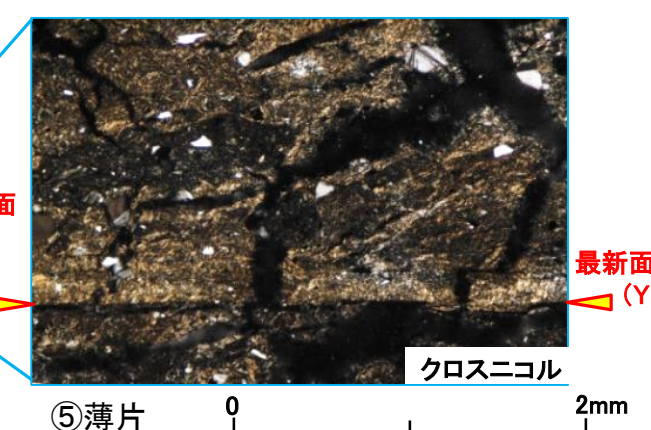
詳細位置



③CT画像(水平断面)



④研磨片
(水平断面)



⑤薄片

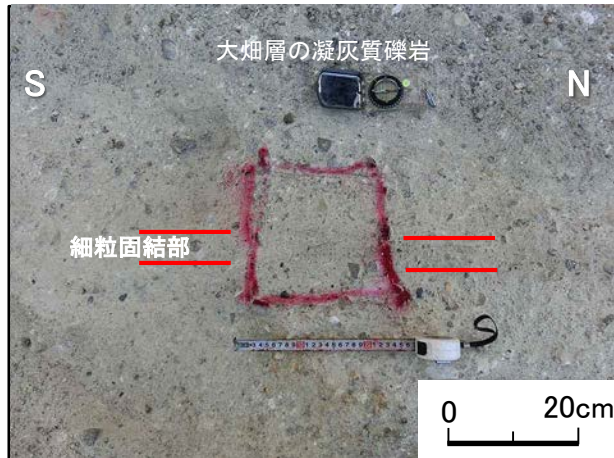
1.2 sF-1断層の性状(12/26)

第856回審査会合
資料1-2 P.2-29 一部修正

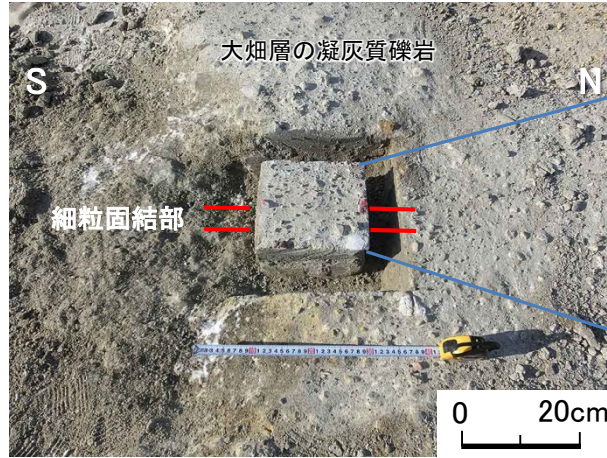


sF-1断層の掘削面での性状(12/14)：掘削面底盤D(1/3) 細粒固結部(解釈線有り)

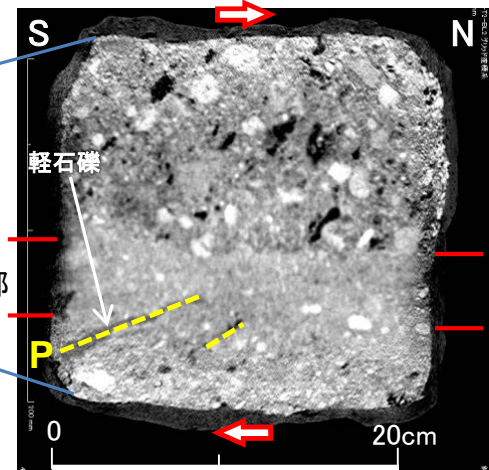
【T2-BL2】



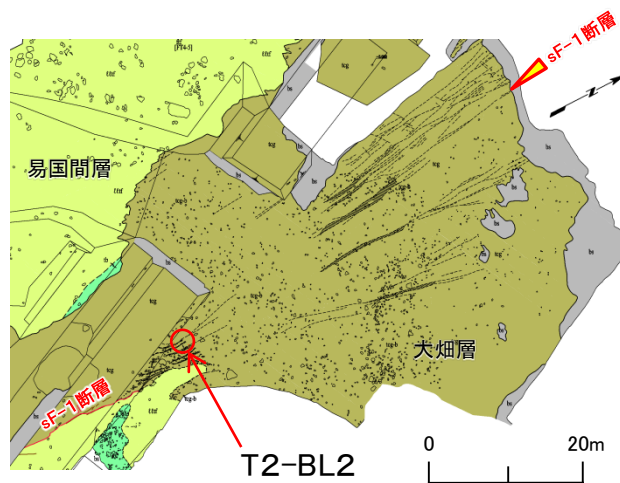
試料採取位置マーキング



試料採取状況

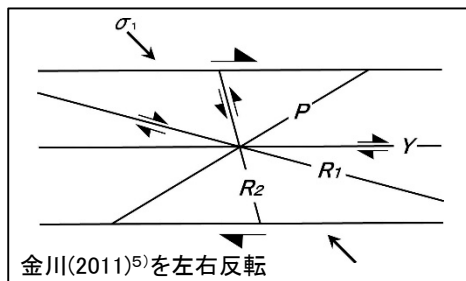


CT画像(水平断面)



掘削面底盤D 試料採取位置図

注) 凡例は本編資料P.2-15参照。



Y : 細粒固結部の連続方向
P : 細粒固結部の内部とその近傍の凝灰質礫岩中の変形した軽石の伸長方向

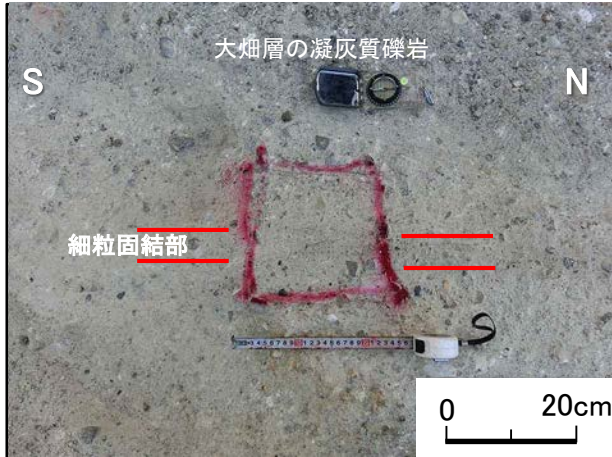
複合面構造から判定される変位センス

- CT画像により細粒固結部は相対的に白くきめが細かいことから、周辺の岩盤よりも細粒で同等以上の密度であることが示唆される。
- CT画像から、周辺の岩盤中の軽石礫の複合面構造は右横ずれセンスを示す。

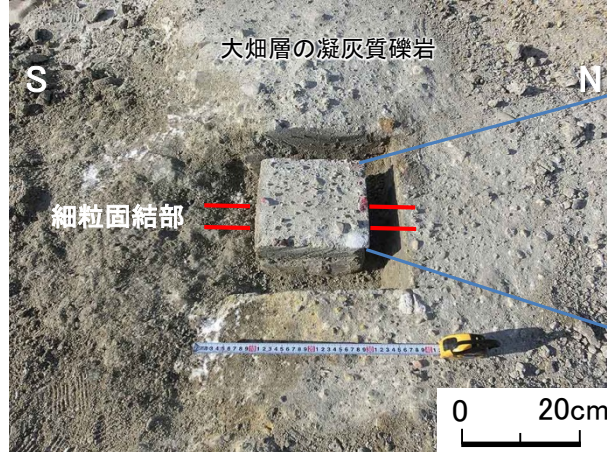
1.2 sF-1断層の性状(13/26)

sF-1断層の掘削面での性状(13/14)：掘削面底盤D(2/3) 細粒固結部(解釈線なし)

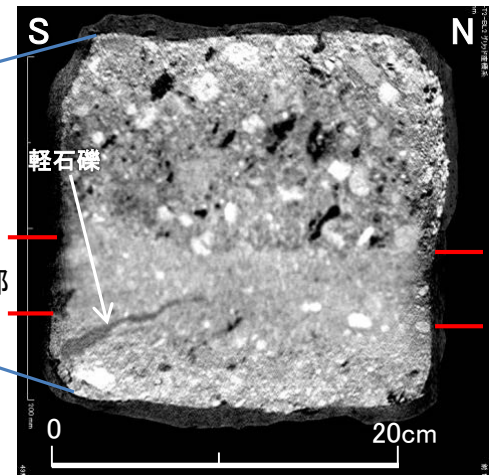
【T2-BL2】



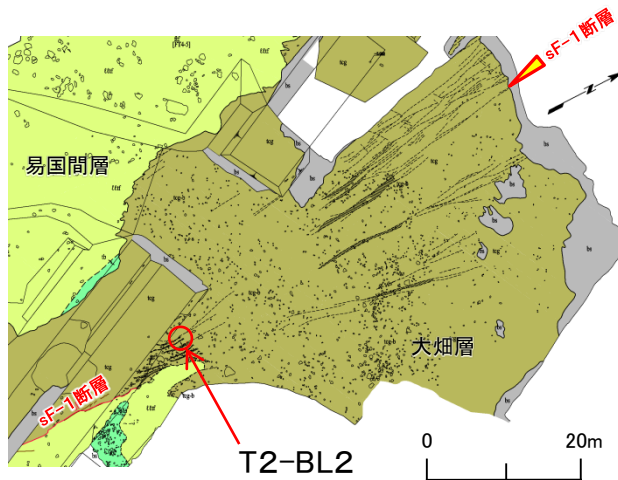
試料採取位置マーキング



試料採取状況



CT画像(水平断面)



掘削面底盤D 試料採取位置図

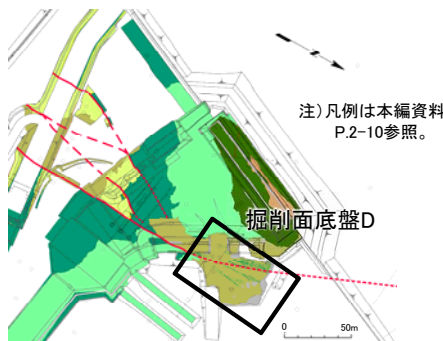
注) 凡例は本編資料P.2-15参照。

1.2 sF-1断層の性状(14/26)

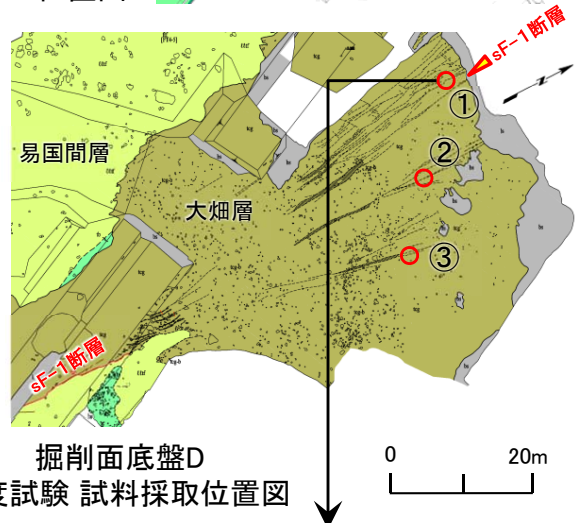
第856回審査会合
資料1-2 P.2-31 一部修正



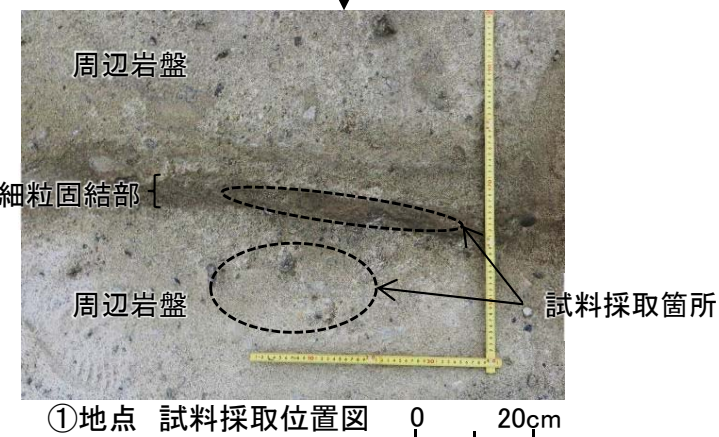
sF-1断層の掘削面での性状(14/14) : 掘削面底盤D(3/3) 細粒固結部と周辺岩盤の粒度比較



位置図

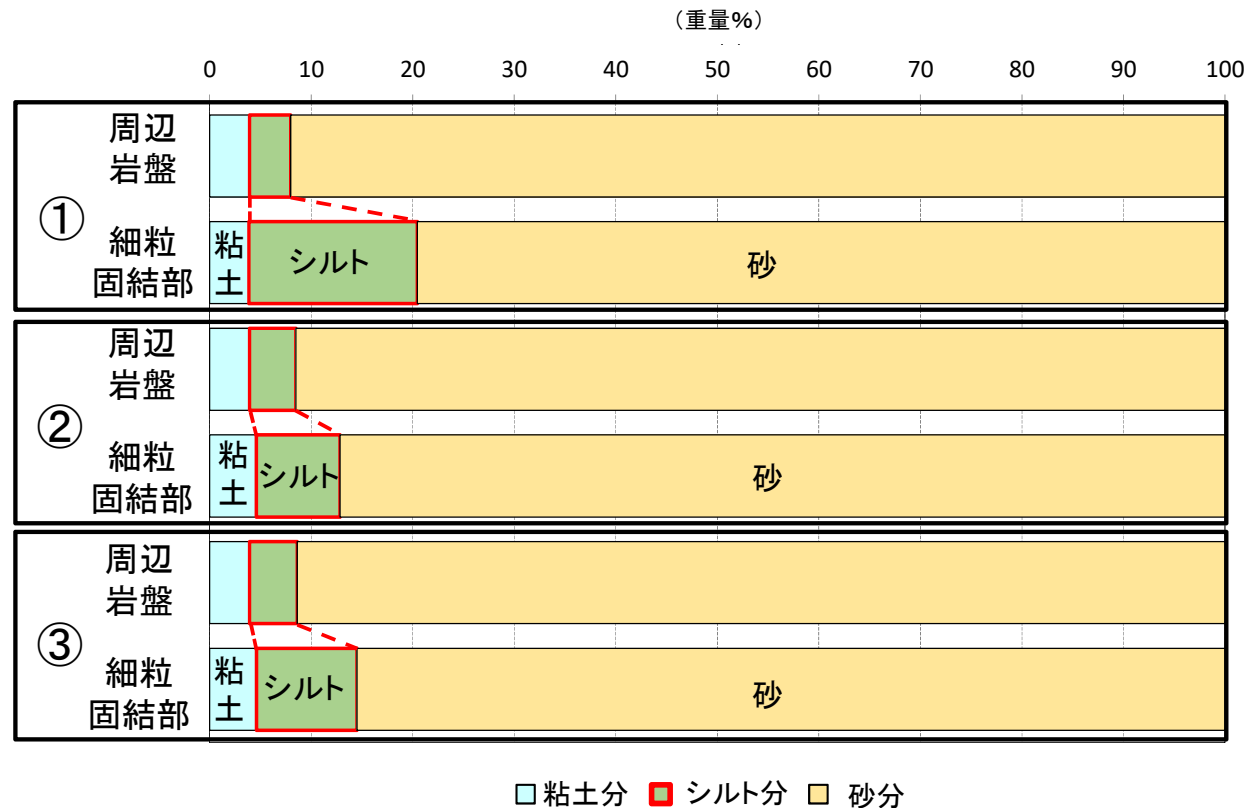
掘削面底盤D
粒度試験 試料採取位置図

0 20m



①地点 試料採取位置図

0 20cm



細粒固結部及び周辺岩盤の粒度試験結果 *
(*: 径2mm以下の試験結果)

- 大畠層分布域において、細粒固結部と周辺の岩盤を対象に3箇所で粒度試験を実施した。
- 3箇所全てにおいて、細粒固結部は周辺の岩盤に比べてシルトサイズの含有量が多いことを確認した。
- 細粒固結部では、断層変位によって砂粒子が破碎されてシルトサイズに細粒化したものと考えられる。

1.2 sF-1断層の性状(15/26)

sF-1断層の北方延長部(1/8):IT-64孔

【IT-64孔(N97° E, 傾斜28.5°)】易国間層/大畠層境界のsF-1断層

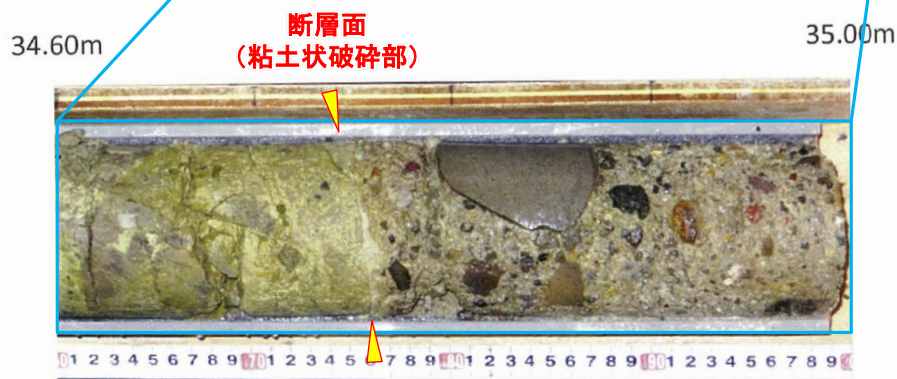
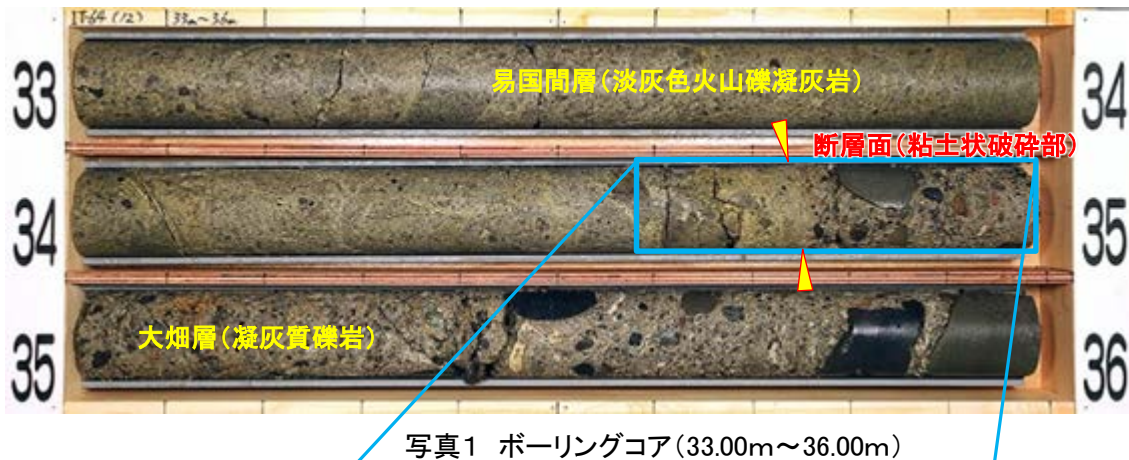
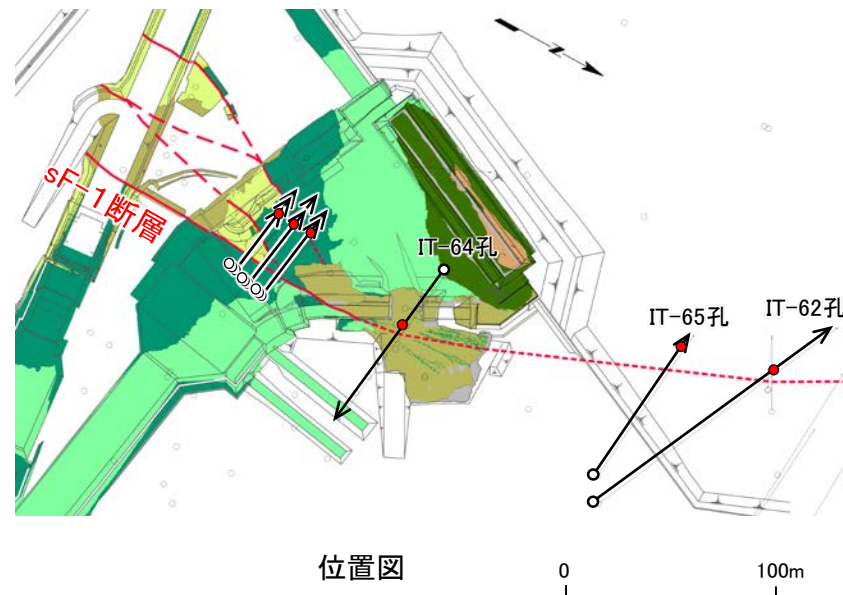


写真2 拡大写真(34.60m~35.00m)



注) 凡例は本編資料P.2-10参照。

- IT-64孔の深度34.75mで易国間層と大畠層の境界にsF-1断層を確認した。
- 断層面は直線的・シャープである。
- IT-62孔及びIT-65孔についてもsF-1断層を確認している(補足説明資料P.2-25~P.2-31参照)。

1.2 sF-1断層の性状(16/26)

sF-1断層の北方延長部(2/8) : IT-65孔(1/4)(解釈線有り)

【IT-65孔(N85°W, 傾斜25.9°)】大畠層/大間層境界のsF-1断層

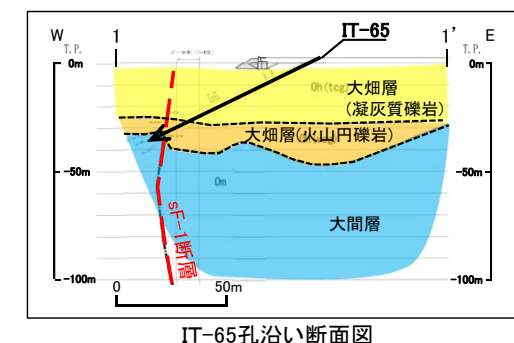
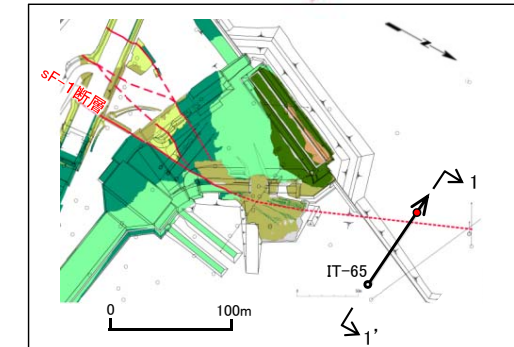
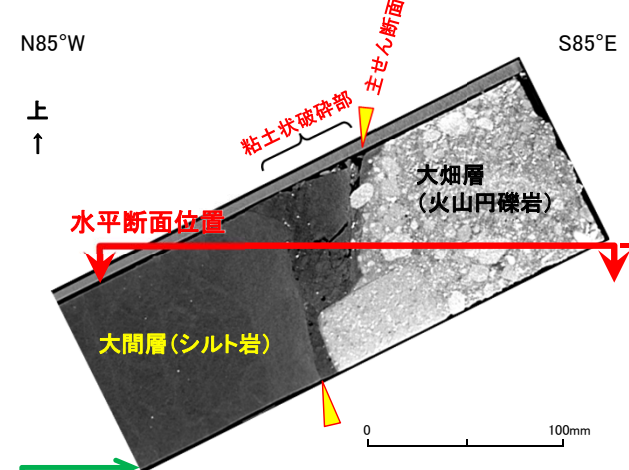
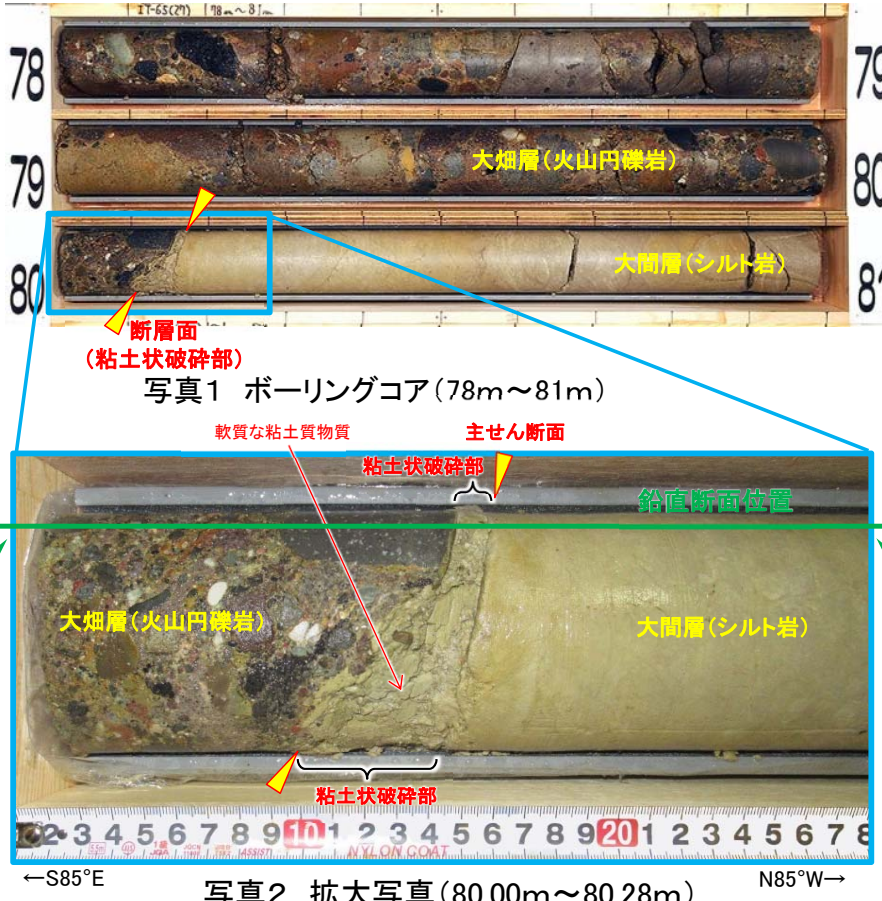


写真3 CT画像(鉛直断面)
(写真2とは左右が逆向き)

Y : 断層の主せん断面
P : 変形した岩片・軽石の伸長方向
R₁ : Yに対してPとは反対方向に斜交し、Pを切断・屈曲させる面。矢印は変位方向。

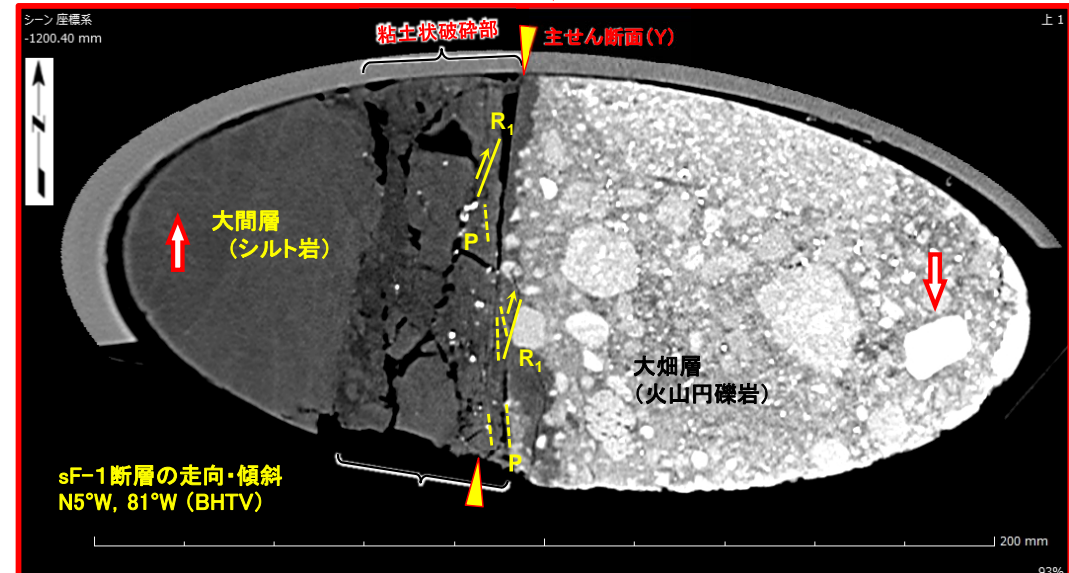
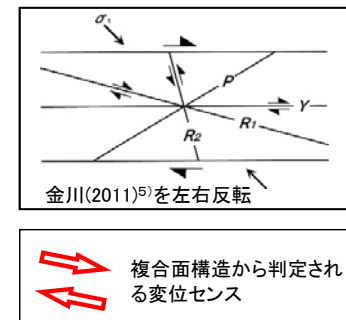


写真4 CT画像(水平断面)

- IT-65孔の深度80.15mで大畠層と大間層の境界にsF-1断層を確認した。
- 大畠層と粘土状破碎部の境界は直線的・シャープであることから、粘土状破碎部の主せん断面と判断される(写真2~4)。本試料では主せん断面が約3cm離れてステップする。
- 粘土状破碎部中に右横ずれセンスを示す複合面構造が認められる(写真4)。



1.2 sF-1断層の性状(17/26)

sF-1断層の北方延長部(3/8) : IT-65孔(2/4)(解釈線なし)

【IT-65孔(N85°W, 傾斜25.9°)】大畳層/大間層境界のsF-1断層

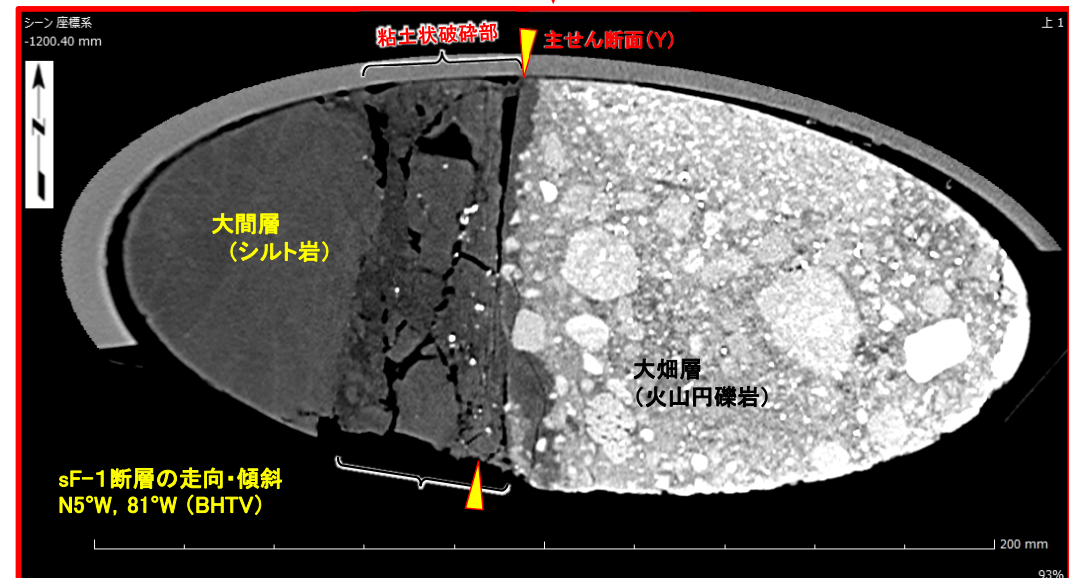
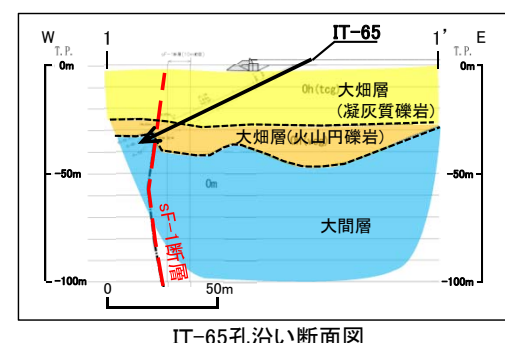
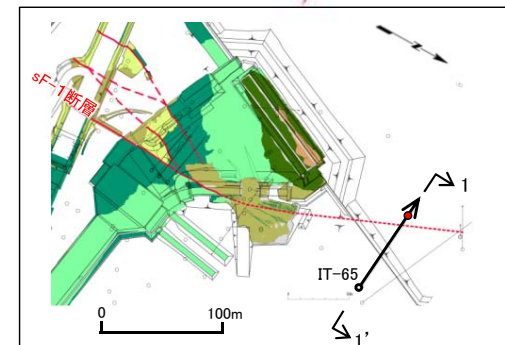
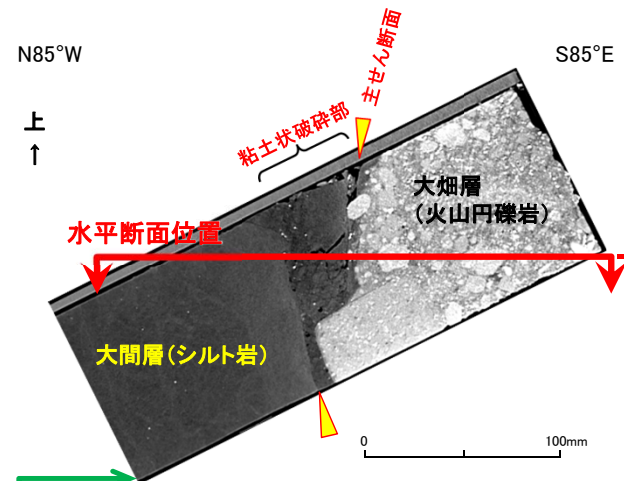
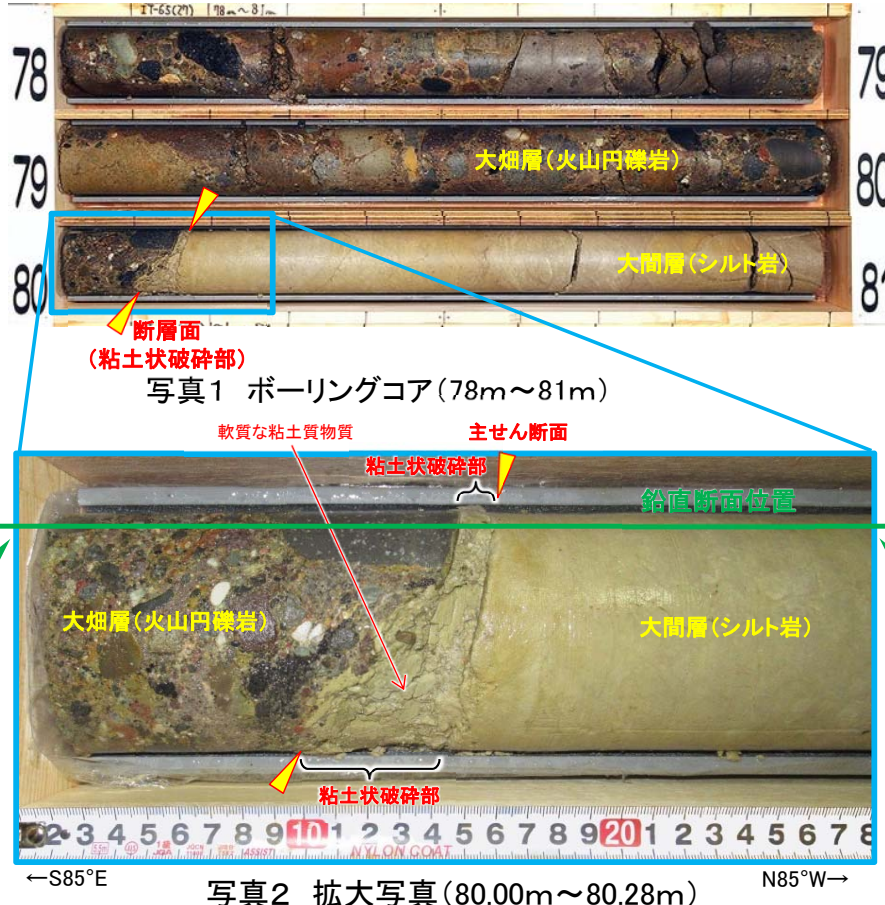


写真4 CT画像(水平断面)

1.2 sF-1断層の性状(18/26)

第856回審査会合
資料1-2 P.2-35 一部修正



sF-1断層の北方延長部(4/8):IT-65孔(3/4)(解釈線有り)

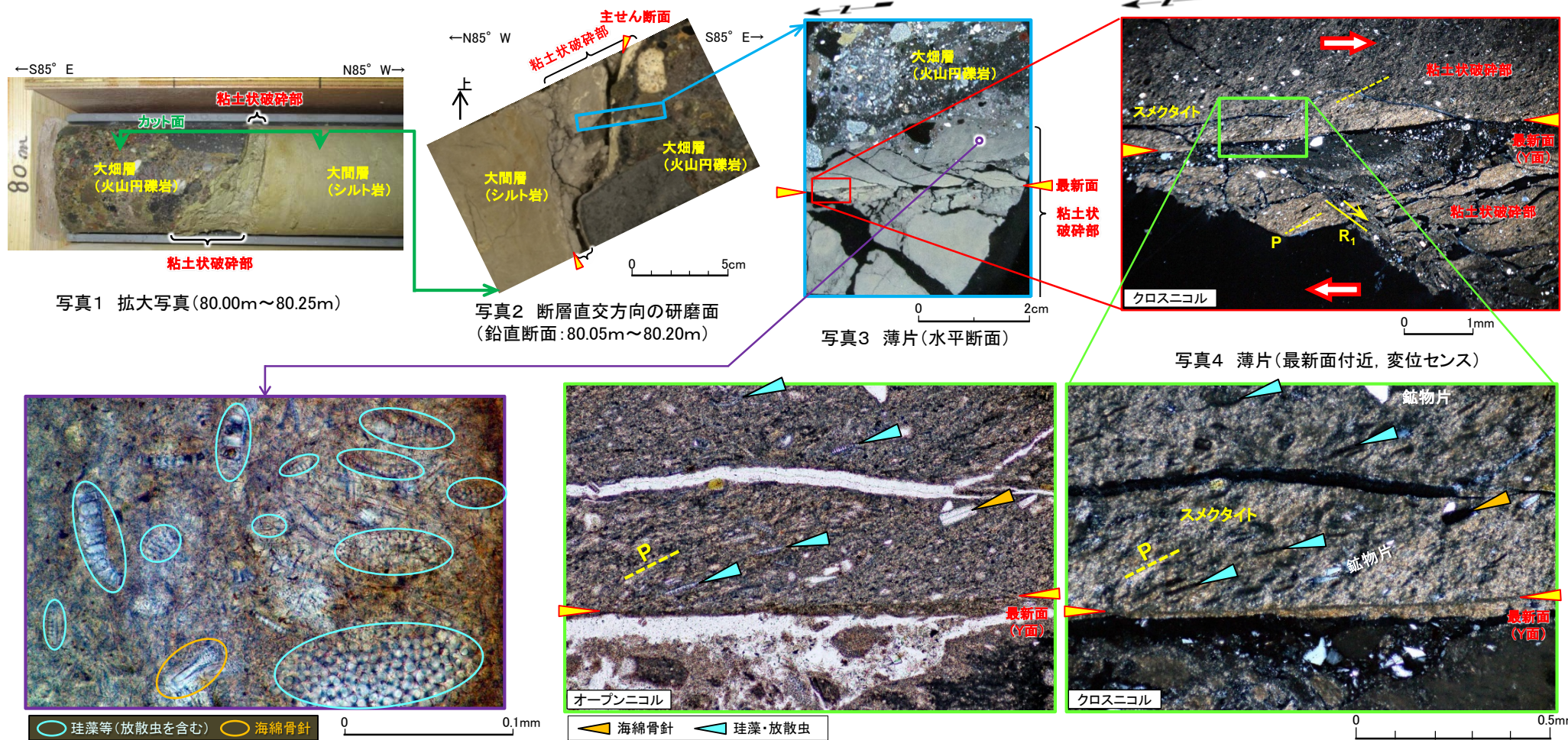
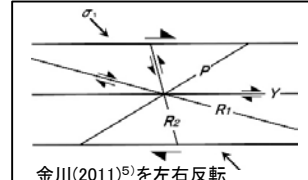


写真5 薄片 (最新面から少し離れた変形の弱い粘土状破碎部中の微化石)
〔主に珪藻と放散虫の破片で一部に海綿骨針含む〕

写真6 薄片 (最新面付近の変形を受けた粘土状破碎部中の微化石)
〔珪藻等の破片(非晶質)及びスメクタイトがP面方向に伸長〕

注)薄片は裏面作製のため反転して表示。

- 薄片観察により、最新面から少し離れた変形の弱い粘土状破碎部中に、珪藻、放散虫及び海綿骨針から成る微化石が含まれることを確認した(写真5)。
- 最新面付近の変形を受けた粘土状破碎部中には、粘土鉱物(スメクタイト)と同様にP面方向に伸長する珪藻等の微化石の破片を確認した(写真6)。なお、これらP面方向とR₁面の方向との関係から、右横ずれセンスが判定される。



Y : 断層の主せん断面・最新面
P : 変形した岩片・軽石の伸長方向
(薄片では主要な粘土鉱物及び微化石の配向方向)
R₁ : Yに対してPとは反対方向に斜交し、Pを切断・屈曲させる面。矢印は変位方向。

複合面構造から判定される変位センス

1.2 sF-1断層の性状(19/26)

sF-1断層の北方延長部(5/8):IT-65孔(4/4)(解釈線なし)

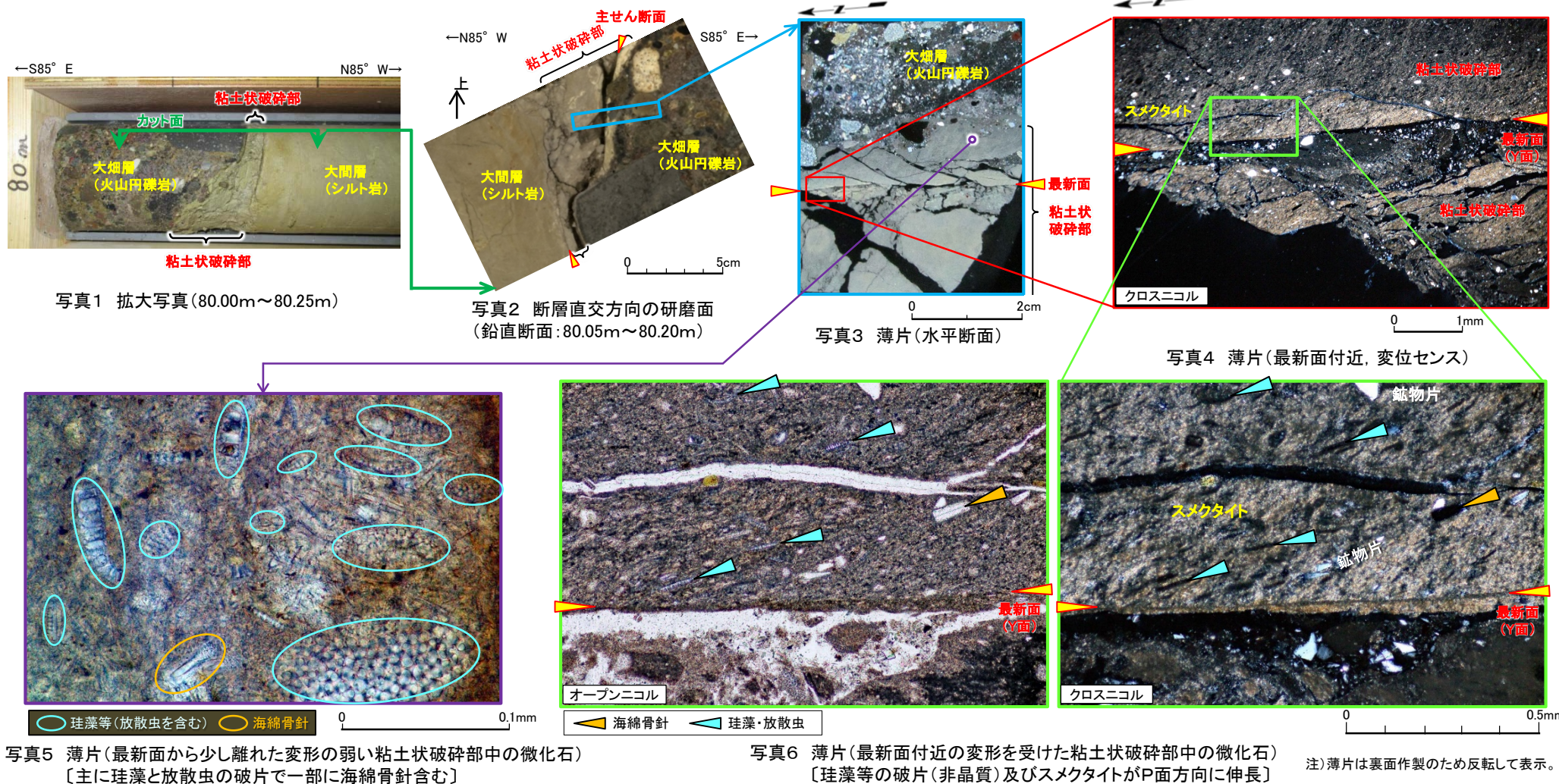


写真5 薄片(最新面から少し離れた変形の弱い粘土状破碎部中の微化石)
〔主に珪藻と放散虫の破片で一部に海綿骨針含む〕

写真6 薄片(最新面付近の変形を受けた粘土状破碎部中の微化石)
〔珪藻等の破片(非晶質)及びスメクタイトがP面方向に伸長〕

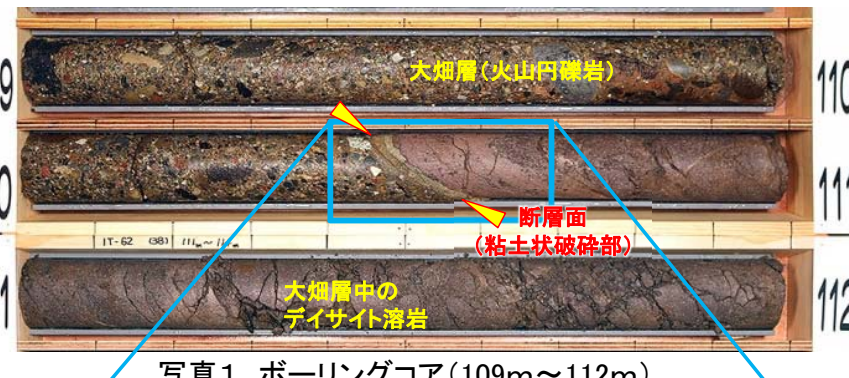
注)薄片は裏面作製のため反転して表示。

1.2 sF-1断層の性状(20/26)

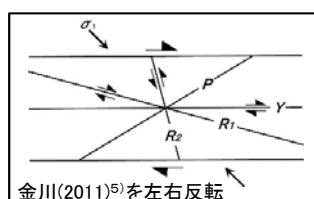
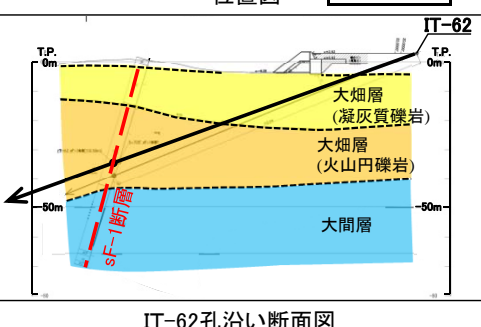
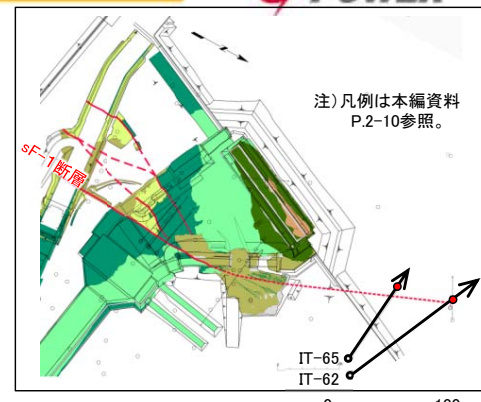
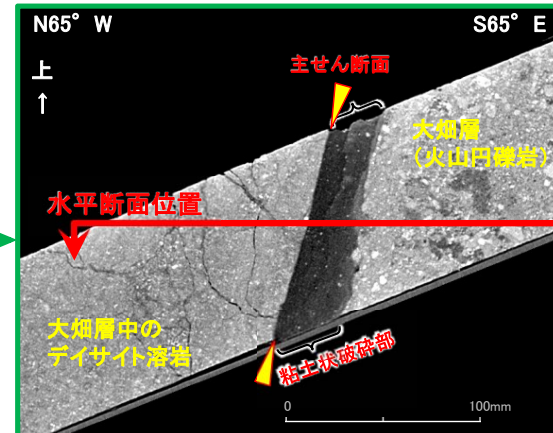
第856回審査会合
資料1-2 P.2-37 一部修正

sF-1断層の北方延長部(6/8) : IT-62孔(1/3)(解釈線有り)

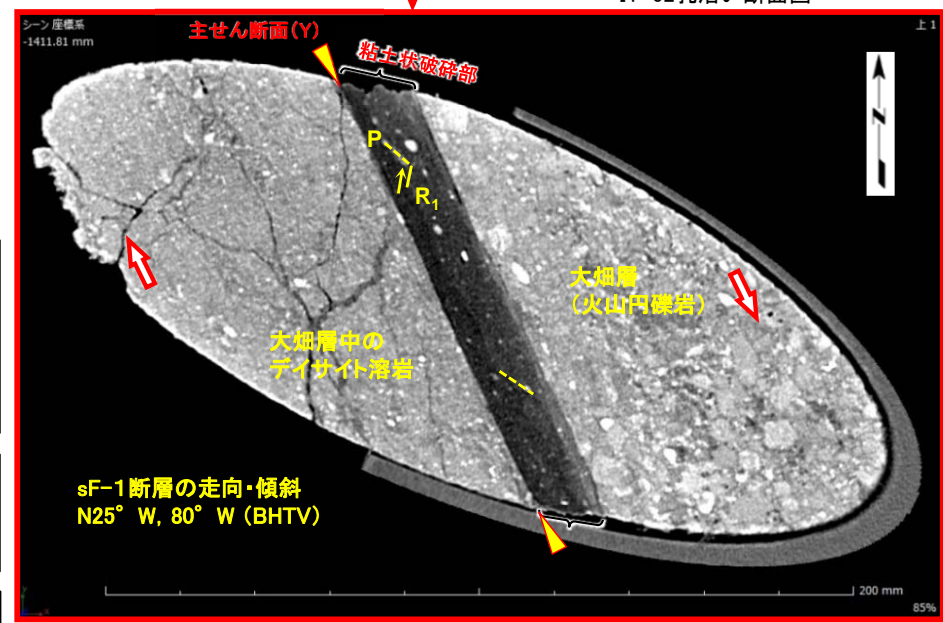
【IT-62孔(N65° W, 傾斜20.8°)】大畠層中のsF-1断層



- IT-62孔の深度110.55mで大畠層中にsF-1断層を確認した。
- ディサイト溶岩と粘土状破碎部の境界は直線的・シャープであることから、粘土状破碎部の主せん断面と判断される(写真2～4)。
- 粘土状破碎部中に右横ずれセンスを示す複合面構造が認められる(写真4)。



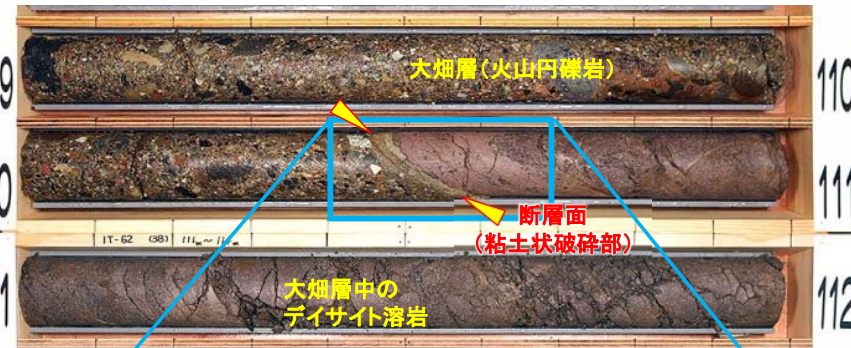
Y : 断層の主せん断面
P : 変形した岩片・軽石の伸長方向
R₁ : Yに対してPとは反対方向に斜交し、Pを切断・屈曲させる面。矢印は変位方向。
複合面構造から判定される変位センス



1.2 sF-1断層の性状(21/26)

sF-1断層の北方延長部(7/8) : IT-62孔(2/3)(解釈線なし)

【IT-62孔(N65° W, 傾斜20.8°)】大烟層中のsF-1断層



←S65° E N65° W→
写真2 拡大写真(110.4m～110.7m)

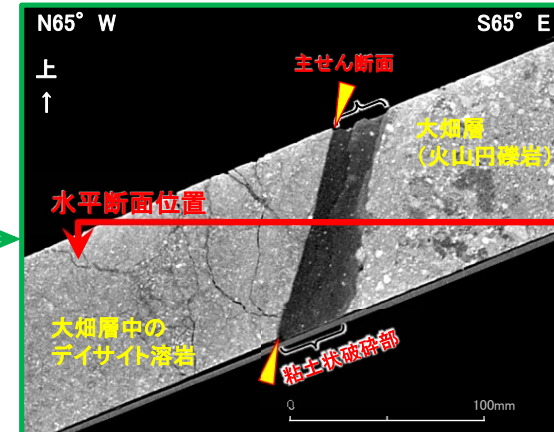
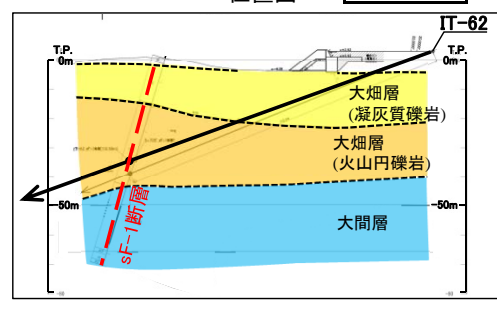
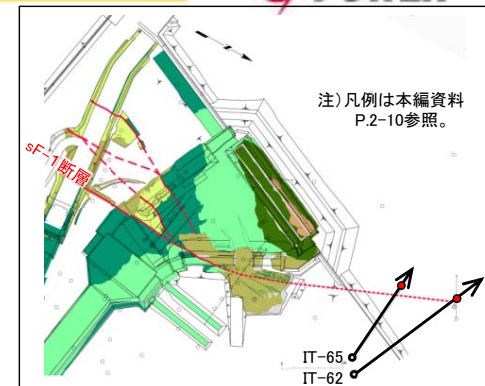


写真3 CT画像(鉛直断面)
(写真2とは左右が逆向き)



IT-62孔沿い断面図

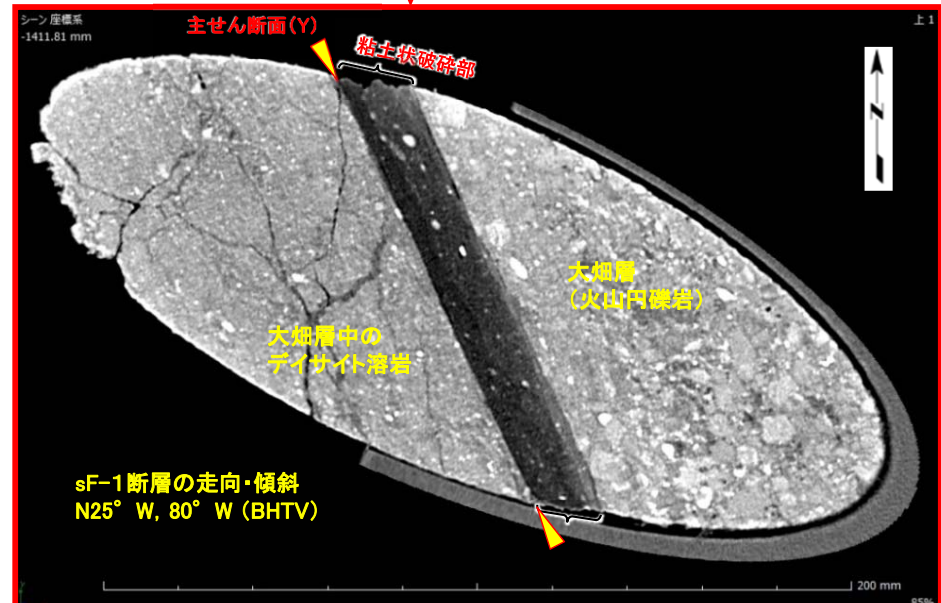


写真4 CT画像(水平断面)

1.2 sF-1断層の性状(22/26)

第856回審査会合
資料1-2 P.2-39 再掲



sF-1断層の北方延長部(8/8):IT-62孔(3/3)

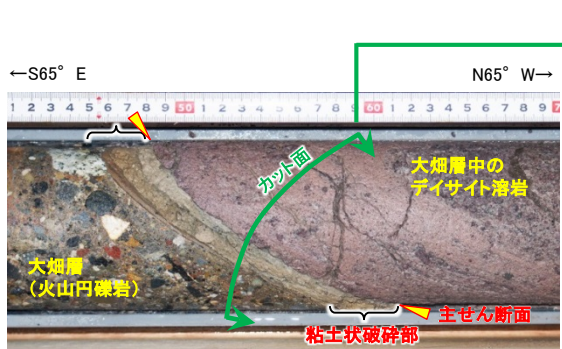


写真1 拡大写真(110.4m～110.7m)

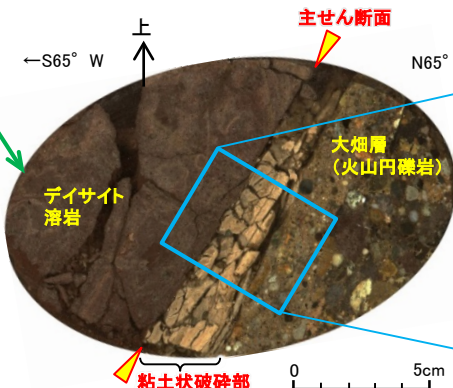


写真2 断層直交方向の研磨面
(鉛直断面: 110.54m付近)

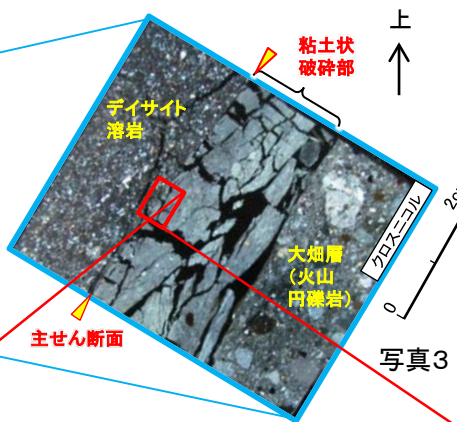


写真3 薄片
(鉛直断面)

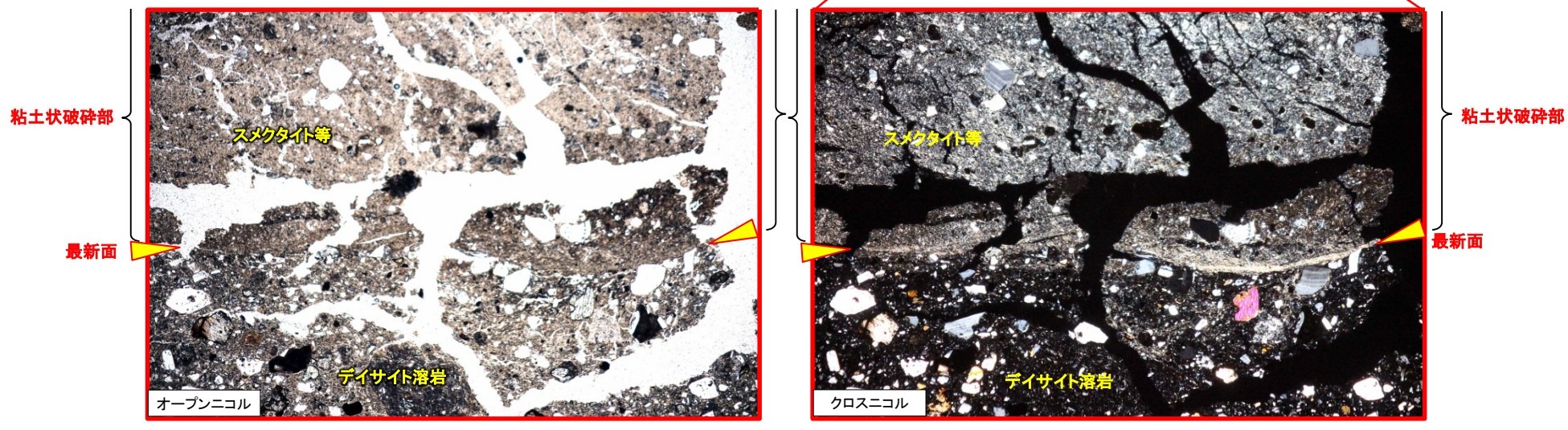


写真4 薄片(最新面付近)

デイサイト溶岩と粘土状破碎部の境界の主せん断面は薄片観察により、シャープな最新面であることを確認した。

注)薄片は裏面作製のため反転して表示。



(余白)

1.2 sF-1断層の性状(23/26)

第856回審査会合
資料1-2 P.2-41 再掲



sF-1断層北方の音波探査断面(1/2) : No.111SM測線位置

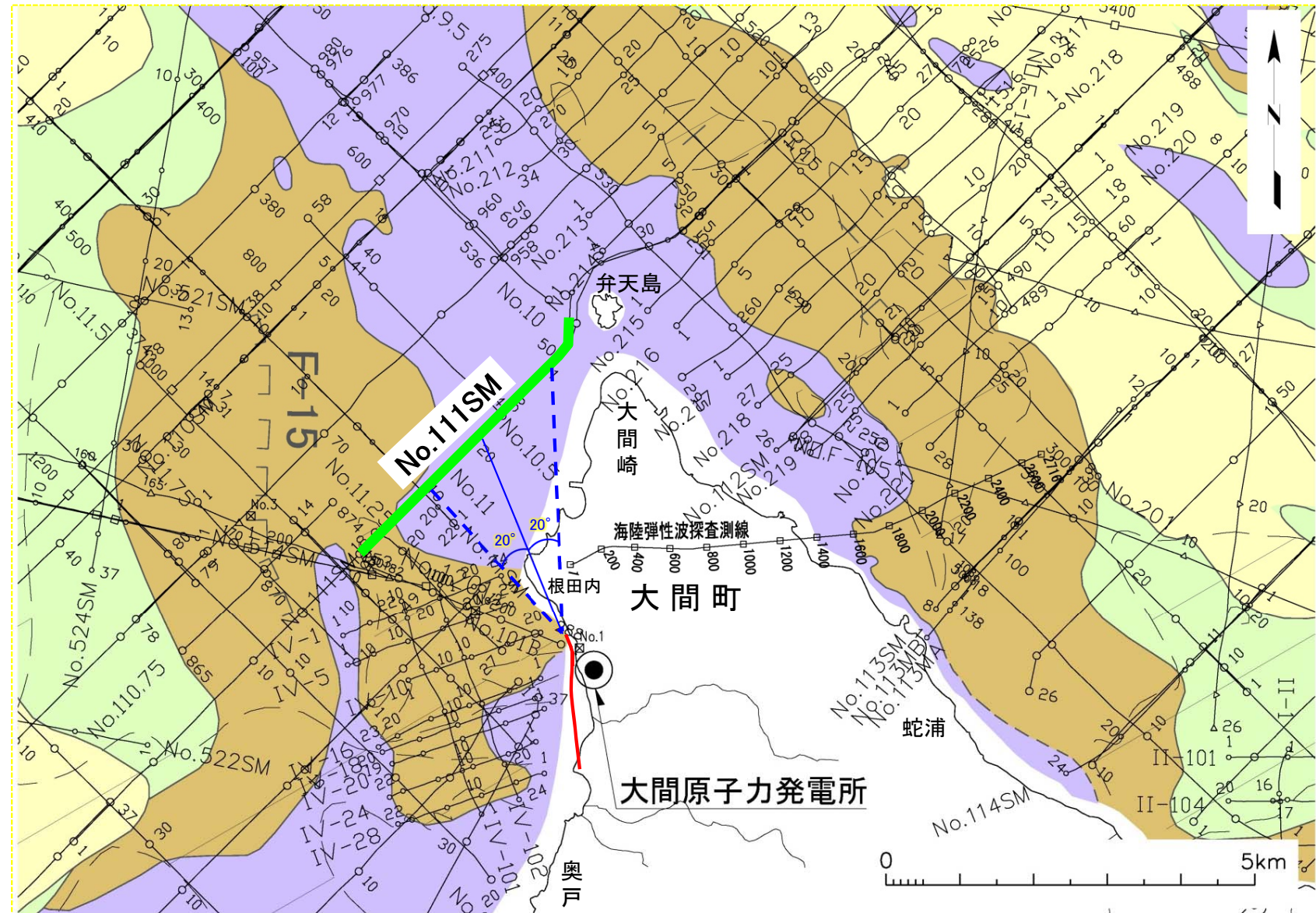
凡 例

地質時代		敷地前面海域
第四紀	完新世	A層
	後期	B ₁ 層
	中期	B ₂ 層
	前期	B ₃ 層
新第三紀	鮮新世	C層
中新世	先新第三紀	D層
		E層

音波探査記録断面位置

F-15
断層(伏在断層)及び断層番号
断層
連続性のない断層
伏在断層

sF-1断層
sF-1断層の直線延長から
東西20°の角度の範囲



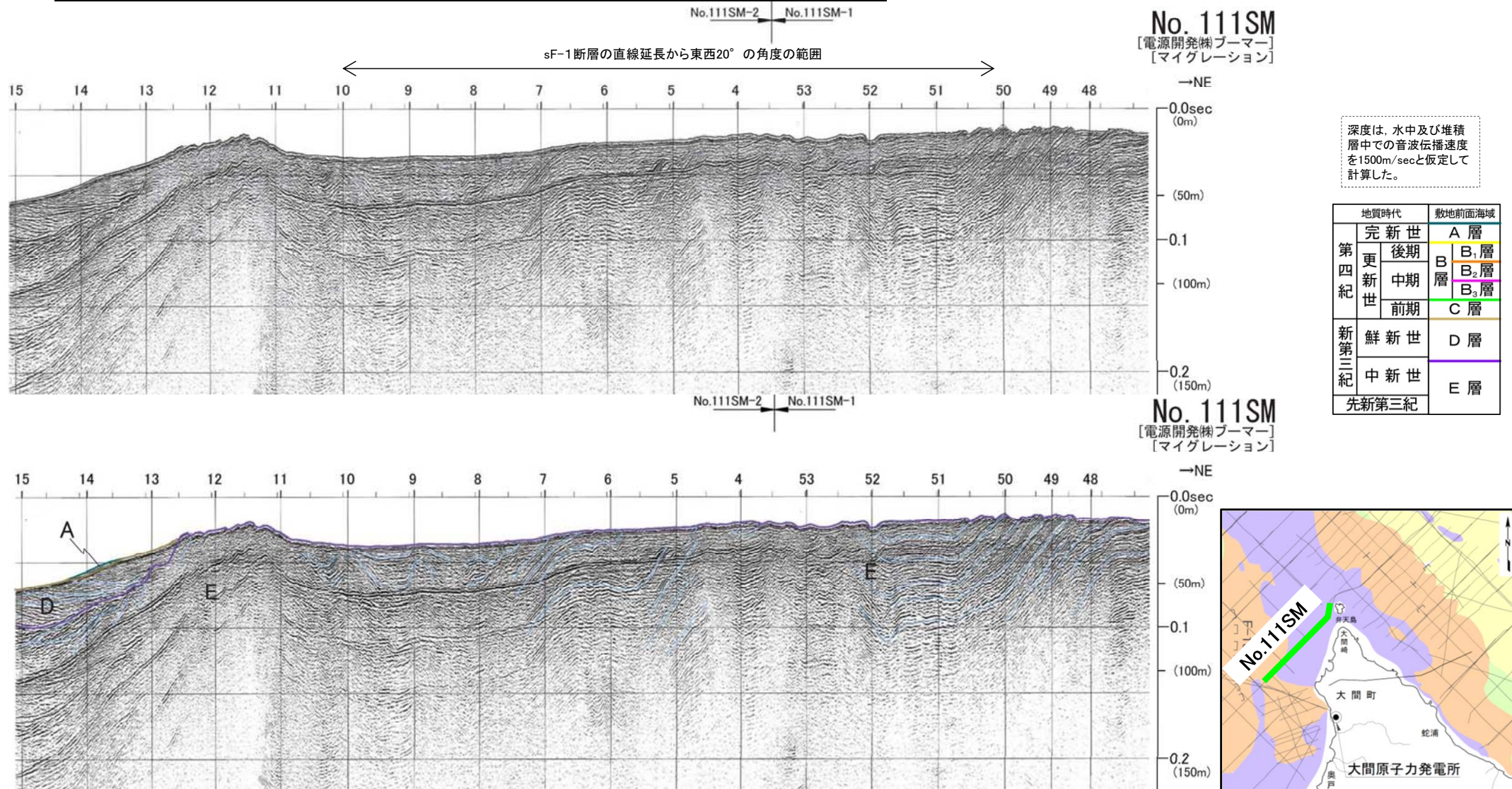
- 海底地形調査によると、sF-1断層は少なくとも根田内までは延長しないことは確認しているが、さらに沖合の音波探査測線の探査記録断面を確認した。
- 音波探査記録によれば、sF-1断層の北方延長には、D層及びE層が分布し、断層は分布しない。

1.2 sF-1断層の性状(24/26)

第856回審査会合
資料1-2 P.2-42 再掲



sF-1断層北方の音波探査断面(2/2)：No.111SM測線



- sF-1断層の北方延長では、E層及び海底面に断層運動を示唆する変位・変形は認められないことから、sF-1断層は分布しないと評価する。
- E層(中新統以下)には、波長の短い凹凸の繰返しが認められる。これら凹凸は、「大間崎背斜」と波長や方向性が類似しているため、同じ成因による背斜と判断される※。

※「大間崎背斜」の詳細は、第732回審査会合 資料2-1「7.3 中新世背斜・向斜」を参照。

1.2 sF-1断層の性状(25/26)

sF-1断層の南方延長部(1/2) : IT-33孔(1/2)(解釈線有り)

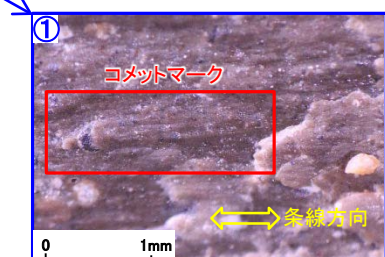


断層面の下盤上面の接写写真

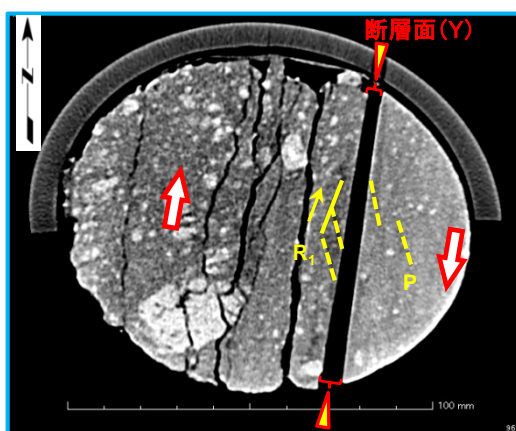
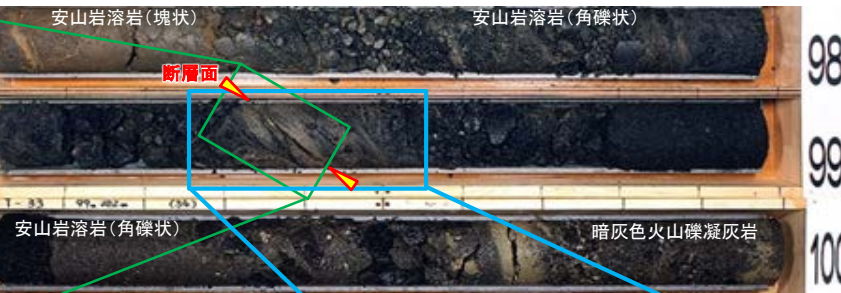
横ずれセンスを示す明瞭な条線が認められる



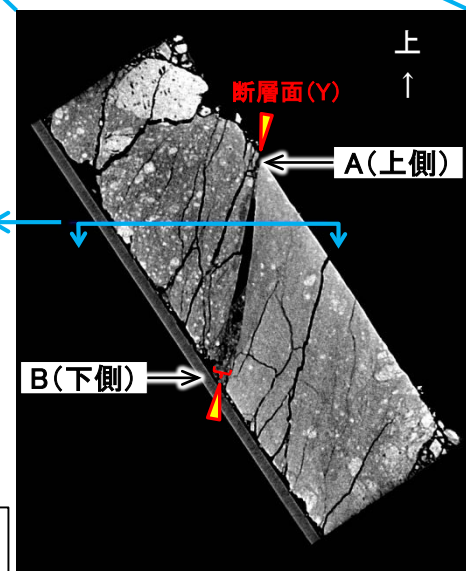
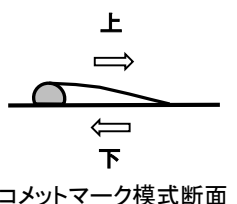
断層部コア接写写真(深度98.4m付近)



コア写真(深度97m~100m)



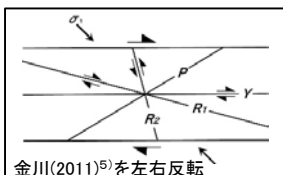
CT画像(水平断面)深度98.35m

CT画像(鉛直断面:最大傾斜方向)
深度98.25m~98.55m注) IT-33孔の実施位置については
本編資料P.2-22参照。

上記の形状を示す場合は、
上盤側が右に動くせん断
センスを示す。

Y : 断層の主せん断面
P : 変形した岩片の伸長方向
R₁ : Yに対してPとは反対方向
に斜交し、Pを切断・屈曲
させる面。矢印は変位方向。

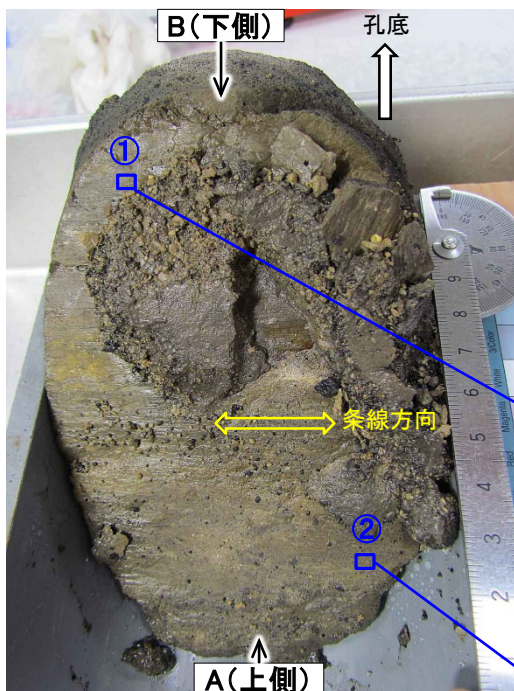
複合面構造から判定される変位センス

金川(2011)⁵⁾を左右反転

- IT-33孔の深度98.37mの断層面上に横ずれセンスを示す明瞭な条線が認められる。
- 実体顕微鏡観察によるコメットマーク及びCT画像による複合面構造は、どちらも右横ずれセンスを示す。
- 位置、方向性及び変位センスがsF-1断層にほぼ一致することから、この断層面はsF-1断層の延長部と考えられる。

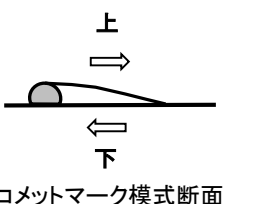
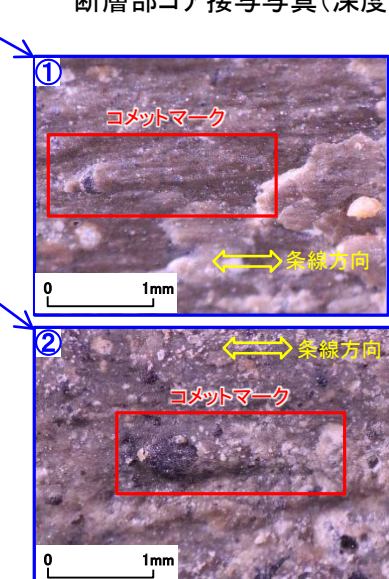
1.2 sF-1断層の性状(26/26)

sF-1断層の南方延長部(2/2) : IT-33孔(2/2)(解釈線なし)



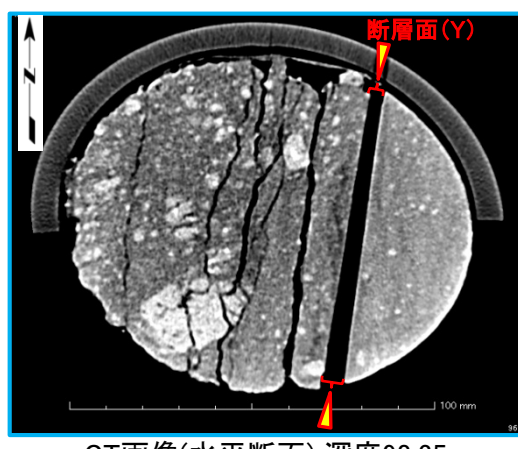
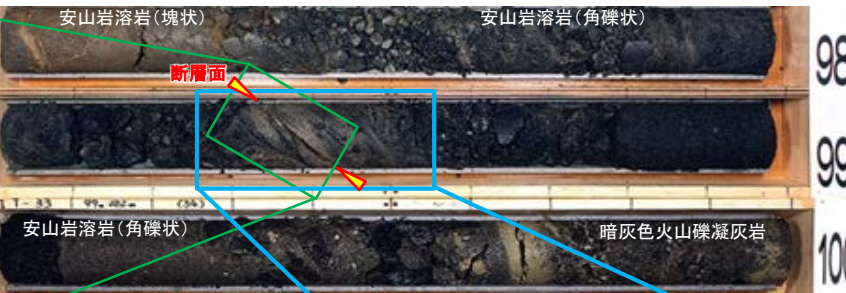
断層面の下盤上面の接写写真

横ずれセンスを示す明瞭な条線が認められる

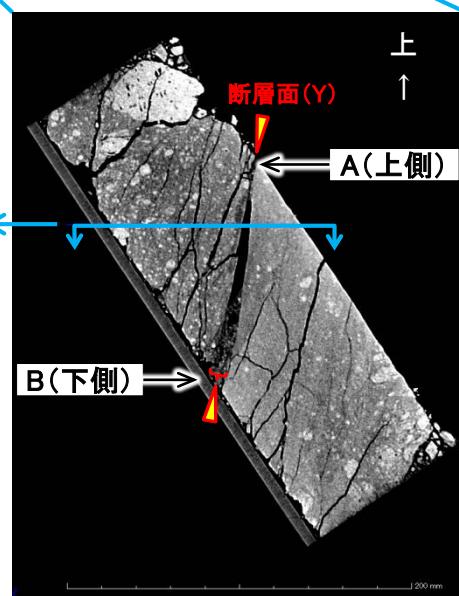
注) IT-33孔の実施位置については
本編資料P.2-22参照。

上記の形状を示す場合は、
上盤側が右に動くせん断
センスを示す。

コア写真(深度97m~100m)



CT画像(水平断面)深度98.35m

CT画像(鉛直断面:最大傾斜方向)
深度98.25m~98.55m

概要

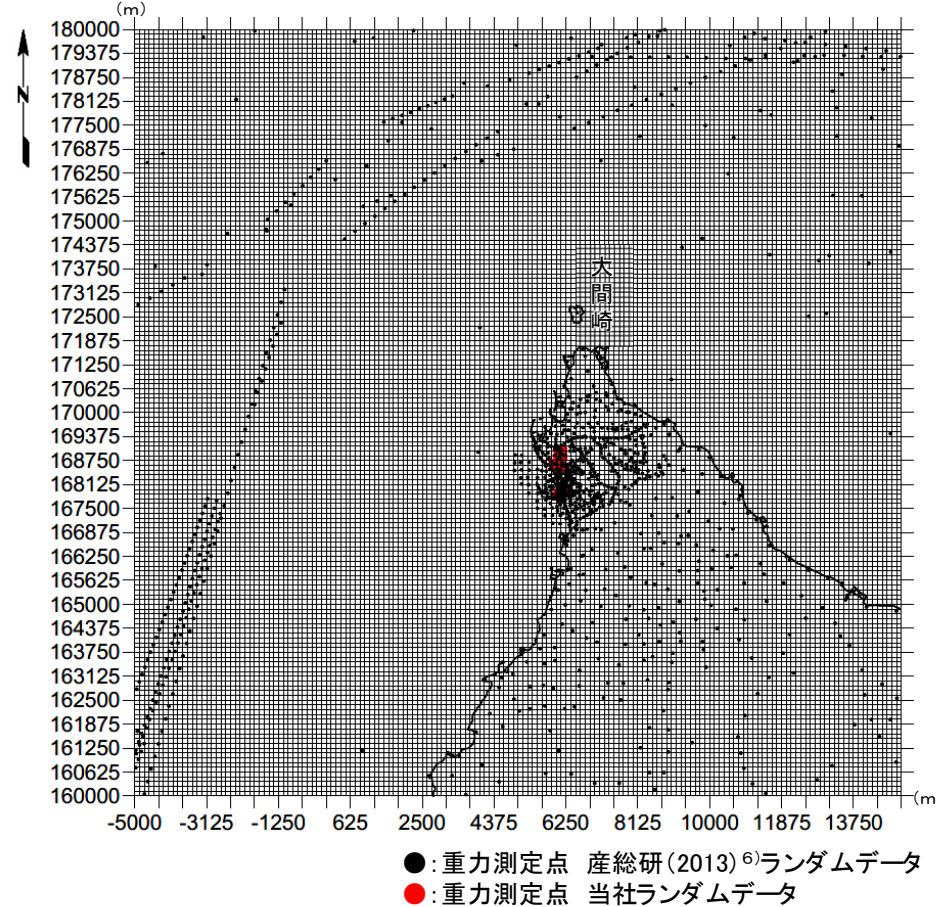
解析の種類	内容	解析条件
当社による 大間崎付近の詳細重力解析	大間崎付近を対象に、ブーゲー重力異常図、残差重力異常図及び一次微分図を作成し、大間崎付近に認められる高重力異常域の成因を評価する。	重力解析 ・データ：産総研(2013) ⁶⁾ ランダムデータ、 当社 ランダムデータ ・解析グリッド間隔：125m ・密度：補正密度 2.0g/cm ³ 基盤密度 2.4g/cm ³

1.3 重力探査(2/4)

第732回審査会合
資料2-2 P.1-34 一部修正



大間崎付近の詳細重力解析(1/3): 解析範囲及び測点位置



解析の範囲及び重力測点位置

(産総研(2013)⁶⁾ランダムデータ・当社ランダムデータ, 補正密度: 2.0g/cm³,
解析グリッド間隔: 125m, コンタ間隔: 1mGal)

当社は、下北半島北西端を対象に最新の産総研(2013)⁶⁾ランダムデータ及び当社のランダムデータを用いて詳細重力解析を行った。

1.3 重力探査(3/4)

第732回審査会合
資料2-2 P.1-35, 1-36 一部修正



大間崎付近の詳細重力解析(2/3): ブーゲー重力異常

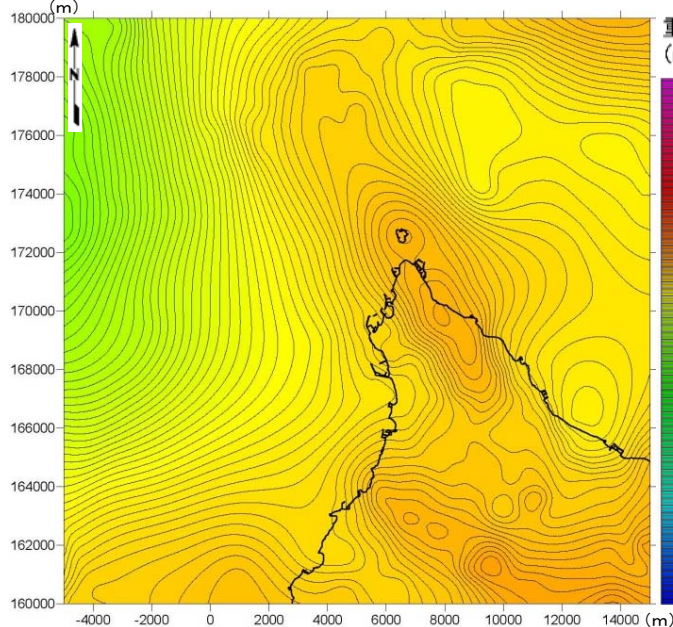


図1 ブーゲー重力異常図

(産総研(2013)⁶⁾ランダムデータ・当社ランダムデータ,
補正密度: 2.0g/cm³,
解析グリッド間隔: 125m, コンタ間隔: 1mGal)

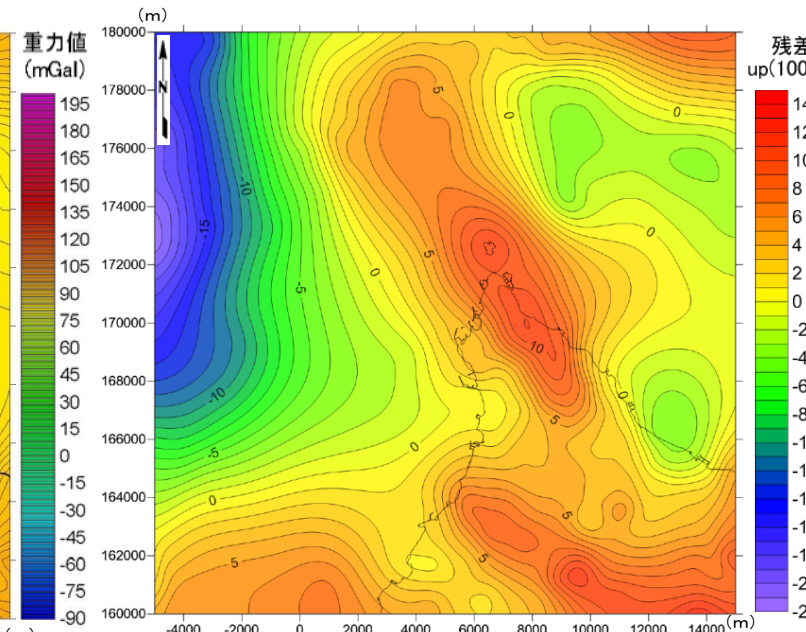


図2 残差重力異常図(100m～5km相当)

(産総研(2013)⁶⁾ランダムデータ・当社ランダムデータ,
補正密度: 2.0g/cm³,
解析グリッド間隔: 125m, コンタ間隔: 1mGal)

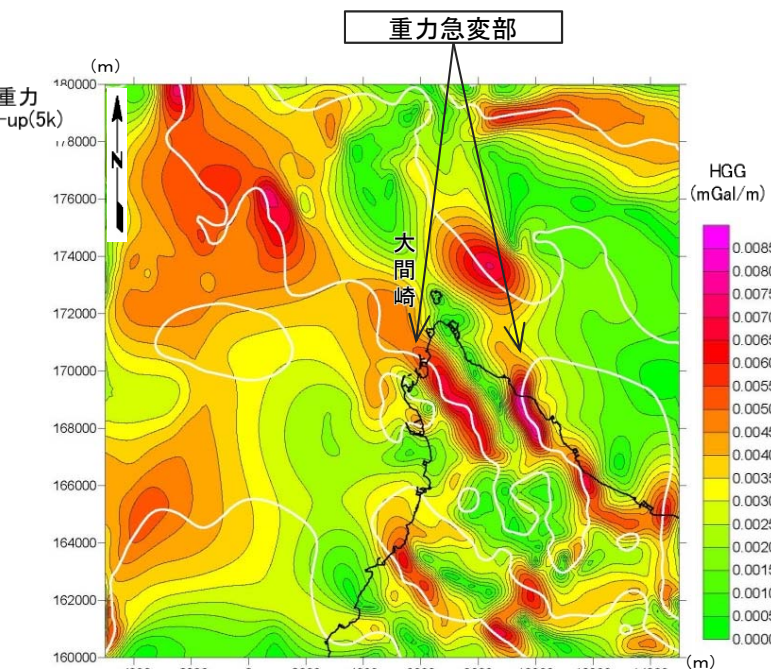


図3 水平一次微分と鉛直一次微分のゼロコンタ
との重ね合わせ図

(産総研(2013)⁶⁾ランダムデータ・当社ランダムデータ,
補正密度: 2.0g/cm³,
解析グリッド間隔: 125m, コンタ間隔: 0.0005mGal/m)

- 詳細重力解析により、敷地近傍陸域及び敷地前面海域では、図1のブーゲー重力異常図及び図2の残差重力異常図(100m～5km相当)に示す通り、北北西-南南東に延びる高重力異常域が認められる。
- また、図2の残差重力異常図から作成した図3の水平一次微分と鉛直一次微分のゼロコンタとの重ね合わせ図では、高重力域の東側及び西側に、北北西-南南東に延びる重力急変部が認められる。

1.3 重力探査(4/4)

大間崎付近の詳細重力解析(3/3): ブーゲー重力異常

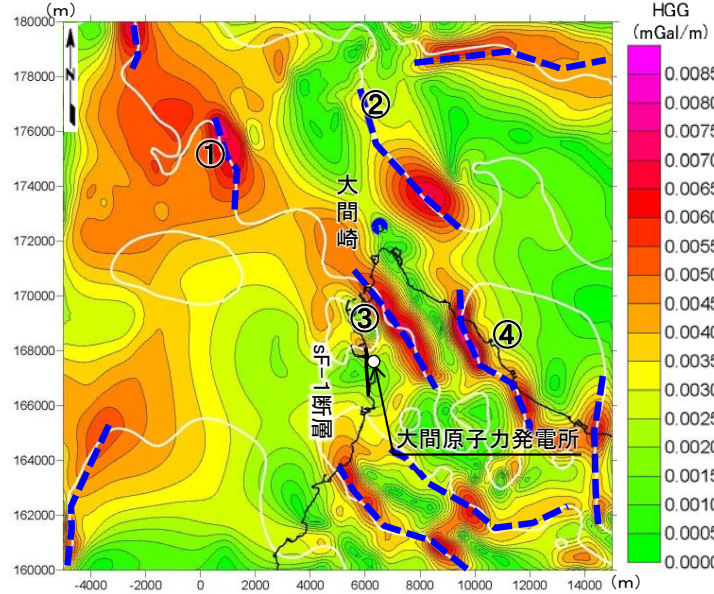


図1 水平一次微分と鉛直一次微分のゼロコンタとの重ね合わせ図

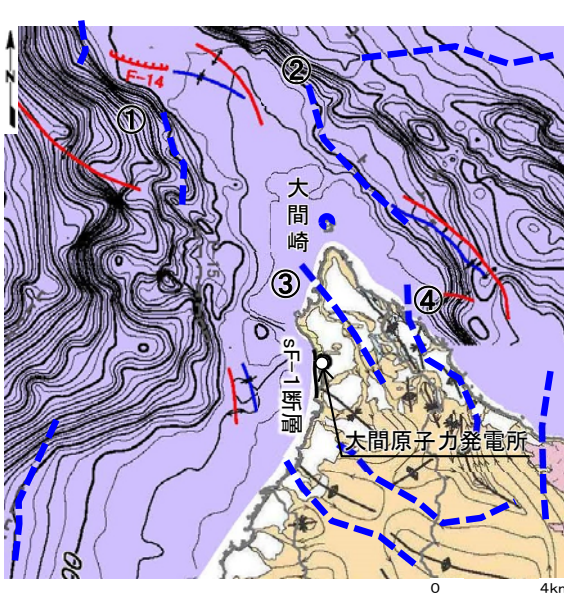


図2 音響基盤等深線図

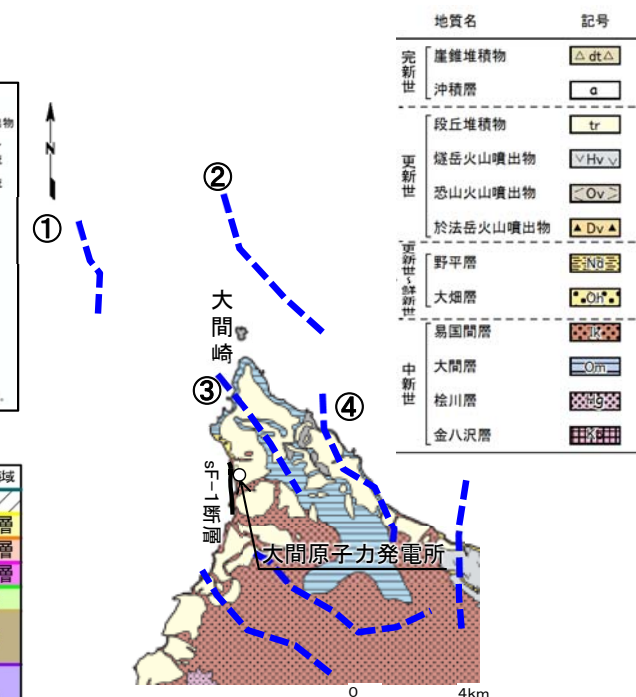
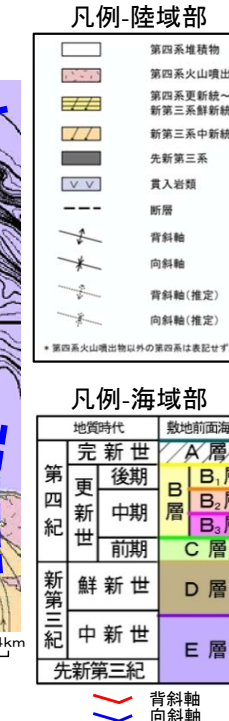


図3 下北半島西部の地質図

水平一次微分の頂部と鉛直一次微分の
ゼロコンタが重なる位置
(断層など地質構造の境界が示唆される)

- 図1に示す重力急変部①～④のうち、海域の①②は、図2の音響基盤等深線の遷急線に対応する。陸域の③は、図3の大間崎付近の背斜構造が発達する大間層分布域の西縁に、④は東縁に対応する。
- 重力急変部①～④は、いずれもNW-SE方向であり、sF-1断層のN-S～NNW-SSE方向とは異なること、sF-1断層の分布する敷地から離れていることから、断層など地下深部の地質構造の境界が示唆されるこれらの重力急変部は、sF-1断層の分布及び地質構造には関係しないと判断される。

1.4 大間層中の鍵層の認定の考え方(1/6)

コメントNo.S1-79

第893回審査会合
資料1-2 P.2-24 一部修正

大間層にはボーリング等による地層対比及び地質構造の把握に有用な鍵層が特徴的に分布する。これらの特徴は以下の通りである。

- 大間層には、酸性凝灰岩と軽石凝灰岩等から成る鍵層が、深度方向に一定の順序及び層間距離で分布し、側方に連続性良く分布する(補足説明資料P.2-42参照)。
- 連続性の良い鍵層は計28層であり、それぞれ上位から順に、酸性凝灰岩から成る鍵層はAT-1～25、軽石凝灰岩等から成る鍵層はPT-1～3である(補足説明資料P.2-43～P.2-45参照)。
- 各鍵層は一定の層厚を有し、コア観察で認識可能な特徴的な岩相(色調、粒径、堆積構造等)を示す(補足説明資料P.2-43～P.2-45参照)。特に酸性凝灰岩から成る鍵層の大半は層厚1m未満で薄いが、AT-8、16、17、22及び25は層厚数m以上と厚いことが特徴である。また、軽石凝灰岩等から成る鍵層のPT-1～3はおむね層厚5m以上と厚い。

以上により、層序、層厚及び岩相に基づき、各鍵層を相互に識別し、認定することが可能である。

1.4 大間層中の鍵層の認定の考え方(2/6)

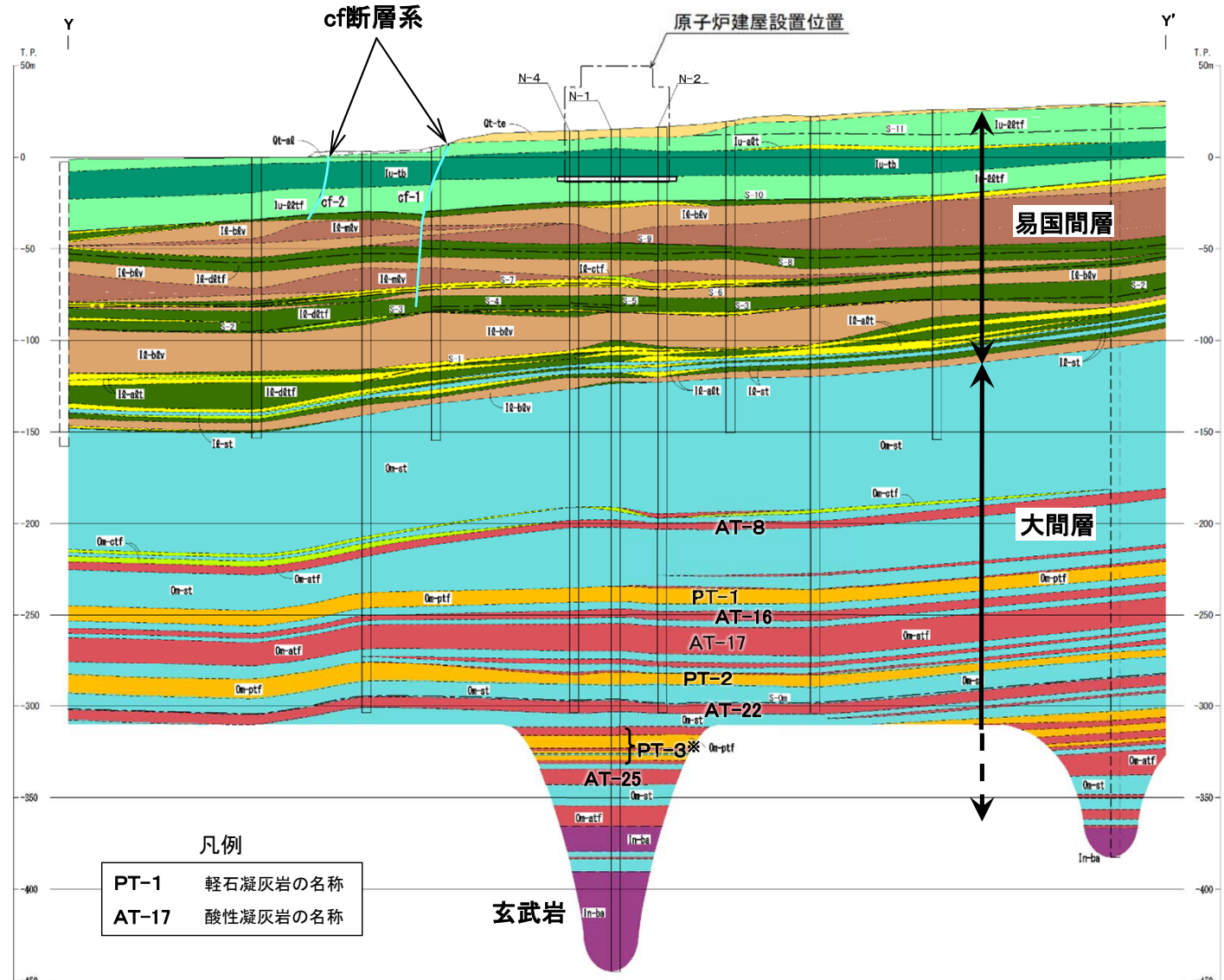
コメントNo.S1-79

第893回審査会合
資料1-2 P.2-25 一部修正

大間層中の鍵層分布(東西方向Y-Y'断面)

W

E



凡 例	
第四系	Qt-at 沖積層
	Qt-te 段丘堆積物、ローム、古砂丘堆積物
上部層	Iu-ktf 淡灰色火山礫凝灰岩
	Iu-ktf 細粒凝灰岩・粗粒凝灰岩互層
	Iu-tb 淡灰色火山礫凝灰岩互層
	Iu-st 凝灰角礫岩
	Iu-ctf 粗粒凝灰岩
	Iu-dtf 暗灰色火山礫凝灰岩
	Iu-btv 安山岩溶岩(角礫状)
	Iu-mtv 安山岩溶岩(塊状)
	Iu-st シルト岩
	Iu-ctf 細粒凝灰岩・粗粒凝灰岩・暗灰色火山礫凝灰岩互層
	Iu-dtf 粗粒凝灰岩・暗灰色火山礫凝灰岩・シルト岩互層
下部層	
	Om-st シルト岩
	Om-ctf 粗粒凝灰岩
	Om-atf 酸性凝灰岩
	Om-ptf 軽石凝灰岩
大間層	
	In-ba 玄武岩
貫入岩	
地層境界	
地質境界	
cf-1 cf 断層系	
S-8 シーム	
試掘坑、補足調査坑	
ボーリング ボーリング(投影)	

0 100m

※: PT-3は主に軽石凝灰岩から成り、数枚の酸性凝灰岩とシルト岩を挟在する(補足説明資料P.2-45, 2-46参照)。

- 大間層には、酸性凝灰岩と軽石凝灰岩等から成る鍵層が分布する。N-1孔付近では、補足説明資料P.2-43～P.2-45に示すように、それぞれ上位から順に、酸性凝灰岩から成る鍵層のAT-1～25等及び軽石凝灰岩等から成る鍵層のPT-1～3が分布する。
- 酸性凝灰岩から成る鍵層は大半が層厚1m未満であるが、AT-8, 16, 17, 22及び25は層厚数m以上で厚い。軽石凝灰岩等から成る鍵層のPT-1～3はおおむね層厚5m以上である。Y-Y'断面に示すように、各鍵層は側方に連続性良好に分布する。
- 鍵層AT-22は、層厚が約4m～約7mで厚く、特徴的な軽石凝灰岩等のPT-2とPT-3(補足説明資料P.2-58～P.2-67参照)との間に分布することから、層序的に他の酸性凝灰岩とは明瞭に区別できる。

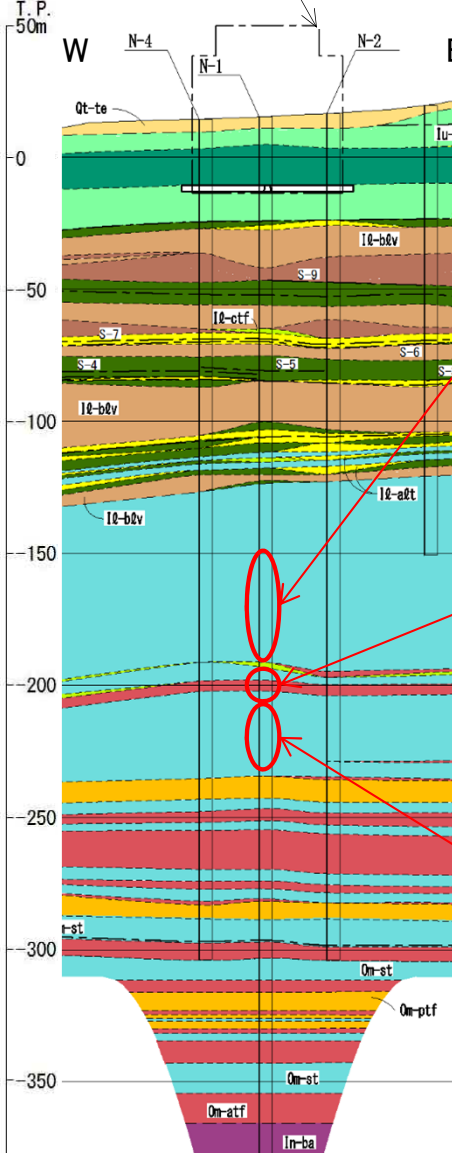
1.4 大間層中の鍵層の認定の考え方(3/6)

コメントNo.S1-79

第893回審査会合
資料1-2 P.2-26 一部修正

大間層中の鍵層一覧表(1/3): N-1孔

原子炉建屋設置位置



鍵層名	地質区分	層厚(m)	上位の鍵層からの距離(m)	鍵層写真(コア1m区間)	特徴
AT-1	atf	0.08	-	AT-1	上半部は黄灰色の酸性凝灰岩でシルト岩と入り組んでいる。下部は灰色の酸性凝灰岩～粗粒凝灰岩から成る。
AT-2	atf	0.04	21.88	AT-2	やや黄色を帯び、バイオターベイションが発達する。
AT-3	atf	0.32	1.62	AT-3	下部に平行葉理が発達する。AT-3は下位のAT-4～7との組合せで出現することが多い。
AT-4	atf	0.19	1.65	AT-4	AT-4はAT-5との組合せとして近接して分布する。AT-5は下部に軽石粒を含む。AT-4, 5は上位のAT-3, 下位のAT-6, 7との組合せで出現することが多い。
AT-5	atf	0.15	0.17	AT-5	
AT-6	atf	0.69	5.19	AT-6	平行葉理がよく発達する。下部に軽石粒を含む。AT-6は上位のAT-3～5, 下位のAT-7との組合せで出現することが多い。
AT-7	atf	0.09	13.28	AT-7	生痕化石があることが多い。AT-7は上位のAT-3～6との組合せで出現することが多い。
AT-8	atf/ctf/st	3.53	12.85	AT-8	直上にシルト岩を偽礫状に取り込む黒色の暗灰色火山礫凝灰岩が分布し、厚い白灰色の酸性凝灰岩で平行葉理が発達する。中間部に数10cm厚のシルト岩と、その直上の数cm～数10cm厚の灰色の粗粒凝灰岩を挟む。
AT-9	atf	0.28	1.70	AT-9	AT-8より1m～2m程下位にある厚さ数10cmの酸性凝灰岩から成る。
AT-10	atf	0.47	9.95	AT-10	厚さ数10cmの酸性凝灰岩から成る。細かい軽石粒を含む。シルト岩の偽礫を含むことが多い。バイオターベイションがある。
AT-11	atf	0.15	5.25	AT-11	AT-12の約2m上位の細かい軽石粒を含む酸性凝灰岩から成る。シルト岩の偽礫を含む。バイオターベイションがある。
AT-12	atf	0.58	1.80	AT-12	軽石を含み、正級化層理、平行葉理が発達する。バイオターベイションがある。
AT-13	atf	0.39	1.72	AT-13	
AT-14	atf	0.06	2.61	AT-14	
AT-15	atf	0.04	0.44	AT-15	比較的厚い数10cm～数m厚の酸性凝灰岩があまり間隔を空げずに3枚ある。

atf:酸性凝灰岩, ctf:粗粒凝灰岩, st:シルト岩

- 大間層の上部には、比較的薄い酸性凝灰岩から成る鍵層のAT-1～15が分布する。
- このうち、AT-8は、層厚約4mと厚いが、その他は全て層厚1m未満である。

注1) 凡例は補足説明資料P.2-42参照。

注2) 断面図では厚さ1m未満の鍵層は非表示。

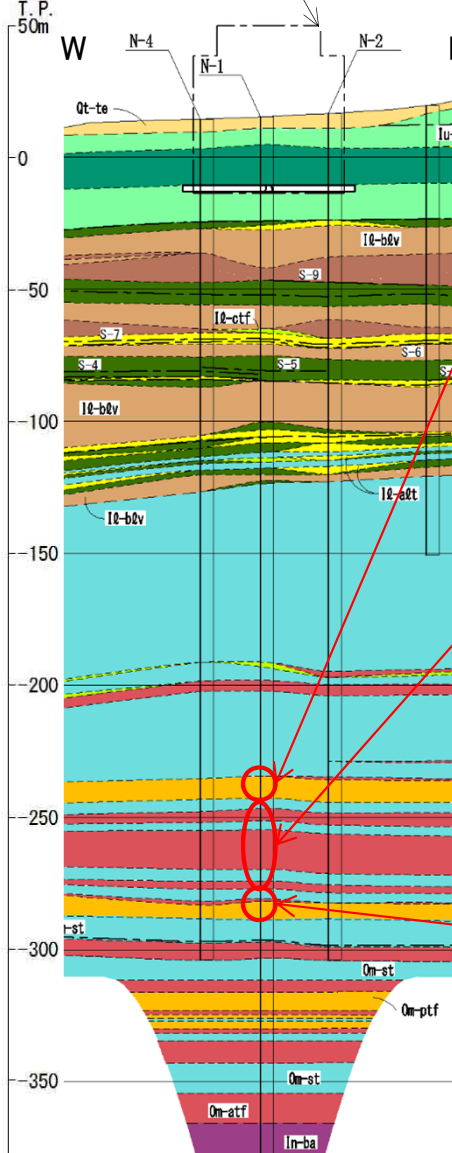
1.4 大間層中の鍵層の認定の考え方(4/6)

コメントNo.S1-79

第893回審査会合
資料1-2 P.2-27 一部修正

大間層中の鍵層一覧表(2/3): N-1孔

原子炉建屋設置位置



鍵層名	地質区分	層厚(m)	上位の鍵層からの距離(m)	鍵層写真 (コア1m区間)	特徴
PT-1	ptf	8.33	6.55	(この間省略) 	主に軽石凝灰岩から成り、基質支持であり、基質は暗緑灰色を呈する。スランピングによるシルト岩の偽礫を含む。軽石礫は、角がとれた粒子が粗いものが多く、石英粒子を伴う(軽石が卓越する部分の岩相については、補足説明資料P.2-46参照)。
AT-16	atf	4.57	3.85	(この間省略) 	弱い葉理がある。
AT-17	atf	15.12	3.50	(この間省略) 	全体にかなり均質で葉理が発達する。大間層で最も厚い酸性凝灰岩である。
AT-18	atf	0.54	0.86		シルト質部を含む。バイオターベイションがある。
AT-19	atf	0.47	2.73	AT-19 AT-20	平行葉理が発達。バイオターベイションがある。
AT-20	atf	0.70	0.37		バイオターベイションがある。
PT-2	ptf	6.97	6.25	(この間省略) 	主に軽石凝灰岩から成り、礫支持であり、スランピングによるシルト岩の偽礫を含む。軽石礫は、淘汰が悪く、気泡が比較的少なく均質なものが多い(軽石が卓越する部分の岩相については、補足説明資料P.2-46参照)。

atf:酸性凝灰岩, ptf:軽石凝灰岩

- AT-15の下位の大間層の中間に、軽石凝灰岩から成る鍵層のPT-1, 2、及び酸性凝灰岩から成る鍵層のAT-16～20が分布する。
- PT-1は、主に軽石凝灰岩から成り、基質支持であり、基質は暗緑灰色を呈する。スランピングによるシルト岩の偽礫を含む。軽石礫は、角がとれた粒子が粗いものが多く、石英粒子を伴うことを特徴とする。
- PT-2は、主に軽石凝灰岩から成り、PT-1とは異なり礫支持であり、スランピングによるシルト岩の偽礫を含む。軽石礫は、淘汰が悪く、気泡が比較的少なく均質なものが多いのが特徴である。

注1) 凡例は補足説明資料P.2-42参照。

注2) 断面図では厚さ1m未満の鍵層は非表示。

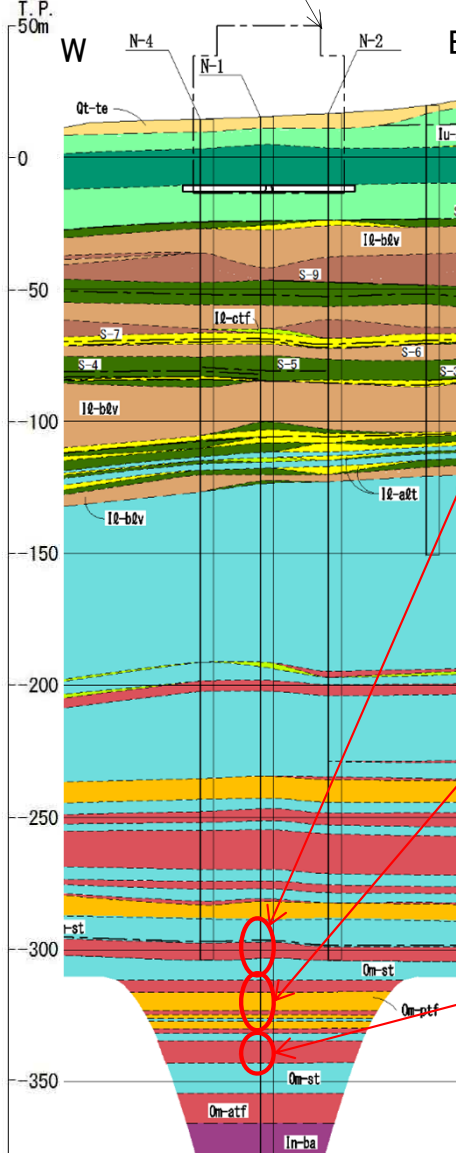
1.4 大間層中の鍵層の認定の考え方(5/6)

コメントNo.S1-79

第893回審査会合
資料1-2 P.2-28 一部修正

大間層中の鍵層一覧表(3/3):N-1孔

原子炉建屋設置位置



鍵層名	地質区分	層厚(m)	上位の鍵層からの距離(m)	鍵層写真(コア1m区間)	特徴
AT-21	ptf	0.87	3.79	AT-21	軽石粒を含み、平行葉理が発達する。バイオターベイションがある。
AT-22	atf	6.19	3.84	AT-22 (この間省略)	酸性凝灰岩とシルト岩との数mm～数cm間隔の細互層から成る厚い酸性凝灰岩である。
AT-23	atf	0.17	0.70	AT-23	わずかに葉理のある薄い酸性凝灰岩から成る。
AT-24	atf/st	0.87	1.46	AT-24	数mm～数cm厚のシルト岩を挟み層理構造が発達する。バイオターベイションがある。
PT-3	ptf/atf/st	20.28	5.14	PT-3 (この間省略) (この間省略)	主に軽石凝灰岩から成り、上部には酸性凝灰岩との互層を成す部分。中部には酸性凝灰岩及びシルト岩と互層を成す部分。下部にはスランピングによるシルト岩の偽礫を頻繁に含む部分がある。軽石凝灰岩は、軽石の量や粒度が層準により変化し、全体的に淡緑色を呈し、平行葉理が発達する部分がある。軽石礫は、扁平なものが多い(軽石が卓越する部分の岩相については、補足説明資料P-2-46参照)。
AT-25	atf	7.41	3.31	AT-25 (この間省略)	葉理の発達した厚い酸性凝灰岩から成る。シルト質な部分を含む。

atf:酸性凝灰岩, ptf:軽石凝灰岩, st:シルト岩

- PT-2の下位の大間層の下部には、軽石凝灰岩等から成る鍵層のPT-3、及び酸性凝灰岩から成る鍵層のAT-21～25が分布する。
- 鍵層AT-22は、層厚が約4m～約7mで厚く、特徴的な軽石凝灰岩等のPT-2とPT-3(補足説明資料P-2-58～P-2-67参照)との間に分布することから、層序的にも他の酸性凝灰岩とは明瞭に区別できる。
- PT-3は主に軽石凝灰岩から成り、上部には酸性凝灰岩との互層を成す部分、中部には酸性凝灰岩及びシルト岩と互層を成す部分、下部にはスランピングによるシルト岩の偽礫を頻繁に含む部分があるのが特徴である。軽石凝灰岩は、軽石の量や粒度が層準により変化し、全体的に淡緑色を呈し、平行葉理が発達する部分がある。軽石礫は、扁平なものが多い。

注1) 凡例は補足説明資料P-2-42参照。

注2) 断面図では厚さ1m未満の鍵層は非表示。

1.4 大間層中の鍵層の認定の考え方(6/6)

コメントNo.S1-79

第893回審査会合
資料1-2 P.2-29 再掲

PT-1～3(軽石凝灰岩等)の特徴:特に軽石卓越部の岩相

鍵層名	コア写真	岩相上の特徴
PT-1	 N-1孔 コア写真(深度253.5m～253.8m) 	PT-1の軽石凝灰岩は基質支持であり、基質は暗緑灰色を呈する。軽石礫は、角のとれた粒子が粗いものが多く、石英粒子(Φ数mm)を特徴的に含む。
PT-2	 N-1孔 コア写真(深度298.3m～298.6m) 	PT-2の軽石凝灰岩は礫支持である。軽石礫は、淘汰が悪く、気泡が比較的少なく均質なものが多々、石英粒子は認められない。
PT-3	 N-1孔 コア写真(深度333.2m～333.5m) 	PT-3の軽石凝灰岩は全体的に淡緑色を呈し、平行葉理が発達する部分がある。軽石礫は、扁平なものが多々、石英粒子は認められない。

軽石凝灰岩等から成る鍵層のPT-1～3は、色調、粒径、堆積構造等、コア観察で認識可能な特徴的な岩相を示し、明瞭に区別できる鍵層である。



(余白)

1.5 大間層中の鍵層の性状(1/20)



反射法地震探査統合解析及びボーリング調査によるsF-1断層の分布: 測線及びボーリング調査位置

コメントNo.S1-79

□ で示す箇所は、商業機密あるいは防護上の観点
から公開不可としているもので、白抜きとしてあります。

凡 例

- 反射法地震探査 EW測線(2013年)
- ベイケーブル B102測線(1998年)
- 統合解析断面線 (数字:CDP)
- 断面線沿いボーリング
(矢印は斜めボーリング)
- X X' 断面図位置
(本編資料P.2-33, 2-34参照)

- 反射法地震探査の測線近傍において掘削したボーリング位置を示す。
- 深度断面図上で鍵層AT-22の上・下位の軽石凝灰岩等から成るPT-2及びPT-3を確認したボーリング孔のPT-2及びPT-3の性状を補足説明資料P.2-49～P.2-52に、鍵層AT-22, PT-2及びPT-3を確認したボーリング孔の地質柱状図及びコア写真を補足説明資料P.2-53～P.2-67に示す。

注1) 断層の分布はT.P.-14mにおける位置。

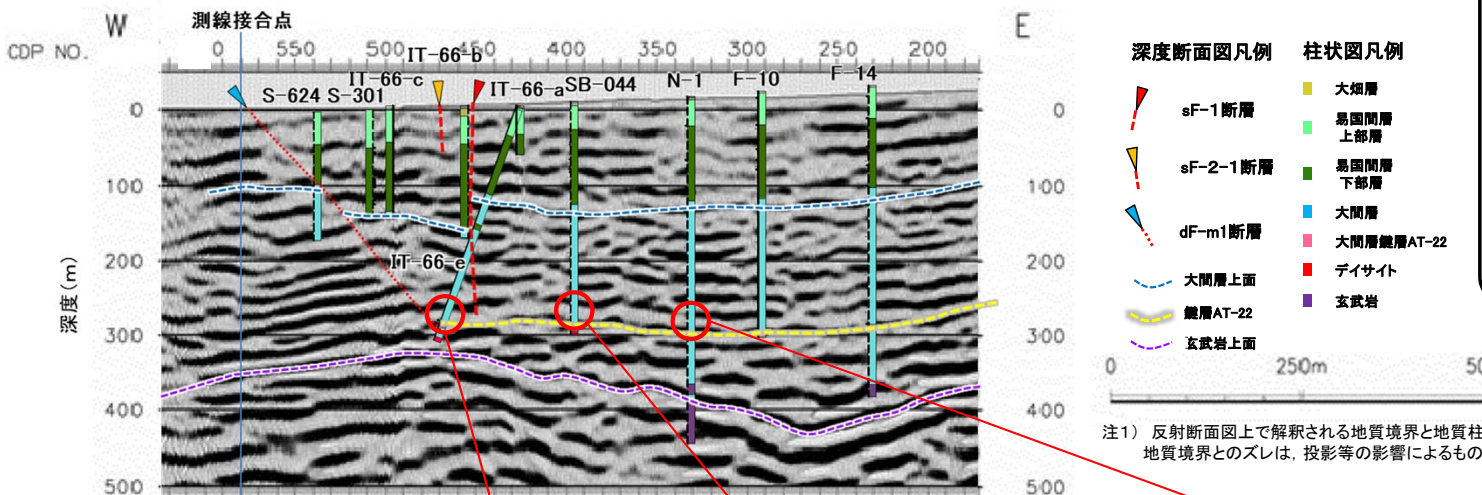
注2) 海域のdF断層系の断層については、個別の断層名を区別せずに扱うが、識別する必要がある場合を踏まえ、断層名をdF-m1及びdF-m2断層として記載する。

1.5 大間層中の鍵層の性状(2/20)

コメントNo.S1-79

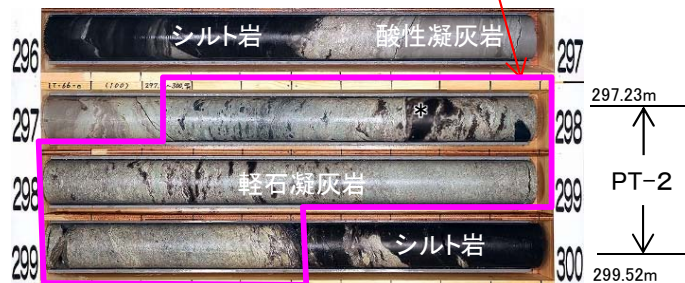


PT-2(軽石凝灰岩)の性状(1/2)

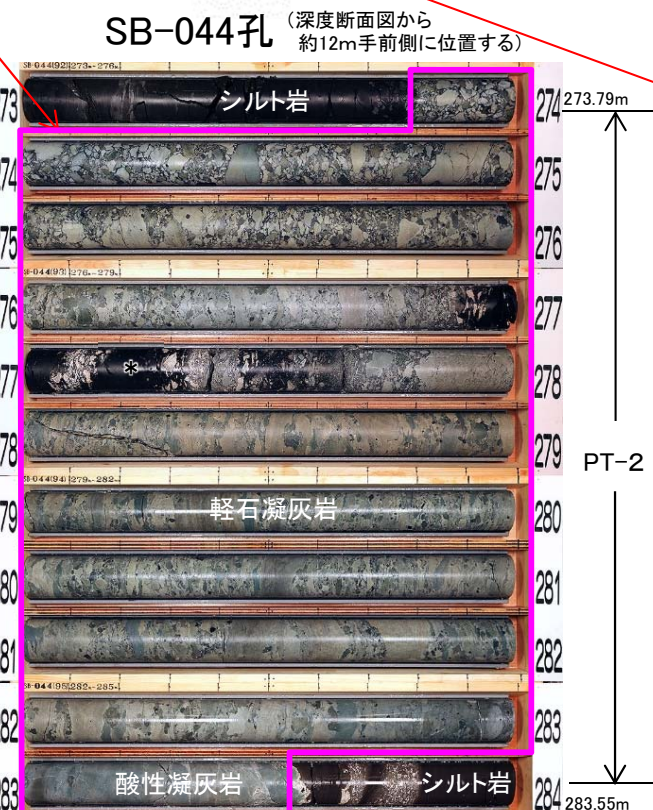


SB-044孔 (深度断面図から約12m手前側に位置する)

IT-66-e孔 (深度断面図から約12m奥側に位置する)



注3) IT-66-e孔のPT-2にはシルト岩の偽礫が多く含まれ、PT-2の上位では、所々、シルト岩のレンズ状～ブロック状が認められることから、PT-2はスランピングにより厚さが薄くなっていると考えられる。



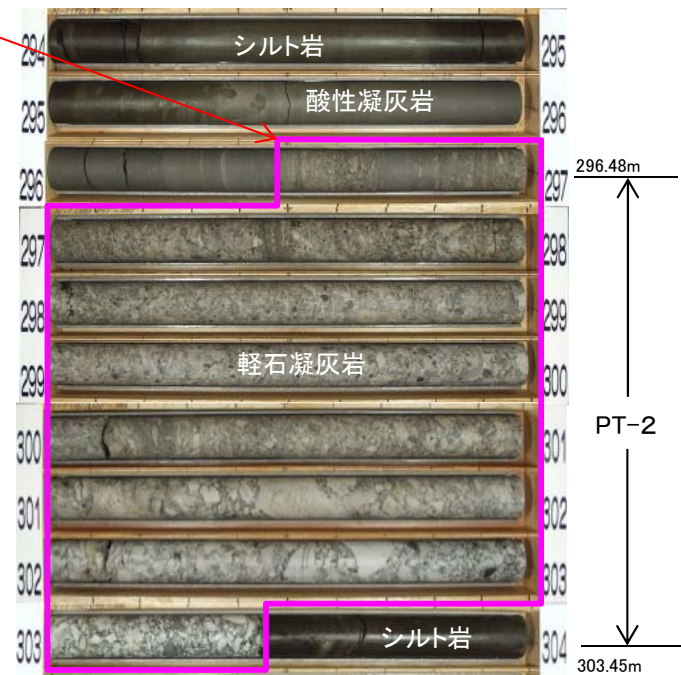
- 軽石凝灰岩のPT-2は、主に軽石凝灰岩から成り、一部に酸性凝灰岩を挟む。スランピングによるシルト岩の偽礫を含み、軽石礫は、淘汰が悪く、気泡が比較的少なく均質なものが多いことを特徴とする。
- PT-2は、深度断面図上のボーリング間で層厚が約2m～約10mと変化するが、他の軽石凝灰岩や酸性凝灰岩とは岩相上の特徴から明瞭に区別でき、連続性良好に分布する。

注2) 海域のdF断層系の断層については、個別の断層名を区別せずに扱うが、識別する必要がある場合を踏まえ、断層名をdF-m1断層として記載する。

PT-2(軽石凝灰岩)

* シルト岩の偽礫

N-1孔 (深度断面図から約51m手前側に位置する)



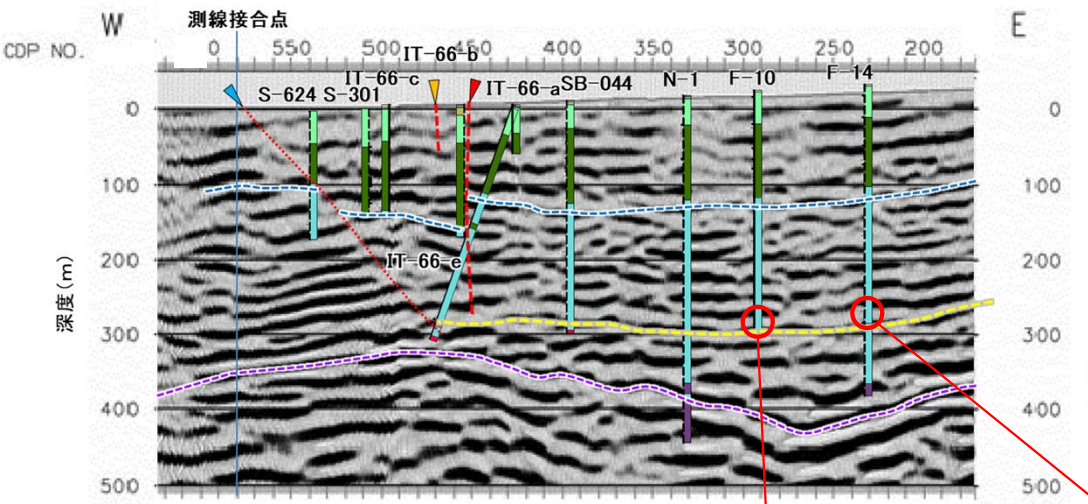
注4) 各孔の地質柱状図は補足説明資料P.2-58～P.2-61を参照、全区間の地質柱状図及びコア写真は、机上配布資料参照。

1.5 大間層中の鍵層の性状(3/20)

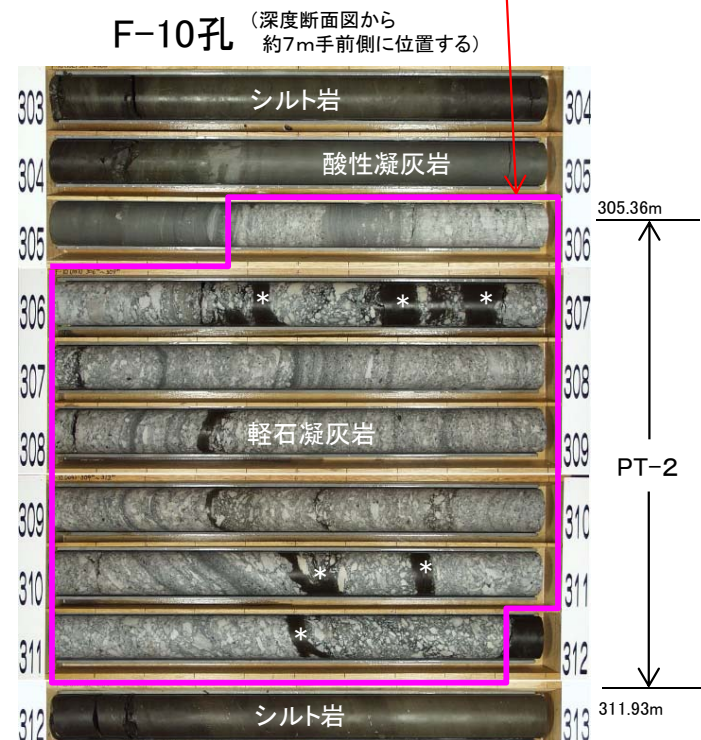
コメントNo.S1-79



PT-2(軽石凝灰岩)の性状(2/2)



深度断面図(白黒解釈図、ボーリング柱状図表示)

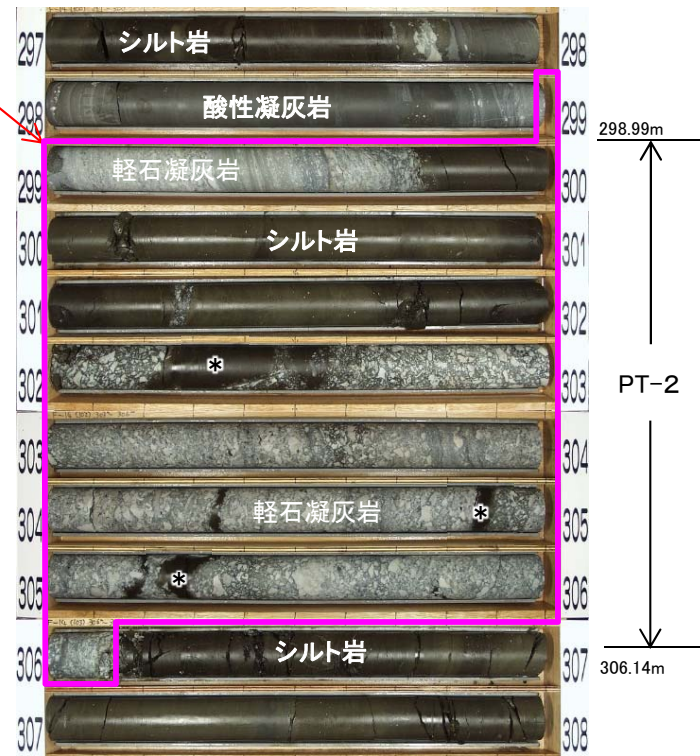


- 軽石凝灰岩のPT-2は、主に軽石凝灰岩から成り、一部に酸性凝灰岩を挟む。スランピングによるシルト岩の偽礫を含み、軽石礫は、淘汰が悪く、気泡が比較的少なく均質なものが多いことを特徴とする。
 - PT-2は、深度断面図上のボーリング間で層厚が約2m～約10mと変化するが、他の軽石凝灰岩や酸性凝灰岩とは岩相上の特徴から明瞭に区別でき、連続性良く分布する。
- 注2) 海域のdF断層系の断層については、個別の断層名を区別せずに扱うが、識別する必要がある場合を踏まえ、断層名をdF-m1断層として記載する。

PT-2(軽石凝灰岩)

* シルト岩の偽礫

F-14孔 (深度断面図から約44m奥側に位置する)



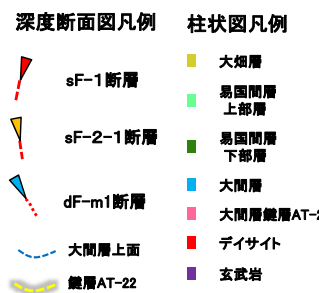
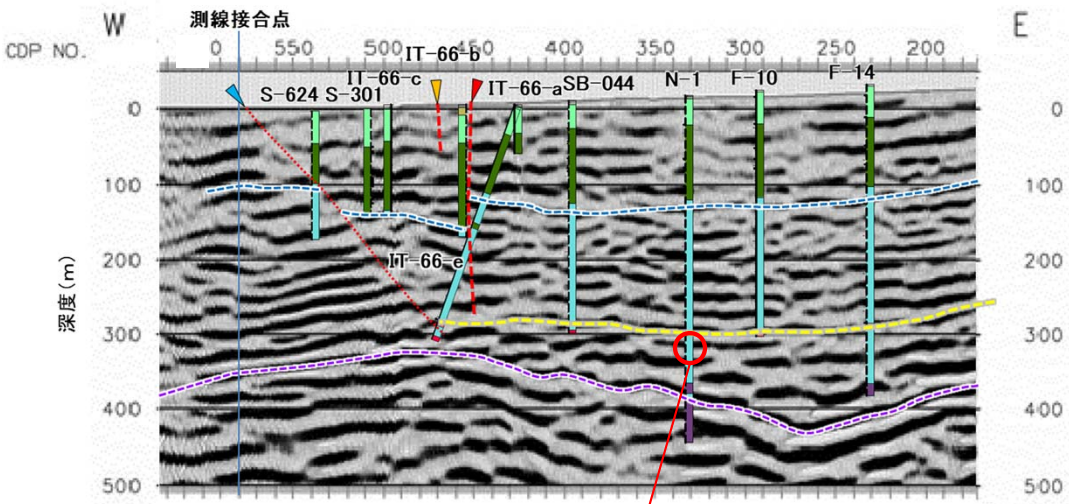
注3) 各孔の地質柱状図は補足説明資料P.2-62～P.2-64を参照。全区間の地質柱状図及びコア写真は、机上配布資料参照。

1.5 大間層中の鍵層の性状(4/20)

コメントNo.S1-79



PT-3(軽石凝灰岩等)の性状(1/2)

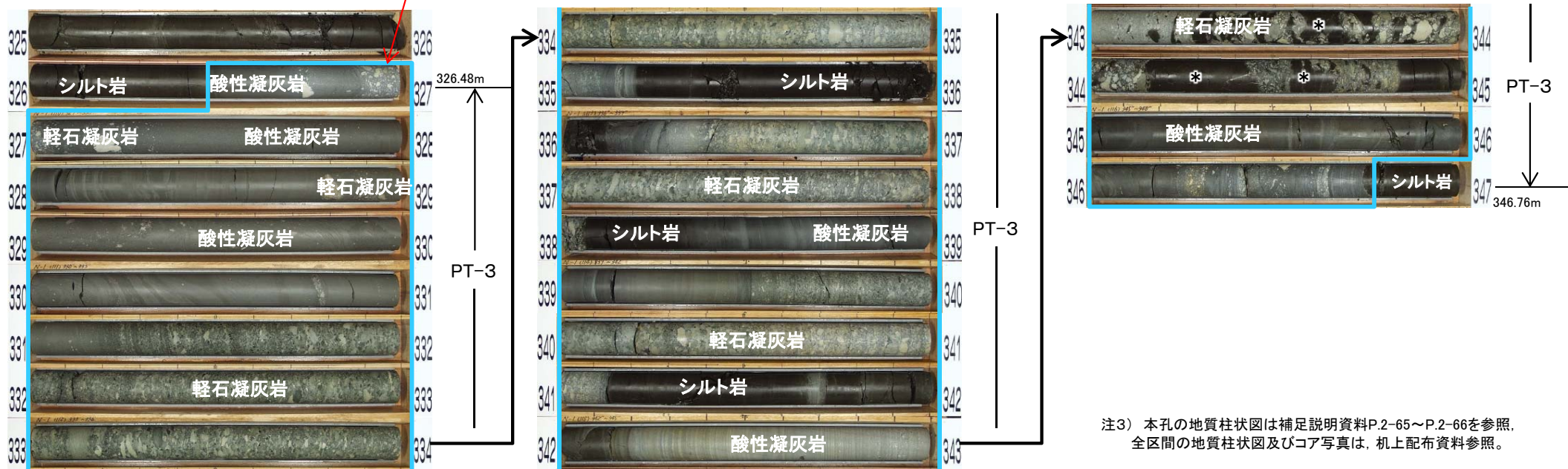


- 軽石凝灰岩等のPT-3は、主に軽石凝灰岩から成り、酸性凝灰岩及びシルト岩と互層を成す部分がある。軽石の量や粒度が層準により変化し、下部に数枚のシルト岩層を挟在し、スランピングによるシルト岩の偽礫を含むことを特徴とする。
- PT-3は、深度断面図上のボーリング間で層厚が約18m～約20mで、他の軽石凝灰岩や酸性凝灰岩とは岩相上の特徴から明瞭に区別でき、連続性良く分布する。

注2) 海域のdF断層系の断層については、個別の断層名を区別せずに扱うが、識別する必要がある場合を踏まえ、断層名をdF-m1断層として記載する。

深度断面図（白黒解釈図、ボーリング柱状図表示）

N-1孔 (深度断面図から
約51m手前側に位置する)

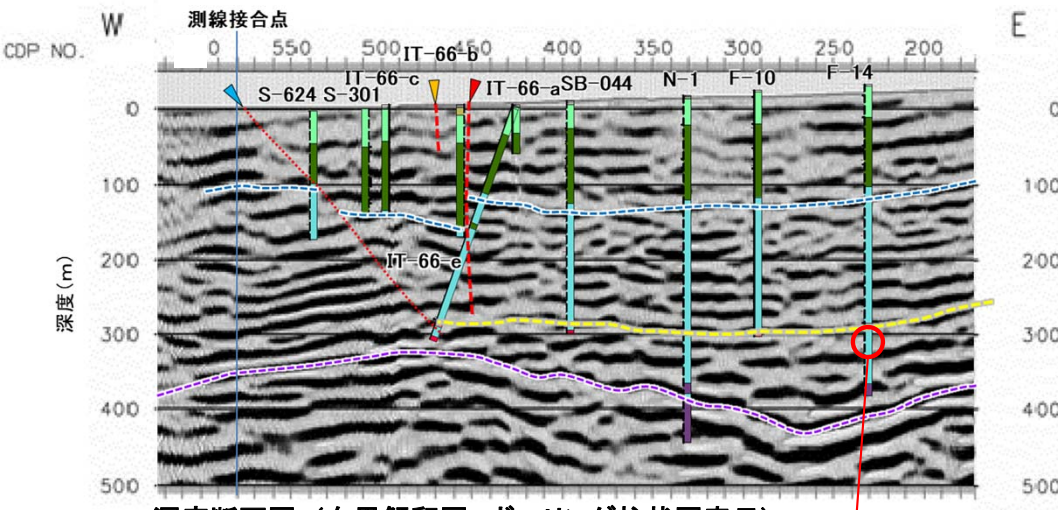


1.5 大間層中の鍵層の性状(5/20)

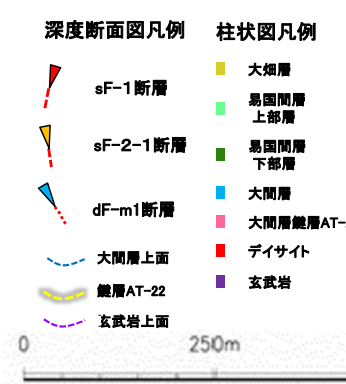
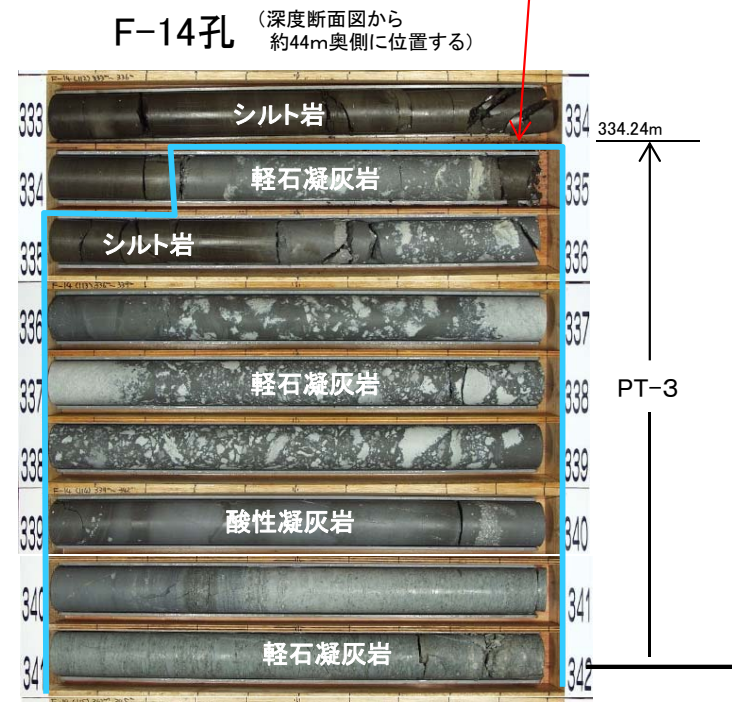
コメントNo.S1-79



PT-3(軽石凝灰岩等)の性状(2/2)



深度断面図 (白黒解釈図, ボーリング柱状図表示)



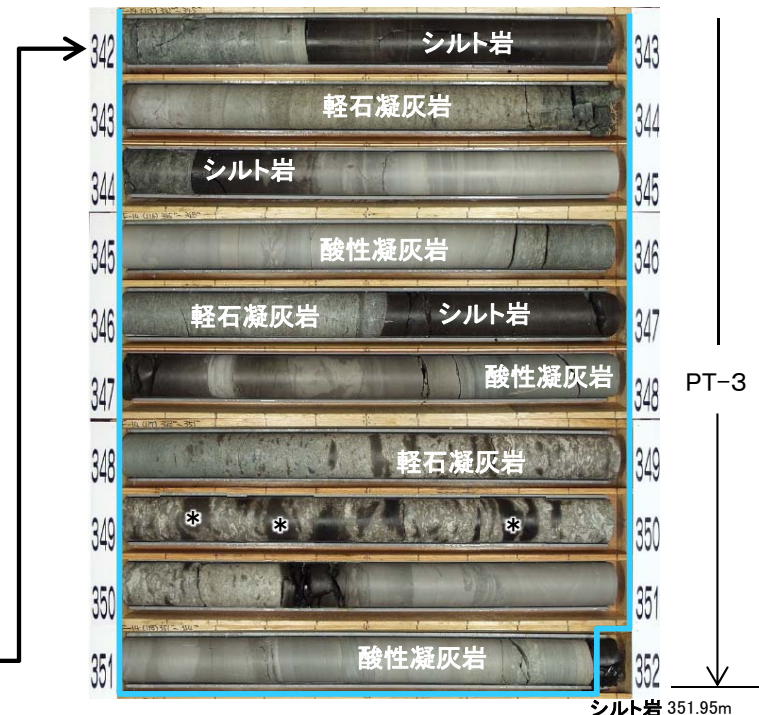
注1) 反射断面図上で解釈される地質境界と地質柱状図の
地質境界とのズレは、投影等の影響によるものである。

- 軽石凝灰岩等のPT-3は、主に軽石凝灰岩から成り、酸性凝灰岩及びシルト岩と互層を成す部分がある。軽石の量や粒度が層準により変化し、下部に数枚のシルト岩層を挟在し、スランピングによるシルト岩の偽礫を含むことを特徴とする。
- PT-3は、深度断面図上のボーリング間で層厚が約18m～約20mで、他の軽石凝灰岩や酸性凝灰岩とは岩相上の特徴から明瞭に区別でき、連続性良く分布する。

注2) 海域のdF断層系の断層については、個別の断層名を区別せずに扱うが、識別する
必要がある場合を踏まえ、断層名をdF-m1断層として記載する。

PT-3(軽石凝灰岩等)

* シルト岩の偽礫



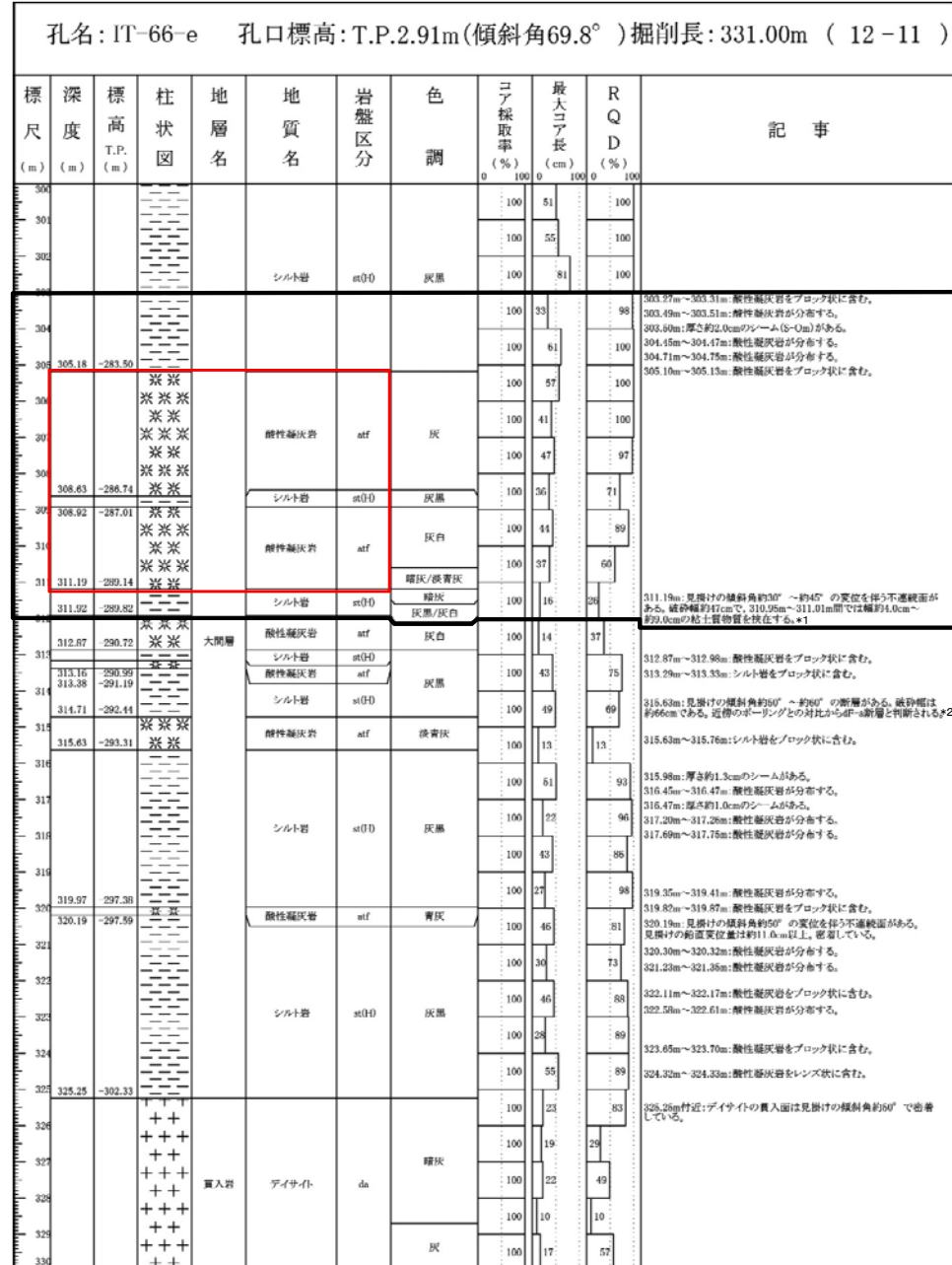
注3) 本孔の地質柱状図は補足説明資料P.2-67を参照、全区間の地質柱状図及びコア写真は、机上配布資料参照。

1.5 大間層中の鍵層の性状(6/20)

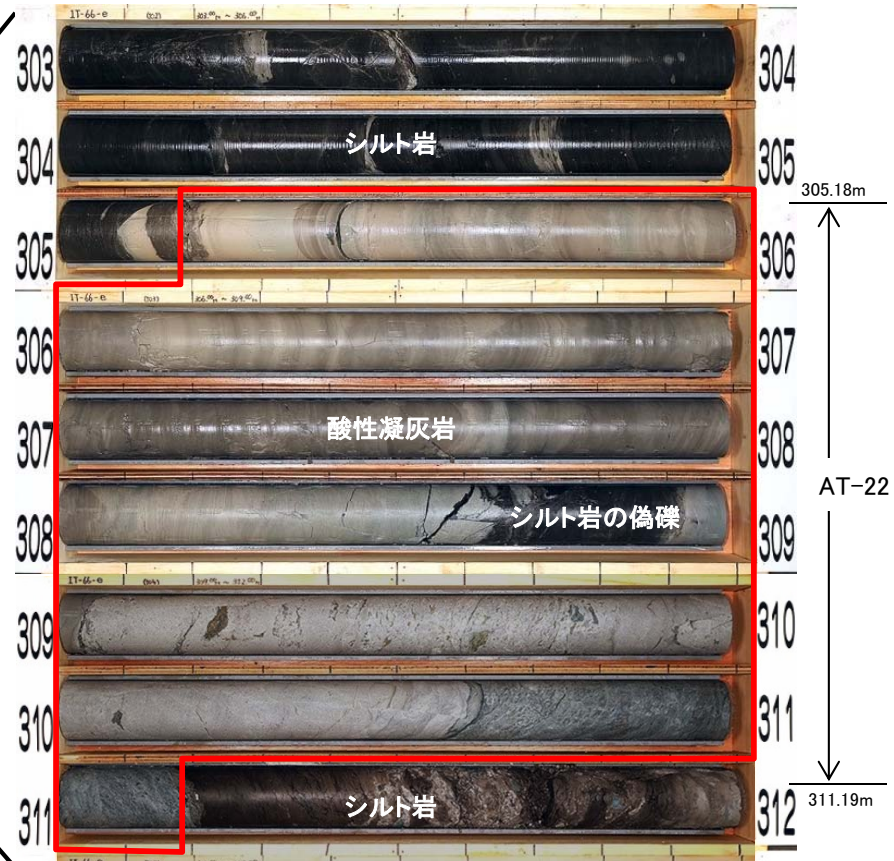
コメントNo.S1-79



鍵層AT-22(酸性凝灰岩)の地質柱状図及びコア写真(1/5) : IT-66-e孔



IT-66-e孔 地質柱状図(深度300m~330m)



IT-66-e孔 コア写真(深度303m~312m)

- IT-66-e孔の深度305.18m～311.19mに大間層中の鍵層AT-22が認められる。
- 鍵層AT-22は酸性凝灰岩とシルト岩の細互層から成り、層厚が約6mである。本孔のAT-22下部はシルト岩の挟みの少ない酸性凝灰岩から成り、一部にスランピングによるシルト岩の偽礫を含む。

*1: 深度311.19mの変位を伴う不連続面は、NW-SE走向、中角度の南傾斜であり、方向性がdF断層系及びsF断層系と異なること、近傍のSB-044孔との対比から変位量は小さいと考えられることから、変位を伴う不連続面と判断される。

*2: 柱状図記事欄の深度315.63mに記載している「dF-a断層」については、dF-m1断層に該当する。

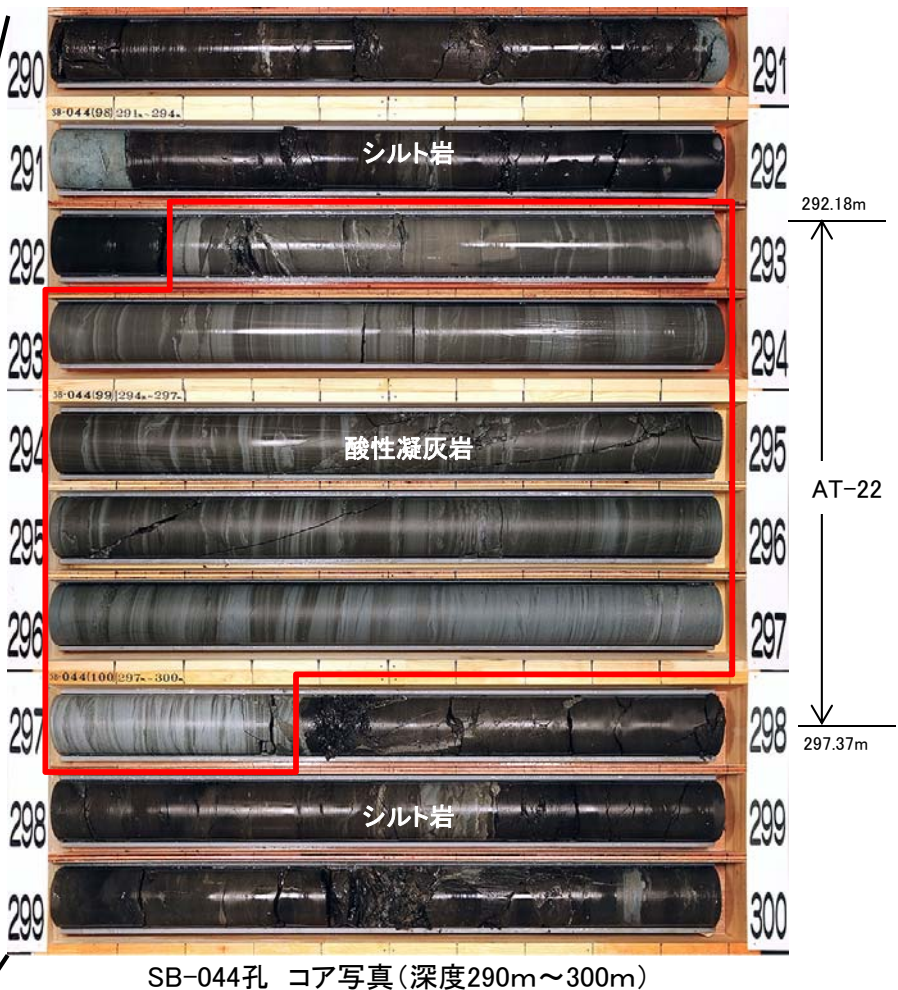
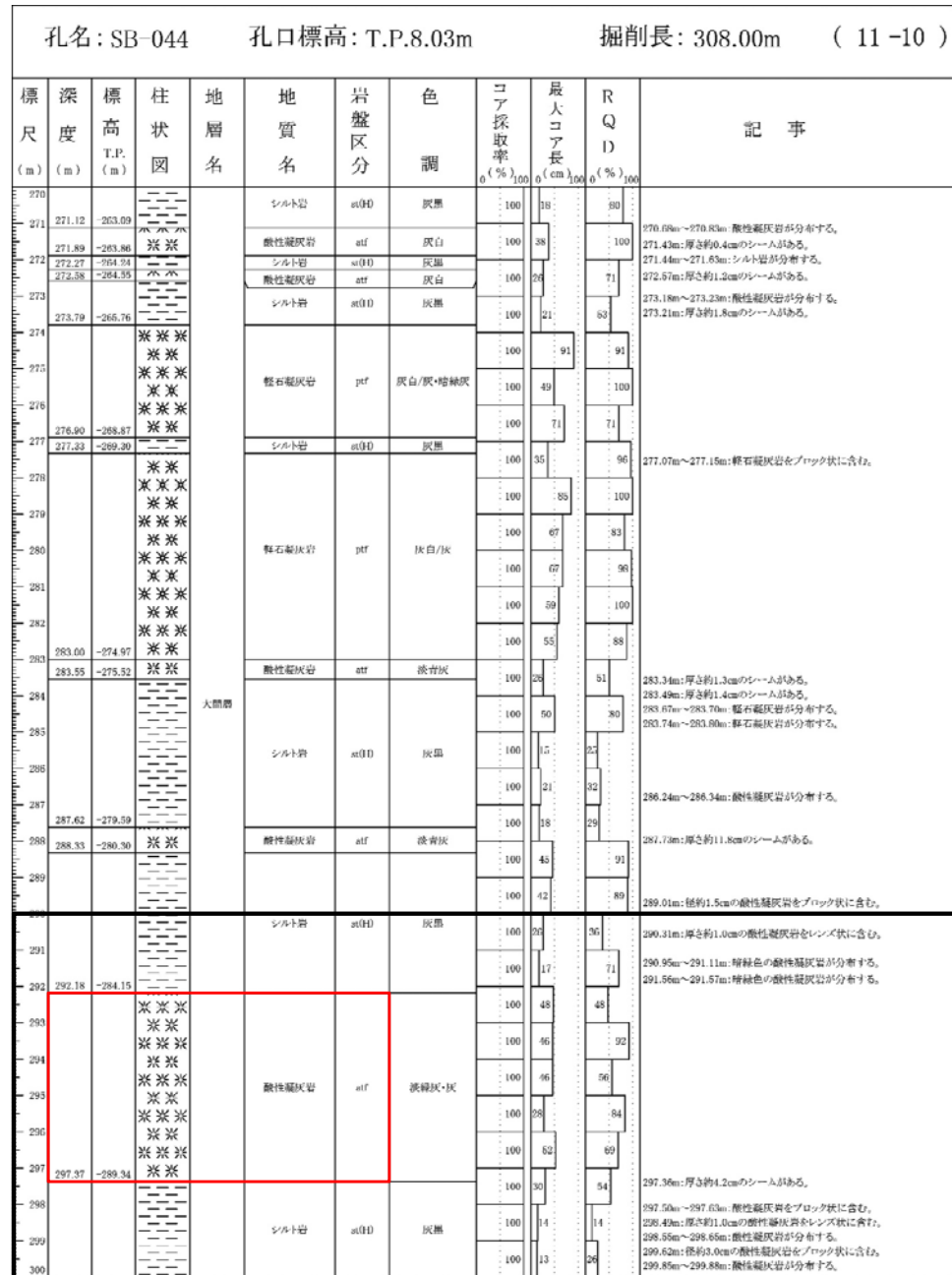
注) 本孔の全区間の地質柱状図及びコア写真は、机上配布資料参照。

1.5 大間層中の鍵層の性状(7/20)

コメントNo.S1-79



鍵層AT-22(酸性凝灰岩)の地質柱状図及びコア写真(2/5) : SB-044孔



- SB-044孔の深度292.18m～297.37mに大間層中の鍵層AT-22が認められる。
- 鍵層AT-22は酸性凝灰岩とシルト岩の細互層から成り、層厚が約5mである。

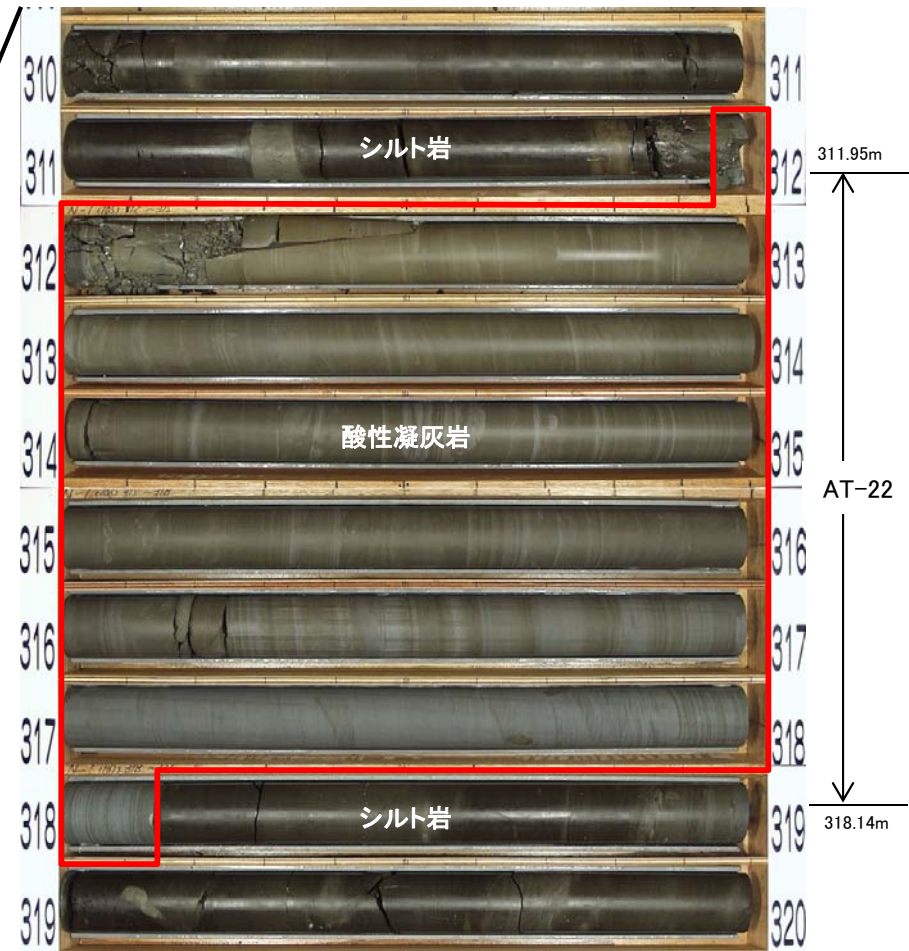
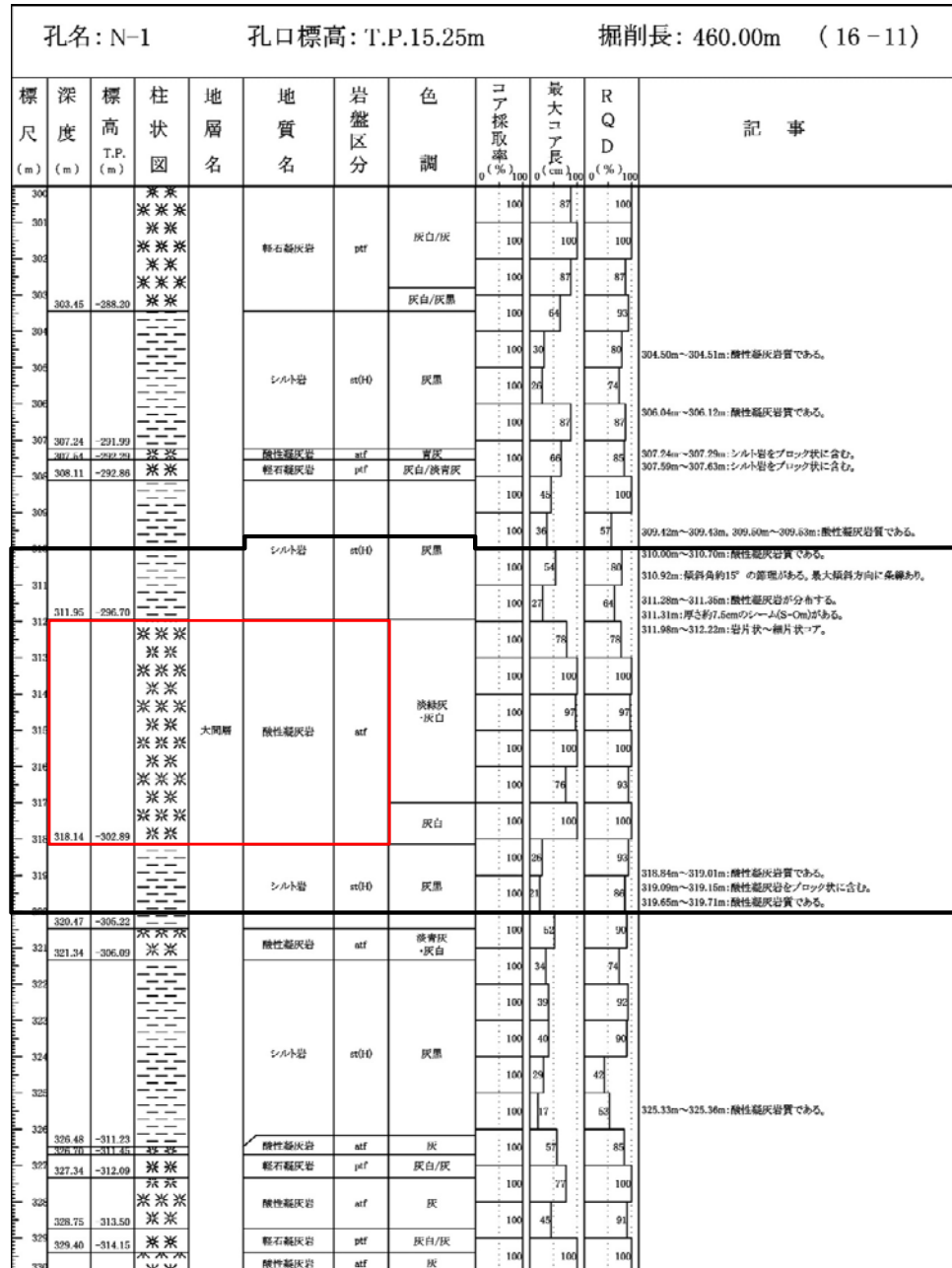
注) 本孔の全区間の地質柱状図及びコア写真は、机上配布資料参照。

1.5 大間層中の鍵層の性状(8/20)

コメントNo.S1-79



鍵層AT-22(酸性凝灰岩)の地質柱状図及びコア写真(3/5) : N-1孔



N-1孔 コア写真(深度310m~320m)

- N-1孔の深度311.95m~318.14mに大間層中の鍵層AT-22が認められる。
- 鍵層AT-22は酸性凝灰岩とシルト岩の細互層から成り、層厚が約6mである。本孔のAT-22下部はシルト岩の挟みの少ない酸性凝灰岩から成る。

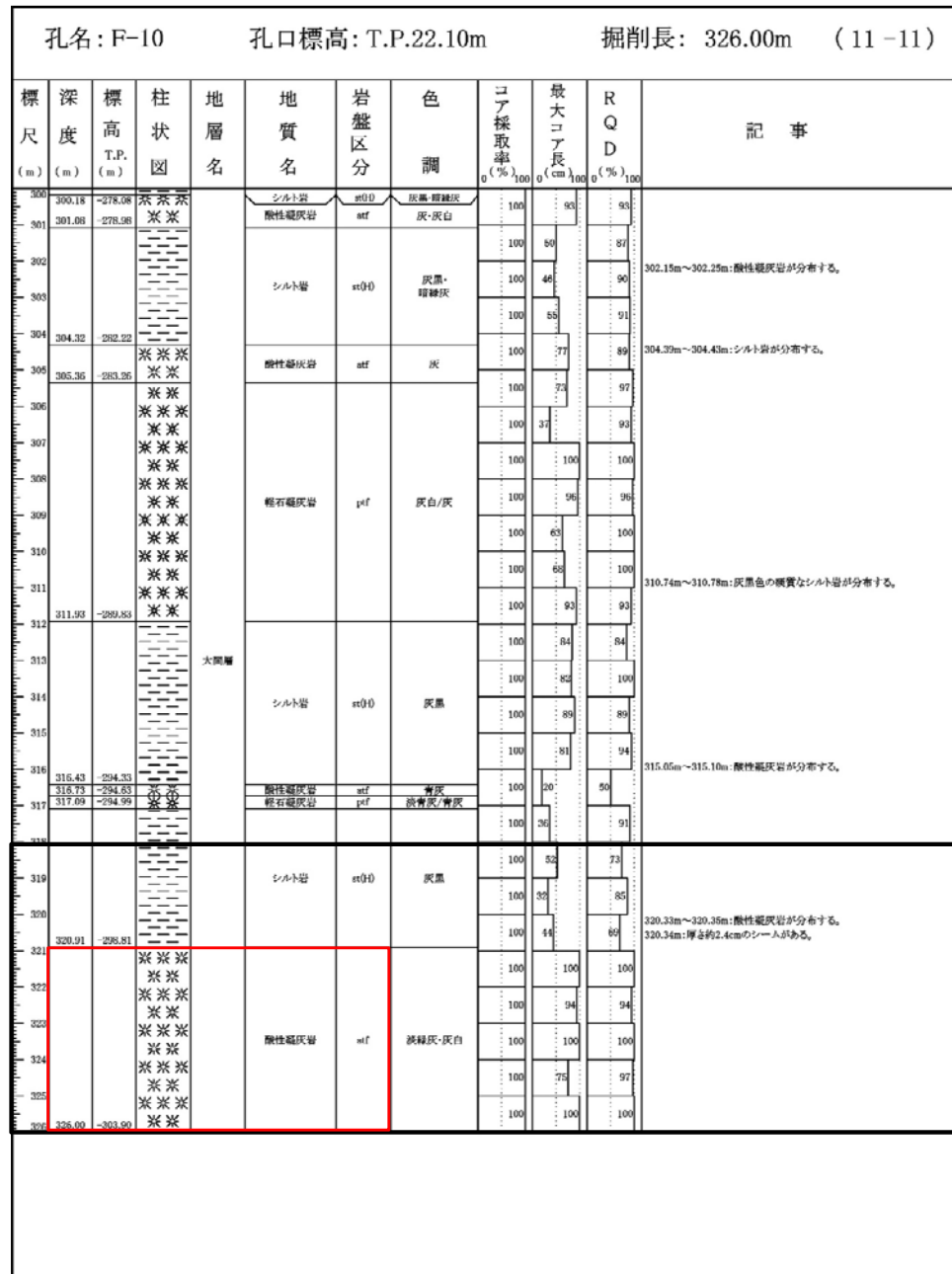
注) 本孔の全区間の地質柱状図及びコア写真は、机上配布資料参照。

1.5 大間層中の鍵層の性状(9/20)

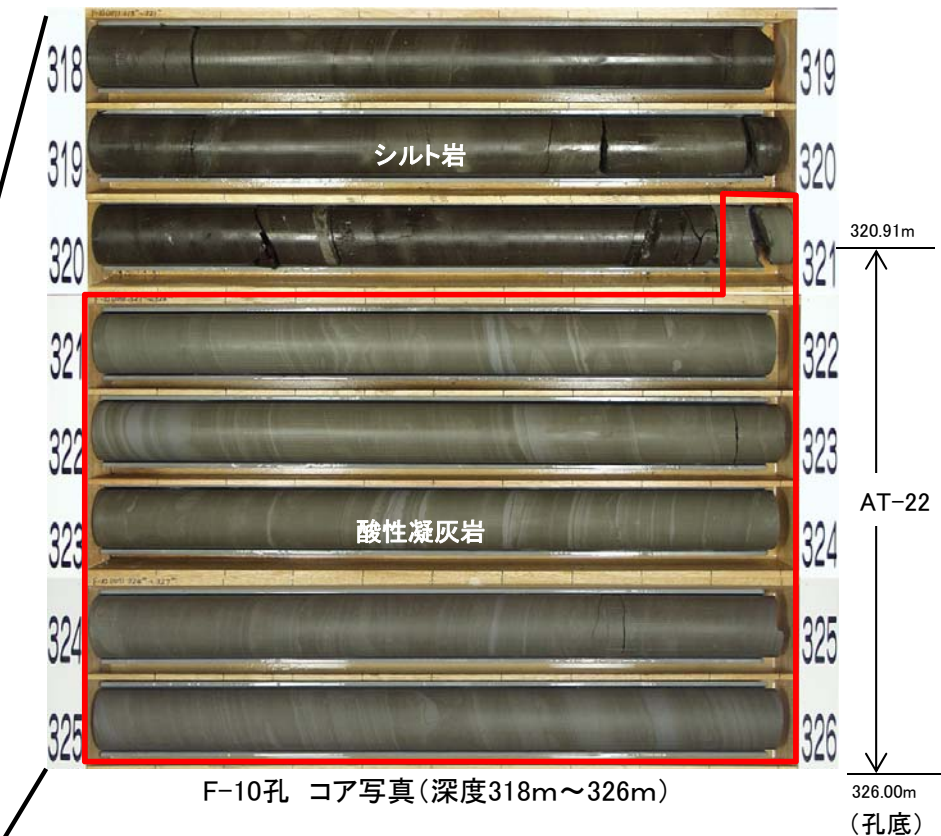
コメントNo.S1-79



鍵層AT-22(酸性凝灰岩)の地質柱状図及びコア写真(4/5):F-10孔



F-10孔 地質柱状図(深度300m~326m)



- F-10孔の深度320.91m~326.00m(孔底)に大間層中の鍵層AT-22が認められる。
- 鍵層AT-22は酸性凝灰岩とシルト岩の細互層から成り、層厚が約5mである。

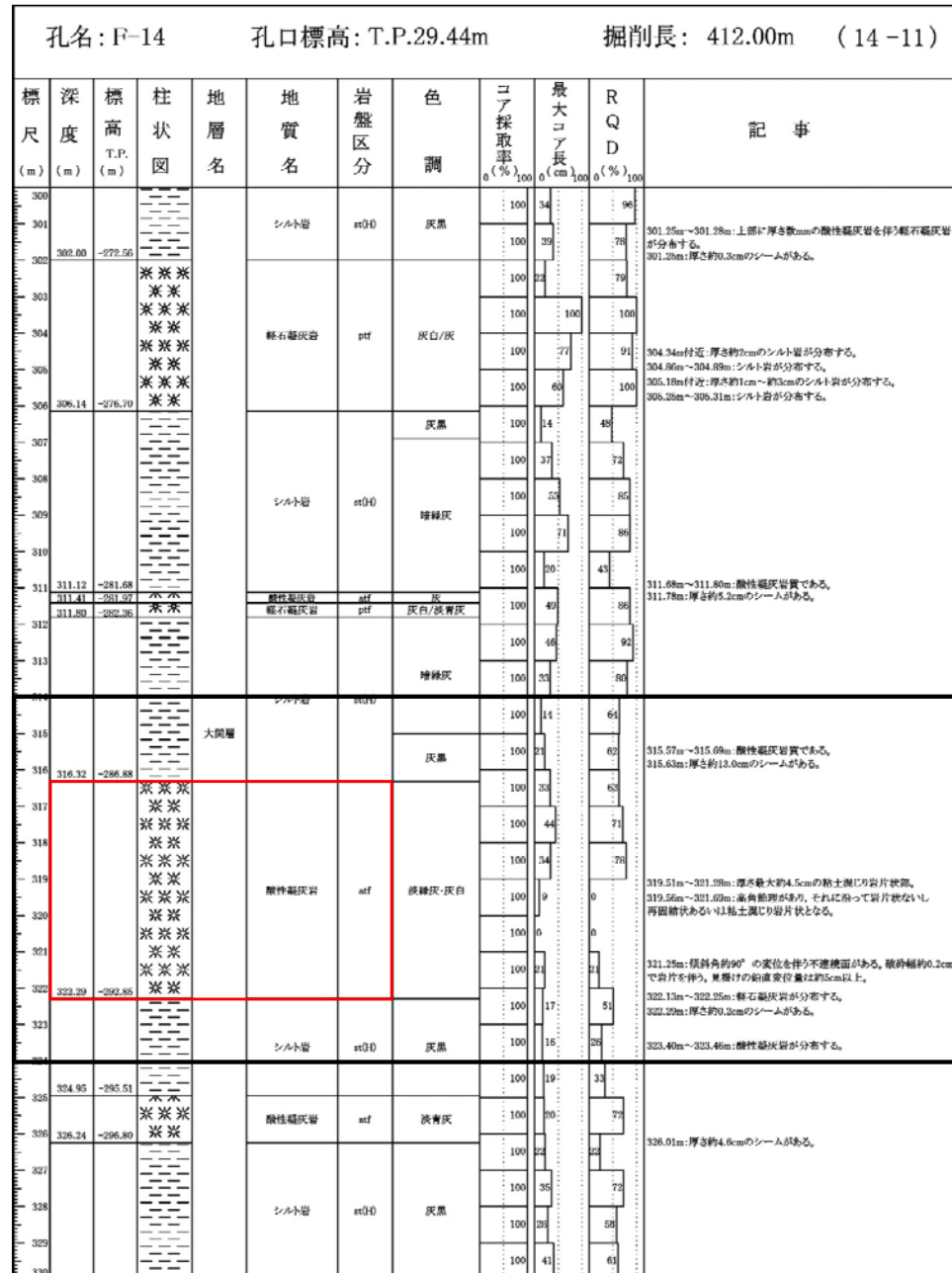
注) 本孔の全区間の地質柱状図及びコア写真は、机上配布資料参照。

1.5 大間層中の鍵層の性状(10/20)

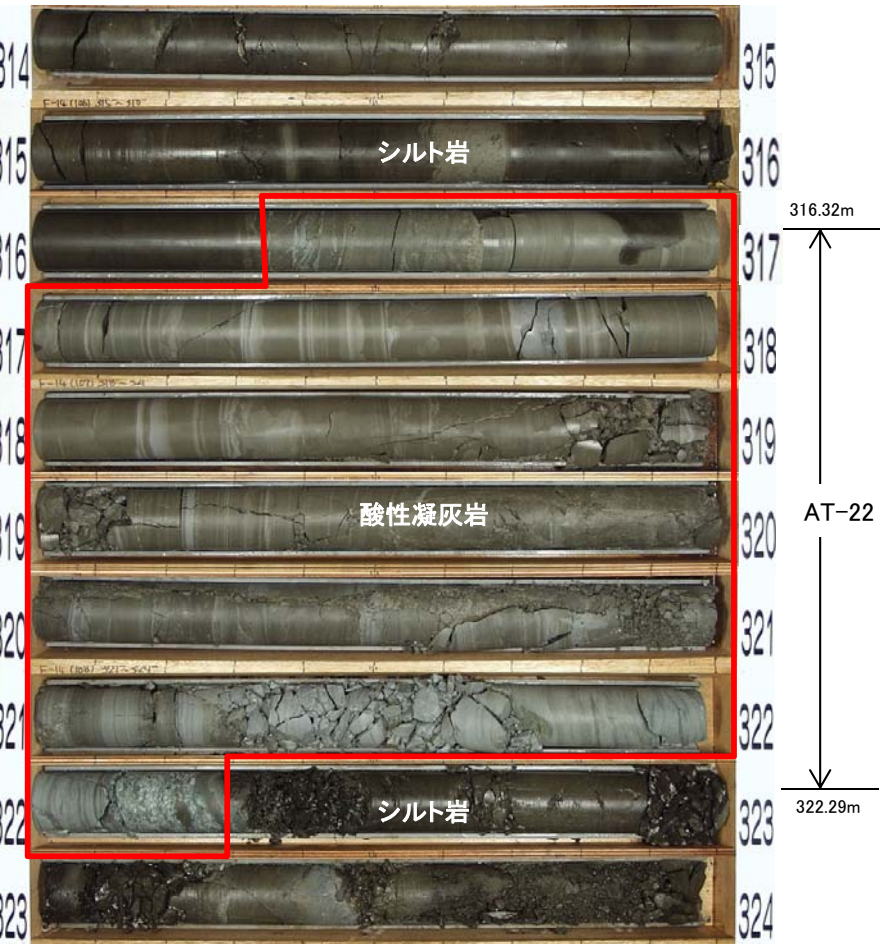
コメントNo.S1-79



鍵層AT-22(酸性凝灰岩)の地質柱状図及びコア写真(5/5) : F-14孔



F-14孔 地質柱状図(深度300m~330m)



F-14孔 コア写真(深度314m~324m)

- F-14孔の深度316.32m~322.29mに大間層中の鍵層AT-22が認められる。
- 鍵層AT-22は酸性凝灰岩とシルト岩の細互層から成り、層厚が約6mである。本孔のAT-22下部はシルト岩の挟みの少ない酸性凝灰岩から成る。

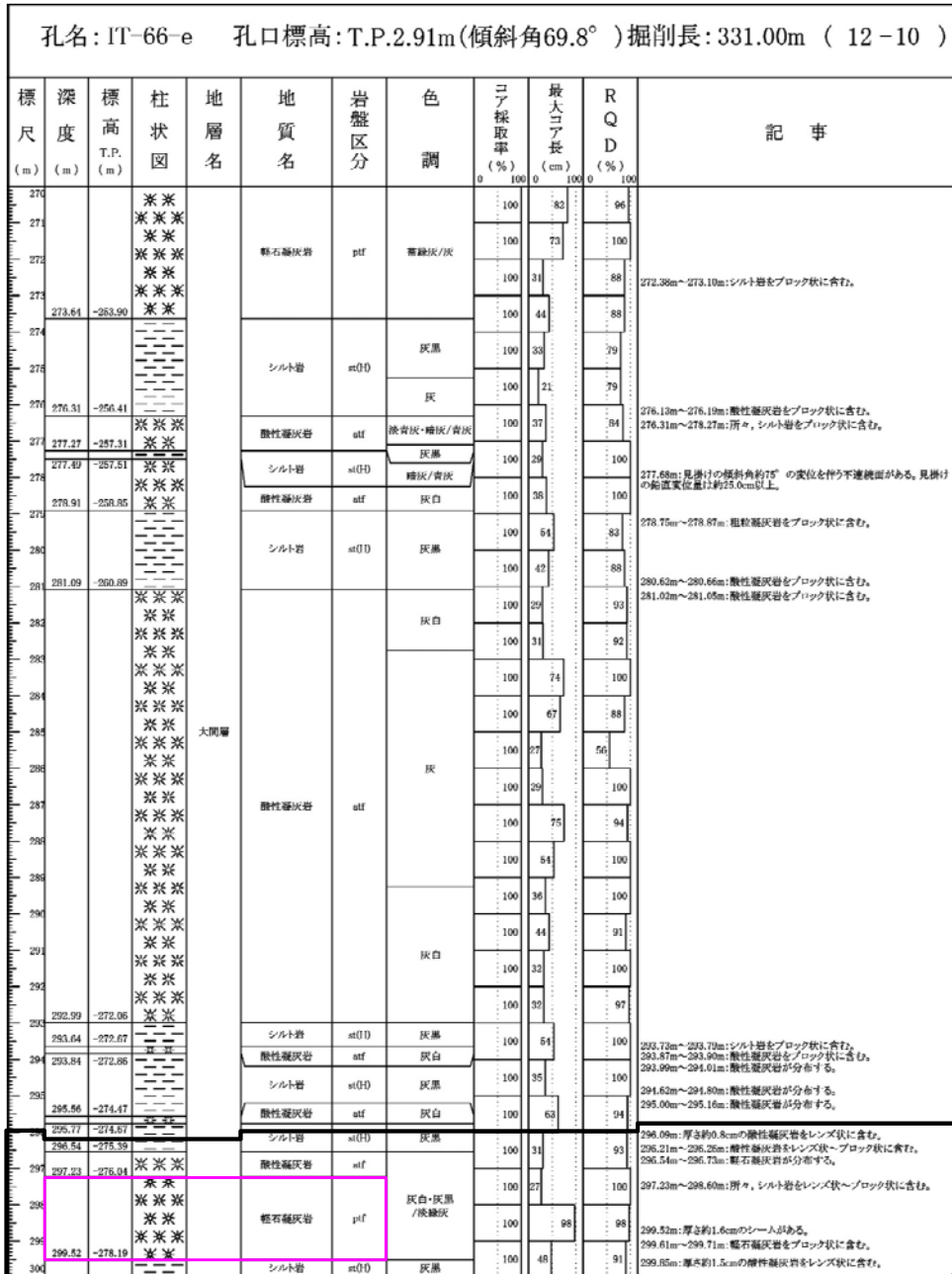
注) 本孔の全区間の地質柱状図及びコア写真は、机上配布資料参照。

1.5 大間層中の鍵層の性状(11/20)

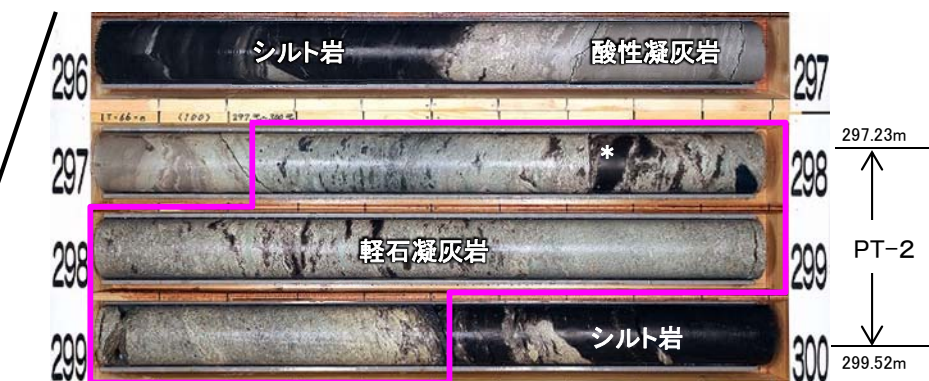
コメントNo.S1-79



PT-2(軽石凝灰岩)の地質柱状図及びコア写真(1/7):IT-66-e孔



IT-66-e孔 地質柱状図(深度270m~300m)



IT-66-e孔 コア写真(深度296m~300m)

*:シルト岩の偽礫

- IT-66-e孔の深度297.23m~299.52mに大間層中のPT-2が認められる。
- PT-2はスランピングによるシルト岩の偽礫を含む軽石凝灰岩から成り、層厚は約2mである。

注) 本孔の全区間の地質柱状図及びコア写真は、机上配布資料参照。

1.5 大間層中の鍵層の性状(12/20)

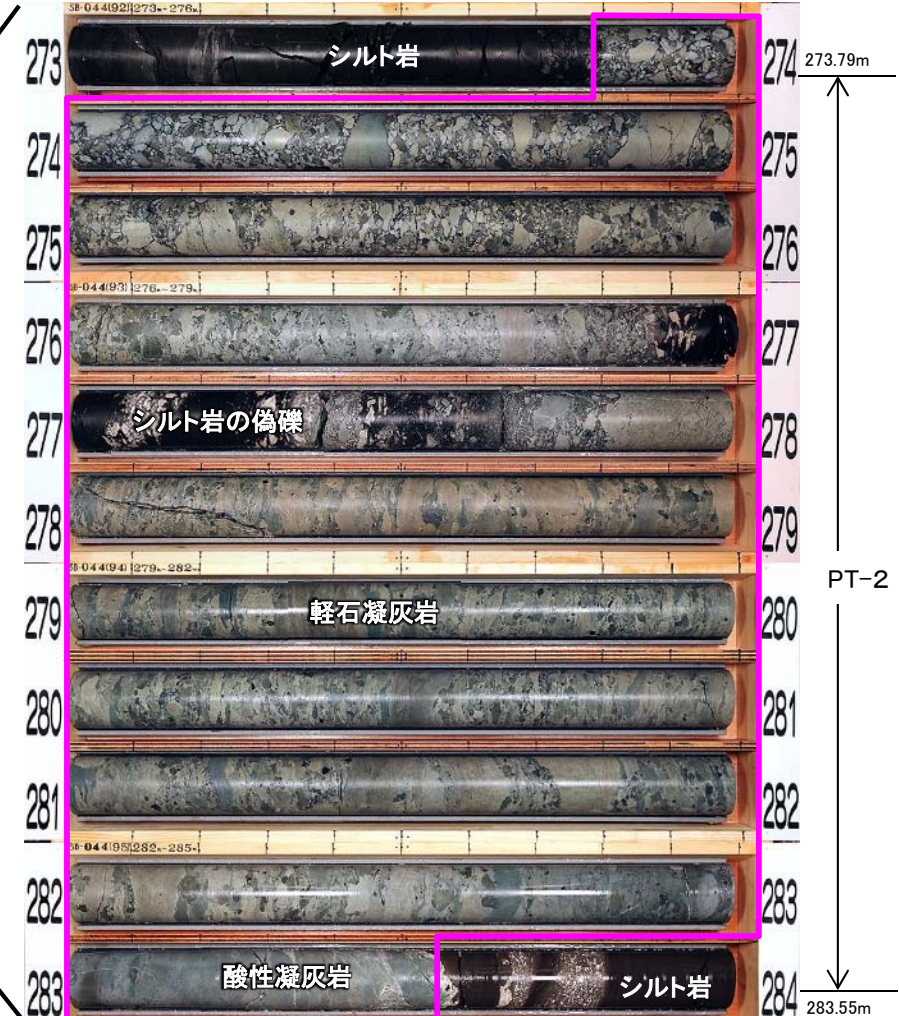
コメントNo.S1-79



PT-2(軽石凝灰岩)の地質柱状図及びコア写真(2/7) : SB-044孔

孔名: SB-044		孔口標高: T.P.8.03m		掘削長: 308.00m (11 -10)	
標 尺 (m)	深 度 (m)	標 高 T.P. (m)	柱 状 図	地 層 名	地 質 名
				岩盤区分	色 調
270					
271	271.12	263.09		シルト岩	at(H)
271.89	-263.86		※※※	酸性凝灰岩	at(f)
272	272.27	-264.94		シルト岩	at(H)
272.58	-264.55		※※※	酸性凝灰岩	at(f)
	273.79	-265.76		シルト岩	at(H)
274			※※※	軽石凝灰岩	pt(f)
275			※※※		
276			※※※		
276.90	-268.87		276.90m~-268.87m: 軽石凝灰岩をブロック状に含む。	シルト岩	at(H)
277	277.33	-269.30		シルト岩	at(H)
278			※※	軽石凝灰岩	pt(f)
279			※※		
280			※※		
281			※※		
282			※※		
283.00	-274.97		283.00m~-274.97m: 酸性凝灰岩	酸性凝灰岩	at(f)
283.55	-275.32			淡青灰	
	284				
285				大間層	
286				シルト岩	at(H)
287	287.62	-279.59		シルト岩	at(H)
288.33	-280.30		※※	酸性凝灰岩	at(f)
289				淡青灰	
290					
291					
292.18	-284.15				
	293				
294					
295					
296					
297	297.37	-289.34			
298					
299					
300					

SB-044孔 地質柱状図(深度270m~300m)



SB-044孔 コア写真(深度273m~284m)

- SB-044孔の深度273.79m~283.55mに大間層中のPT-2が認められる。
- PT-2は主に軽石凝灰岩から成り、一部にスランピングによるシルト岩の偽礫を含み、最下部に酸性凝灰岩が分布する。層厚は約10mである。

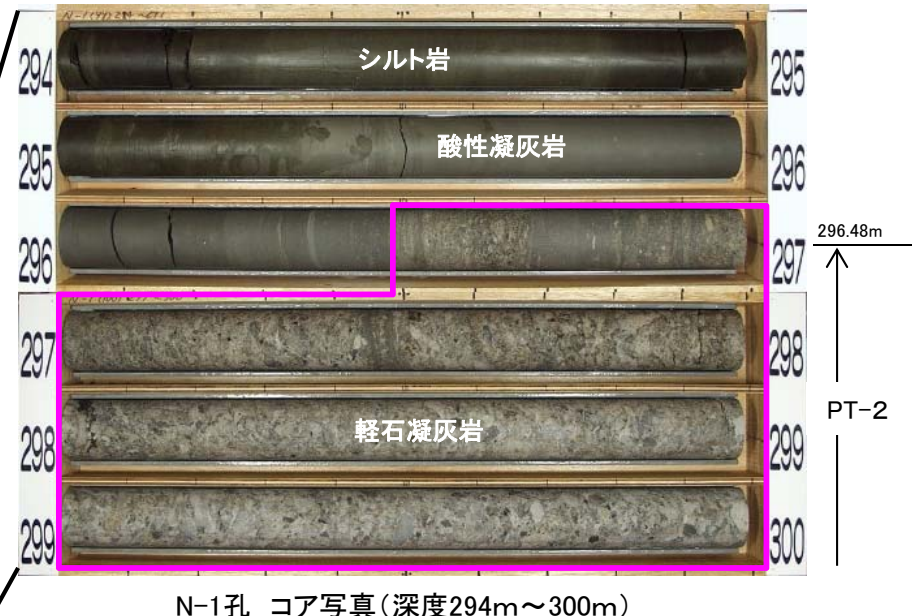
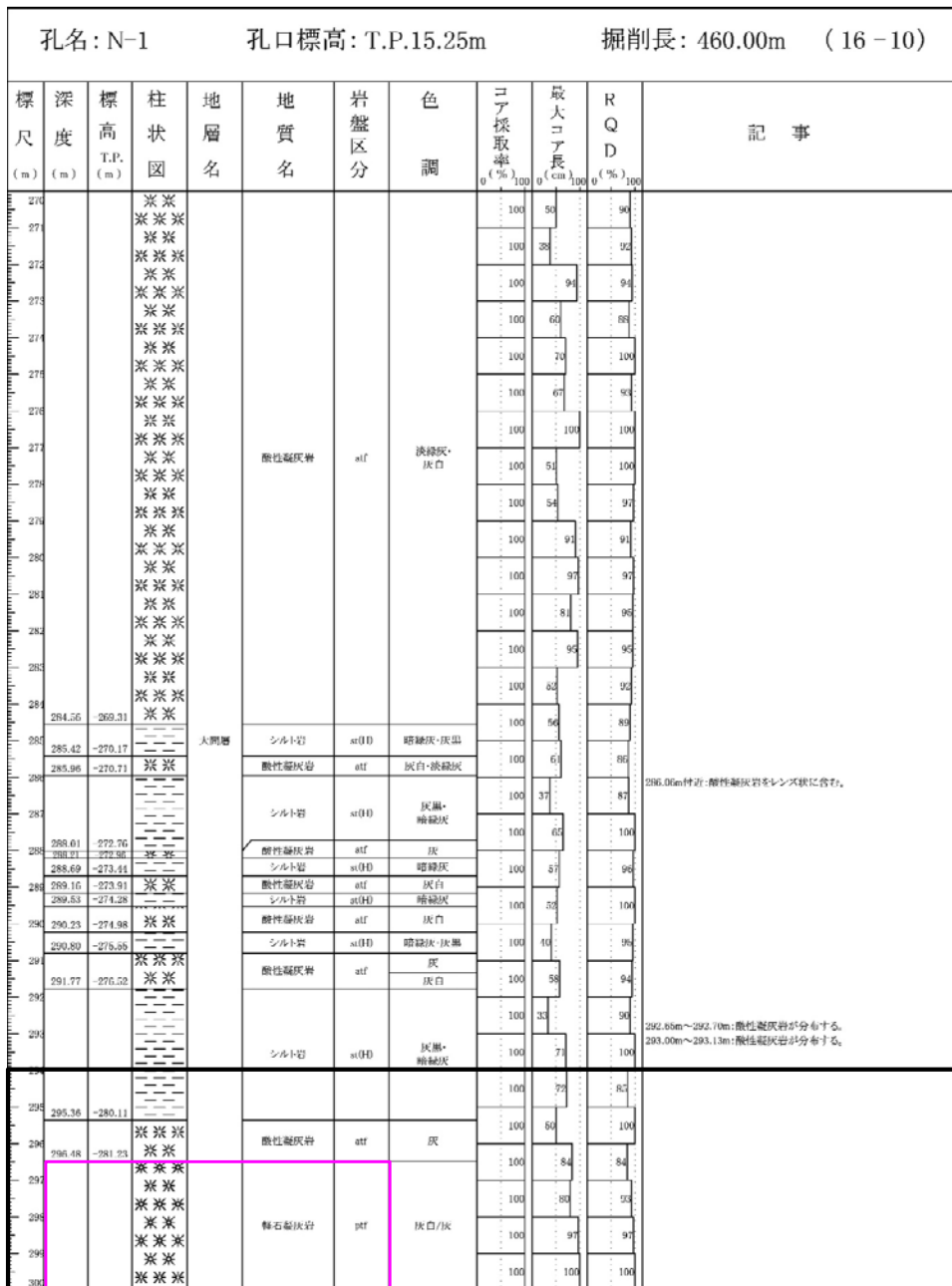
注) 本孔の全区間の地質柱状図及びコア写真は、机上配布資料参照。

1.5 大間層中の鍵層の性状(13/20)

コメントNo.S1-79



PT-2(軽石凝灰岩)の地質柱状図及びコア写真(3/7):N-1孔(1/2)



- N-1孔の深度296.48m～303.45mに大間層中のPT-2が認められる。
- PT-2は主に軽石凝灰岩から成り、層厚は約7mである。

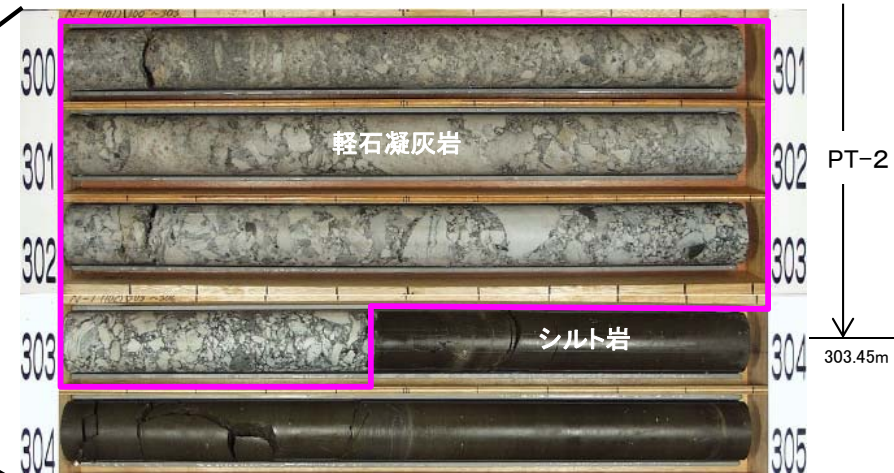
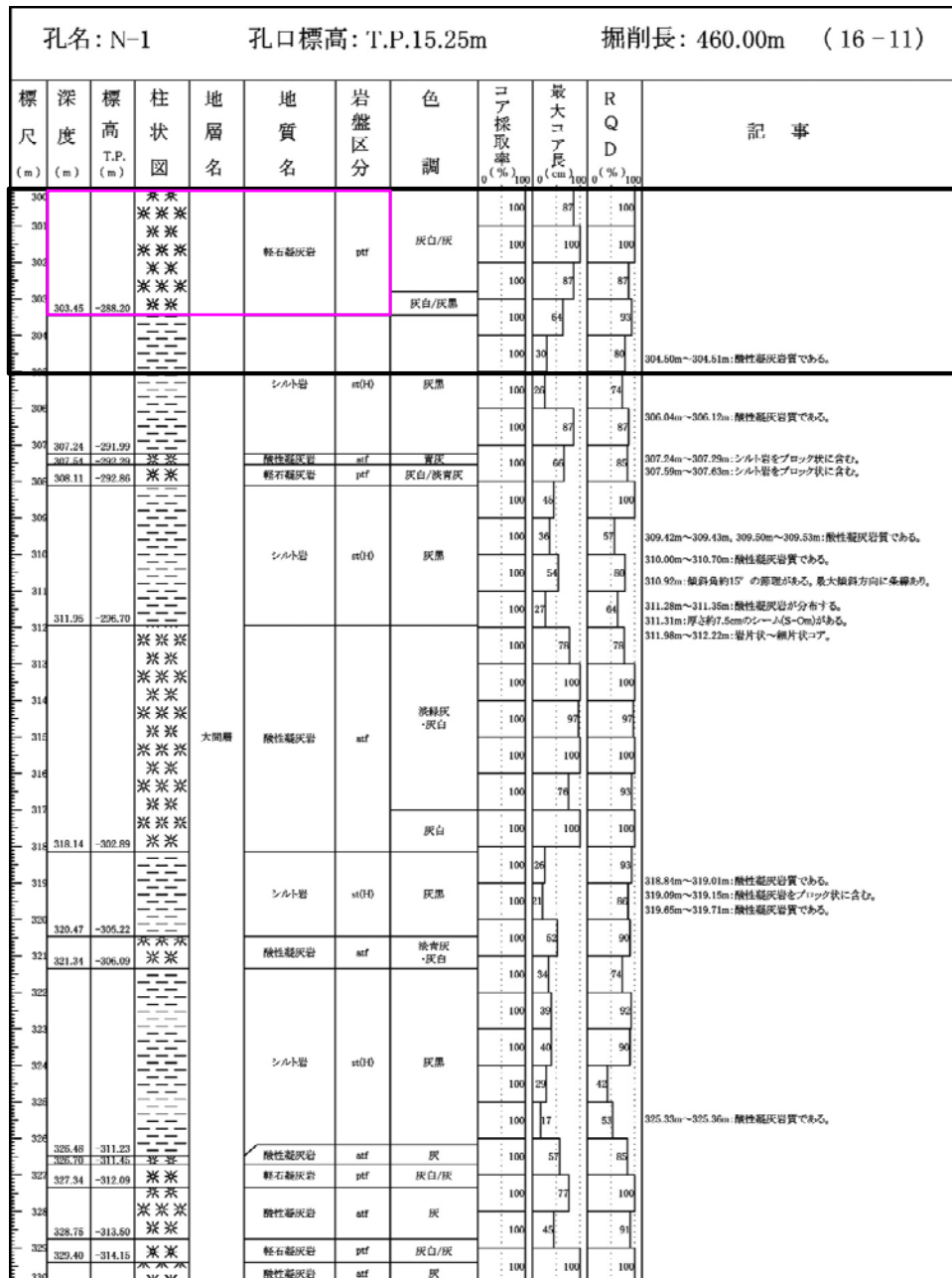
注) 本孔の全区間の地質柱状図及びコア写真は、机上配布資料参照。

1.5 大間層中の鍵層の性状(14/20)

コメントNo.S1-79



PT-2(軽石凝灰岩)の地質柱状図及びコア写真(4/7): N-1孔(2/2)



- N-1孔の深度296.48m~303.45mに大間層中のPT-2が認められる。
- PT-2は主に軽石凝灰岩から成り、層厚は約7mである。

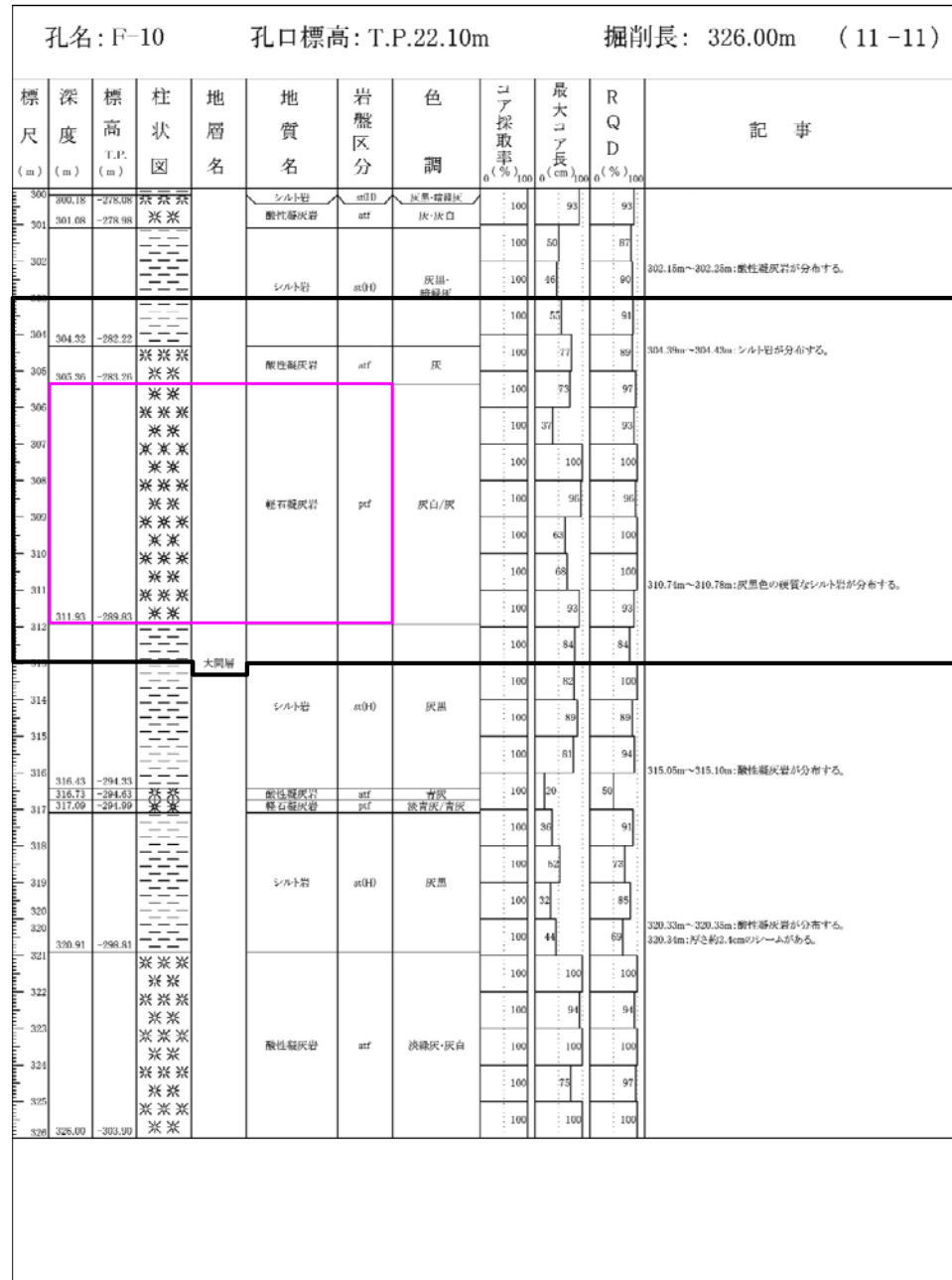
注) 本孔の全区間の地質柱状図及びコア写真は、机上配布資料参照。

1.5 大間層中の鍵層の性状(15/20)

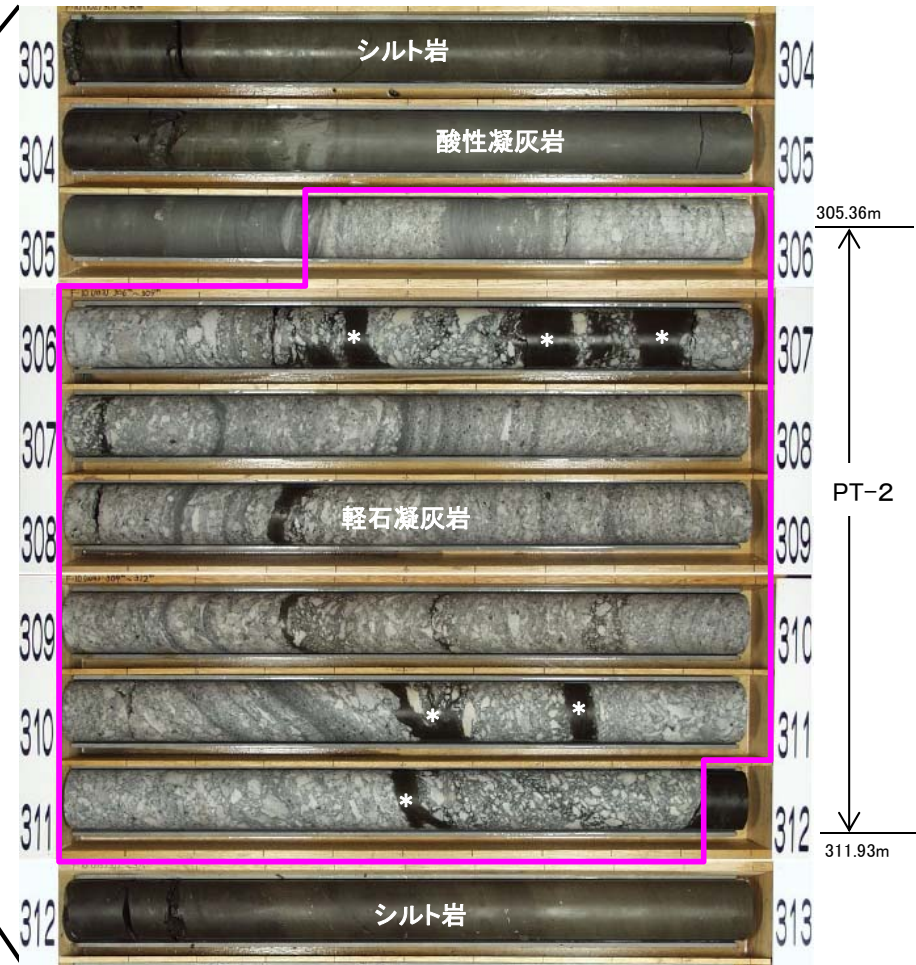
コメントNo.S1-79



PT-2(軽石凝灰岩)の地質柱状図及びコア写真(5/7):F-10孔



F-10孔 地質柱状図(深度300m~326m)



F-10孔 コア写真(深度303m~313m) *:シルト岩の偽礫

- F-10孔の深度305.36m~311.93mに大間層中のPT-2が認められる。
- PT-2は軽石凝灰岩から成り、一部にスランピングによるシルト岩の偽礫を含む。層厚は約7mである。

注) 本孔の全区間の地質柱状図及びコア写真は、机上配布資料参照。

1.5 大間層中の鍵層の性状(16/20)

コメントNo.S1-79



PT-2(軽石凝灰岩)の地質柱状図及びコア写真(6/7):F-14孔(1/2)

孔名:F-14		孔口標高:T.P.29.44m		掘削長: 412.00m (14-10)							
標尺 (m)	深度 (m)	標高 T.P. (m)	柱状図	地層名	地質名	岩盤区分	色調	コア採取率 0~100 (%)	最大コア長 0~100 cm	RQD 0~100 (%)	記事
270			※※※								
271	271.08	-241.64	※※								
272											
273											
274	274.42	-244.98	※※								
275			※※※								
276			※※								
277			※※※								
278			※※※								
279			※※※								
280			※※※								
281			※※※								
282			※※※								
283			※※※								
284			※※※								
285			※※※								
286			※※※								
287			※※※								
288	288.86	-250.42	※※								
289	289.69	-260.25									
290	290.10	-260.66	※※								
291											
292	292.50	-261.06									
292.01	292.01	-261.26									
292.93	292.93	-261.41									
293.15	293.15	-261.56									
293.69	293.69	264.25									
294	293.89	-264.45									
295											
296											
297	297.70	-288.28									
298	298.99	-269.85	※※								
299	299.74	270.30	※※								
300											

F-14孔 地質柱状図(深度270m~300m)



F-14孔 コア写真(深度295m~300m)

- F-14孔の深度298.99m~306.14mに大間層中のPT-2が認められる。
- PT-2は軽石凝灰岩から成り、一部にスランピングによるシルト岩の偽礫を含む。層厚は約7mである。

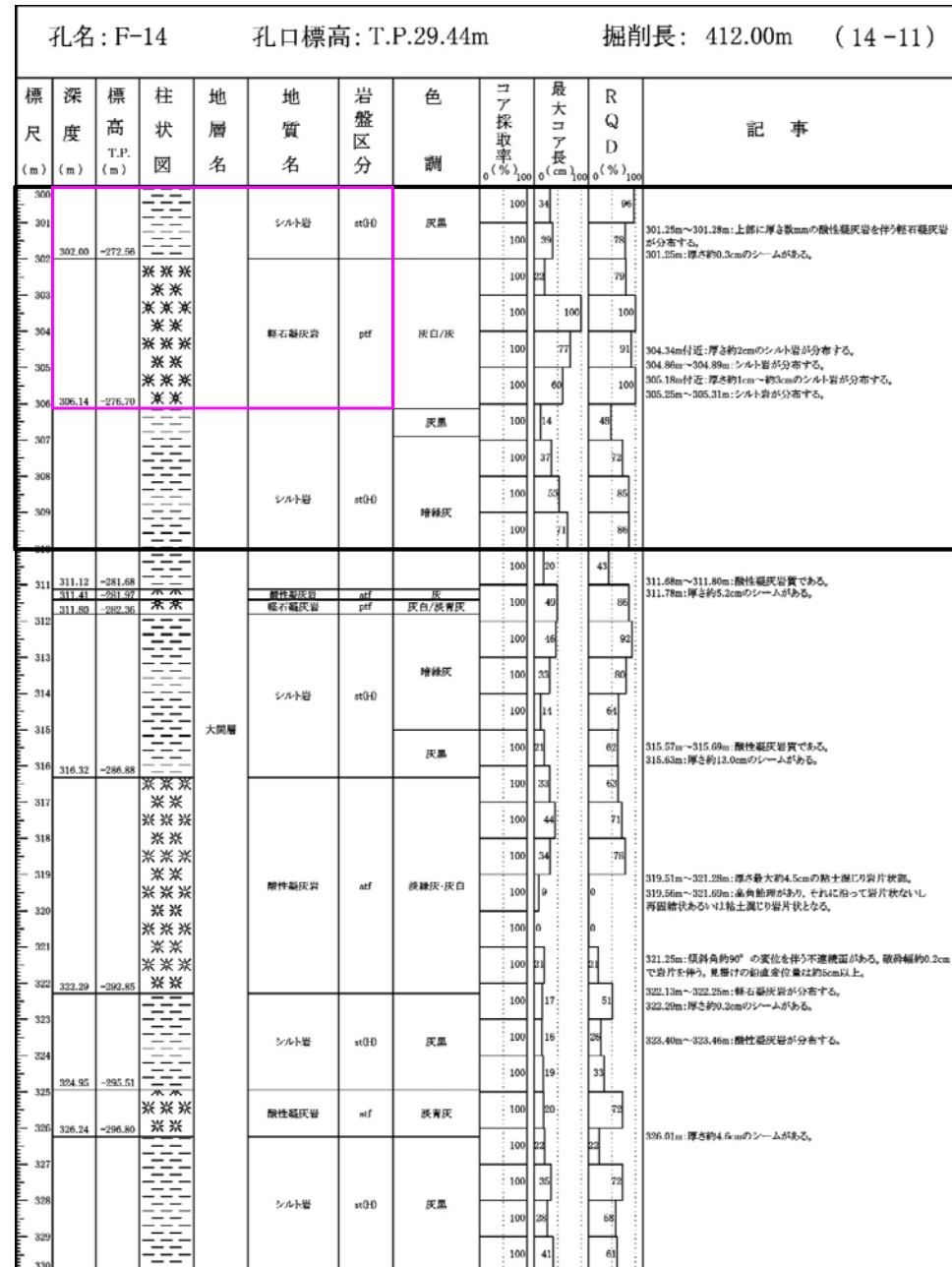
注) 本孔の全区間の地質柱状図及びコア写真は、机上配布資料参照。

1.5 大間層中の鍵層の性状(17/20)

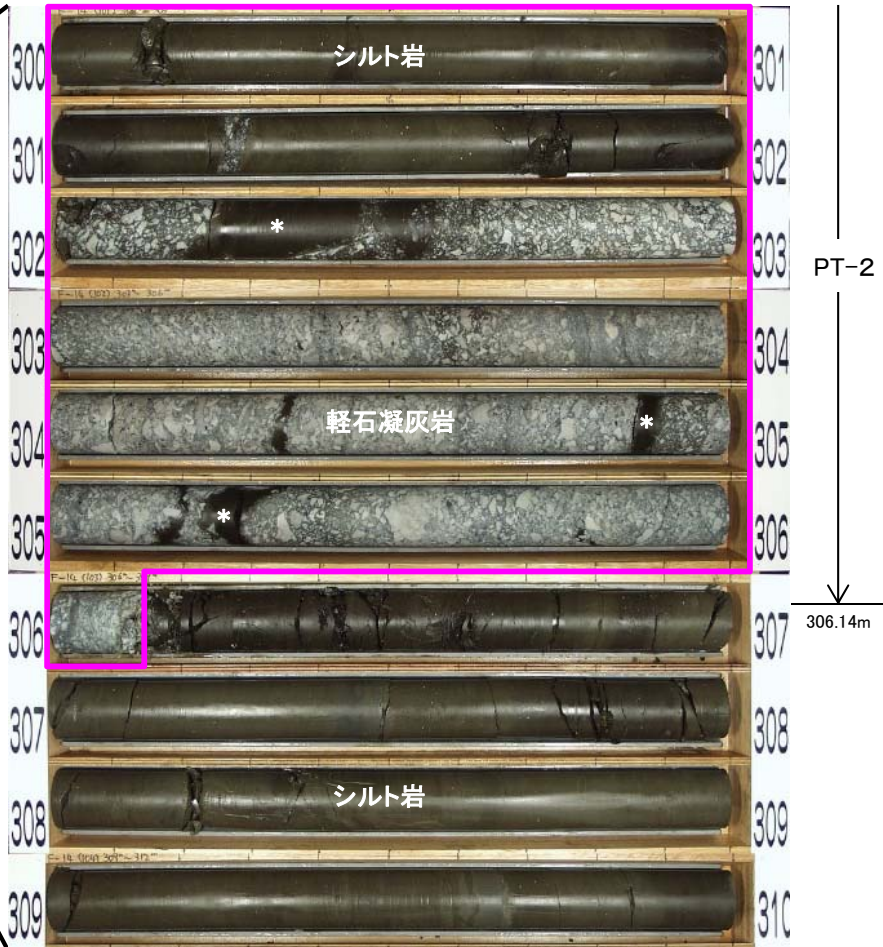
コメントNo.S1-79



PT-2(軽石凝灰岩)の地質柱状図及びコア写真(7/7) : F-14孔(2/2)



F-14孔 地質柱状図(深度300m~330m)



F-14孔 コア写真(深度300m~310m)

*:シルト岩の偽礫

- F-14孔の深度298.99m~306.14mに大間層中のPT-2が認められる。
- PT-2は軽石凝灰岩から成り、一部にスランピングによるシルト岩の偽礫を含む。層厚は約7mである。

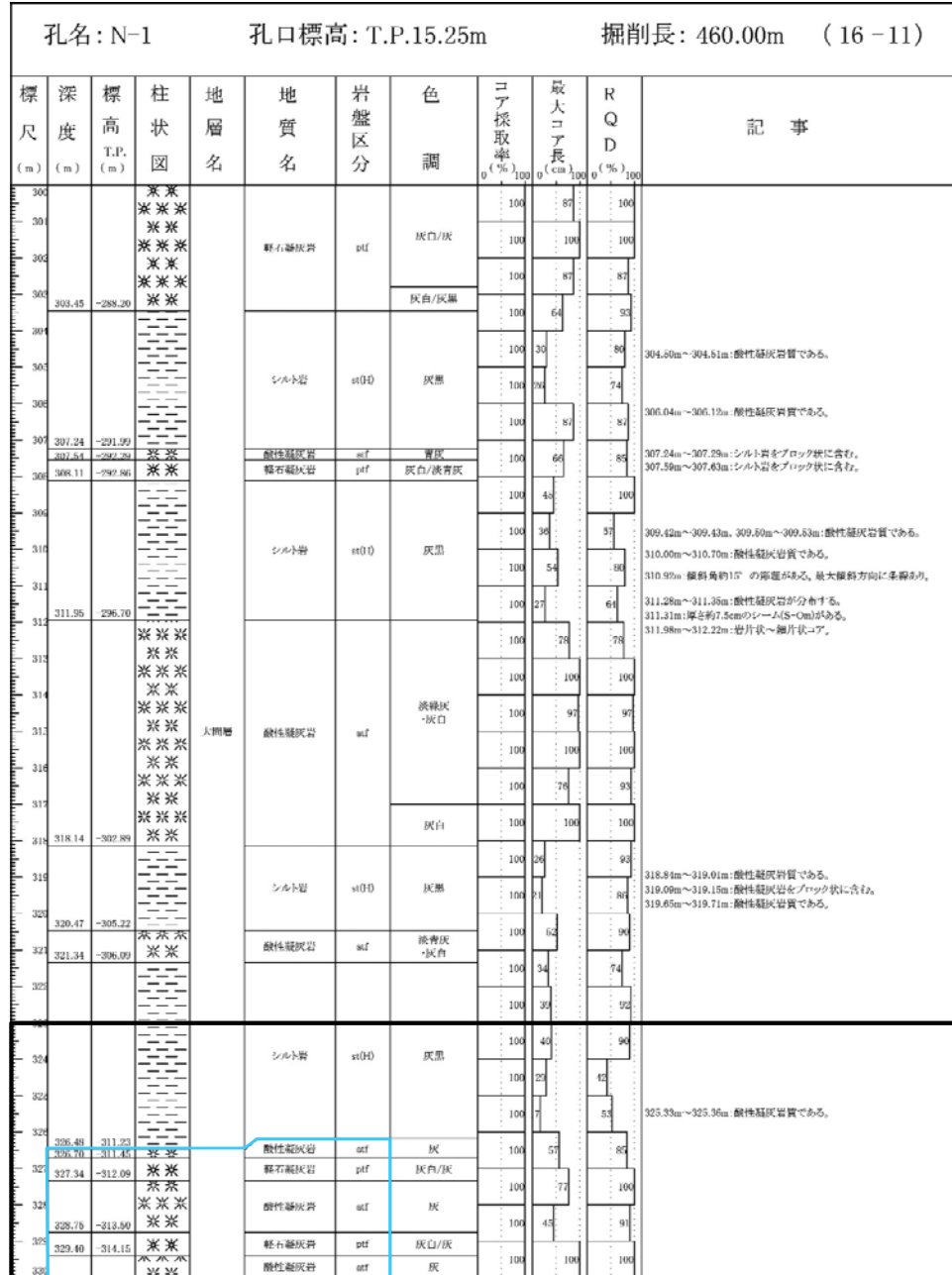
注) 本孔の全区間の地質柱状図及びコア写真は、机上配布資料参照。

1.5 大間層中の鍵層の性状(18/20)

コメントNo.S1-79



PT-3(軽石凝灰岩等)の地質柱状図及びコア写真(1/3): N-1孔(1/2)



N-1孔 コア写真(深度323m~330m)

- N-1孔の深度326.48m~346.76mに大間層中のPT-3が認められる。
- PT-3は主に軽石凝灰岩及び酸性凝灰岩から成る。下部に数枚のシルト岩層を挟在し、一部にスランピングによるシルト岩の偽礫を含む。層厚は約20mである。

注) 本孔の全区間の地質柱状図及びコア写真は、机上配布資料参照。

1.5 大間層中の鍵層の性状(19/20)

コメントNo.S1-79



PT-3(軽石凝灰岩等)の地質柱状図及びコア写真(2/3): N-1孔(2/2)

孔名: N-1		孔口標高: T.P.15.25m		掘削長: 460.00m (16 - 12)							
標尺 (m)	深度 (m)	標高 T.P. (m)	柱状図	地層名	地質名	岩盤区分	色調	コア採取率 0(%) ₁₀₀	最大コア長 0(cm) ₁₀₀	R Q D	記事
330											
331	331.19	-316.94	※※※ ※※								
332											
333											
334											
335	335.21	-319.96									
336	336.12	-320.87	※※※ ※※								
337											
338	338.06	-322.81									
339	339.23	-321.68	※※※ ※※								
340											
341	341.13	-325.58	※※ ※※								
342	342.14	-326.89									
343	342.86	-327.61	※※								
344											
345	344.83	-329.58	※※ ※※								
346											
347	346.76	-331.51									
348											
349	349.68	-334.33									
350	349.81	-334.56	※※ ※※								
351	351.83	-336.58	※※ ※※								
352	352.28	-337.03									
353											
354											
355											
356											
357	357.48	-342.23	※※ ※※								
358	357.78	-342.54	※※								
359	358.22	-342.97	※※								
360											

N-1孔 地質柱状図(深度330m~360m)

注) 本孔の全区間の地質柱状図及びコア写真は、机上配布資料参照。

- N-1孔の深度326.48m~346.76mに大間層中のPT-3が認められる。
- PT-3は主に軽石凝灰岩及び酸性凝灰岩から成る。下部に数枚のシルト岩層を挟在し、一部にスランピングによるシルト岩の偽礫を含む。層厚は約20mである。



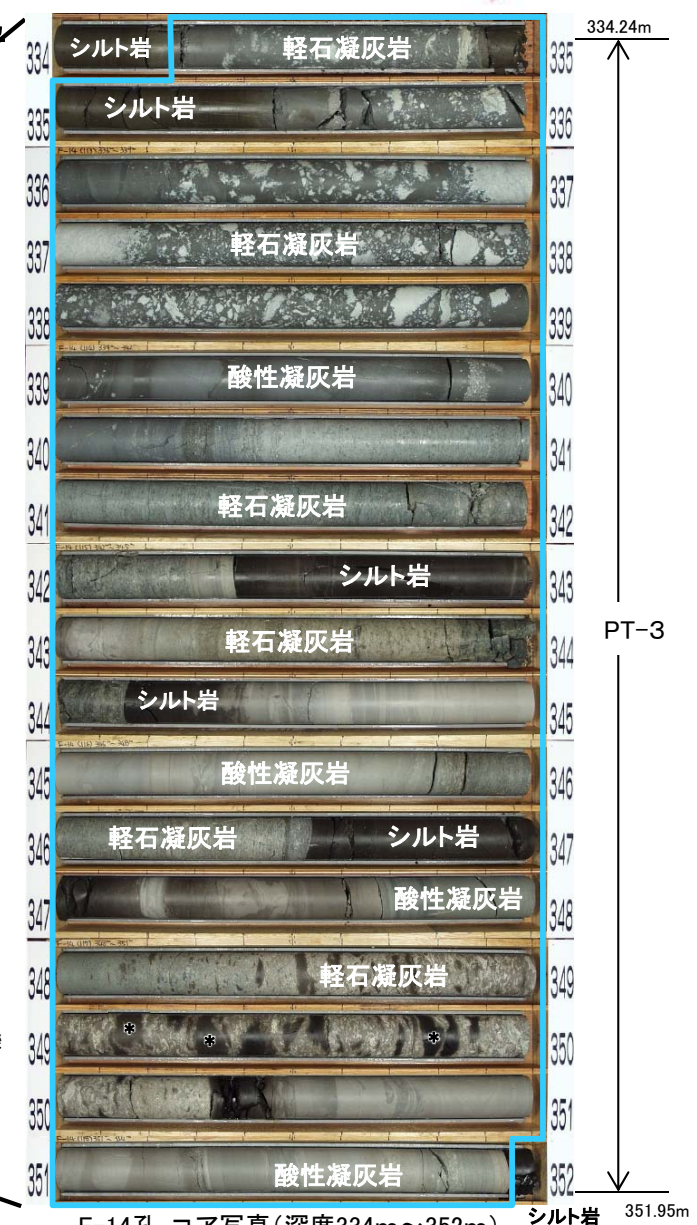
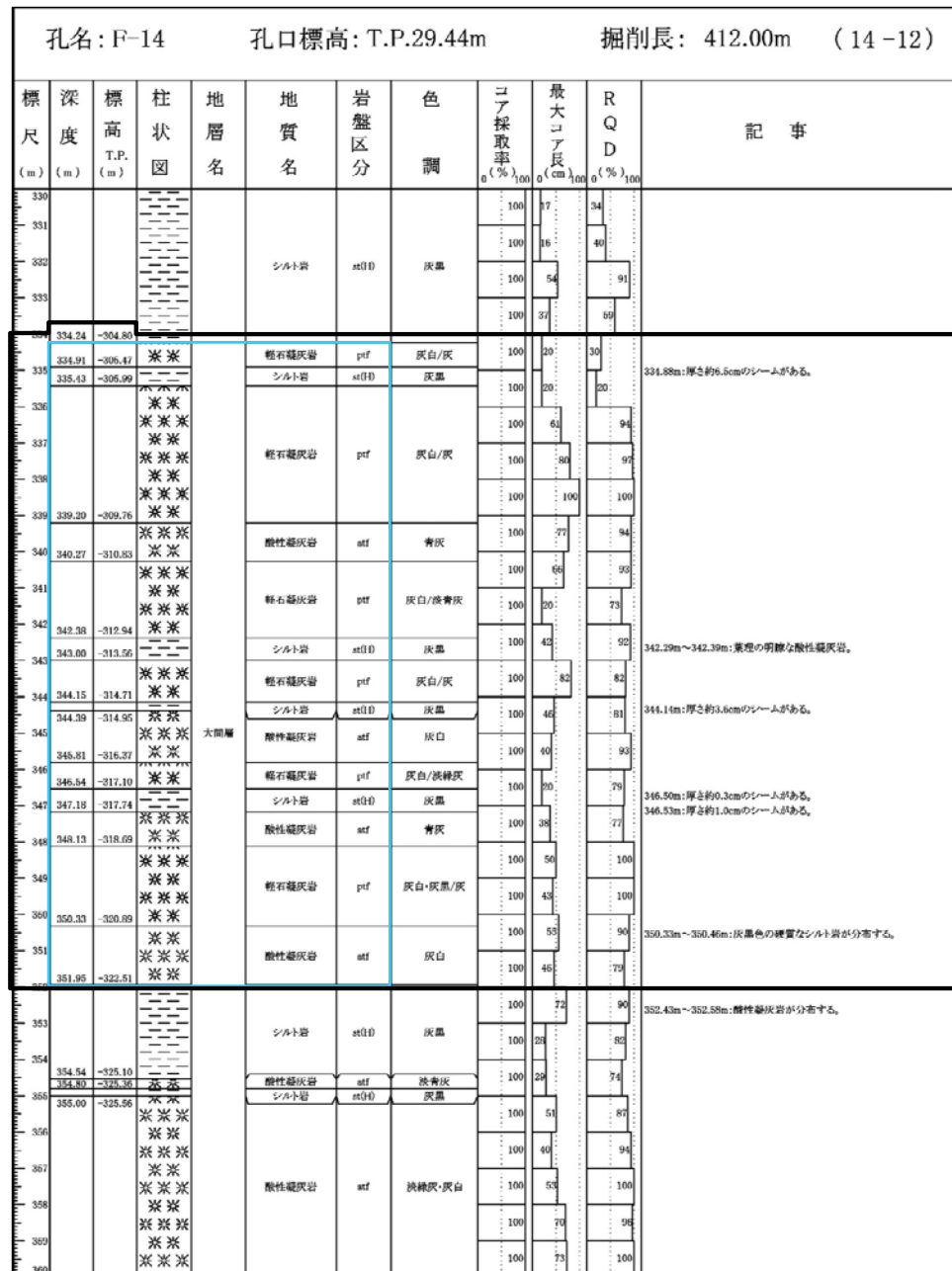
PT-3

1.5 大間層中の鍵層の性状(20/20)

コメントNo.S1-79



PT-3(軽石凝灰岩等)の地質柱状図及びコア写真(3/3) : F-14孔



- F-14孔の深度334.24m~351.95mに大間層中のPT-3が認められる。
- PT-3は主に軽石凝灰岩から成り、酸性凝灰岩及び数枚のシルト岩層を挟在する。一部にスランピングによるシルト岩の偽礫を含む。層厚は約18mである。